

## ECOLE NATIONALE POLYTECHNIQUE

DEPARTEMENT GENIE - CIVIL

الطبعة الوطنية المتعددة اللغويات  
BIBLIOTHEQUE — المكتبة  
Ecole Nationale Polytechnique

# PROJET DE FIN D'ETUDES

### SUJET

PONT A POUTRES  
EN BETON  
PRECONTRAIN T

Proposé par : E.N.G.O.A    Etudié par : A.A. Arbaoui  
K.Sennoun    Dirigé par : M<sup>r</sup> ZOUKH

PROMOTION : JANVIER 86

المدرسة الوطنية المتعددة التقنيات  
المكتبة — BIBLIOTHEQUE  
Ecole Nationale Polytechnique

ETUDE D'UN  
PONT  
EN BETON  
PRECONTRAINTE

## REMERCIEMENTS

Nous attendions depuis longtemps et avec impatience cette occasion solennelle d'exprimer avec une pensée émue, notre profonde gratitude envers tous ceux qui nous ont guidés jusqu'ici.

Recevez, M<sup>r</sup> ZOUKH, l'expression de notre vive reconnaissance pour nous avoir guidé et conseillé tout au long de ce présent travail et pour votre permanente disponibilité.

M<sup>rs</sup> KETFI, KAHLARAS, KHALDI ainsi que vous tous les responsables de L'ENG.D.A. Veuillez recevoir nos sincères remerciements, vous qui avez facilité notre intégration dans le bureau d'études et réalisations en nous offrant un cadre de travail agréable.

Nous ne pouvons pas omettre de remercier également :  
M<sup>lles</sup> SABINA, MALIKA, HOURIA ainsi que M<sup>r</sup> RACHID BERTHOUN pour leur disponibilité.

## DEDICACES

A mon père

A ma mère

A mes soeurs et frères particulièrement à mon petit frère SID-ALI symbole de mon endurance.

SENNOUN KHALED.

A mes amis

ARBAOUI AHCENE.



# Sommaire

## A/ Introduction

- I/ Présentation de l'ouvrage
- II/ Caractéristiques des matériaux

## B/ Etude du tablier

- I/ Caractéristiques géométriques des sections
- II/ Effort dans les poutres
- III/ Distribution des efforts dans les poutres
- IV/ Etude du platelage
- V/ Etude de la précontrainte des poutres
- VI/ Pertes et chutes de tension
- VII/ Vérification des contraintes
- VIII/ Vérification à la rupture
- IX/ Vérification d'about
- X/ Etude de l'entzetoise d'about

## C/ Etude de l'infrastructure

- I/ Dimensionnement des appareils d'appui
- II/ Répartition des efforts horizontaux
- III/ Vérification des appareils d'appui
- IV/ Etude de la culée
- V/ Fondation

# PRESENTATION

## Caractéristiques et utilité du pont :

L'ouvrage d'art, objet de notre projet de fin d'étude, est un pont droit à poutres multiples en béton précontraint. Il sera construit dans la wilaya de MASCARA, région de BOUBARNAS, ce pont traversera un oued et sa particularité c'est d'être trop haut et trop long, ce qui demande une concentration de moyens de réalisation. La largeur totale du tablier est de 10,60. La longueur du pont d'axe en axe de culées est de 126,5 m.

## Structure du pont :

L'étude de l'avant-projet a donné les caractéristiques suivantes :

### Le tablier :

Le tablier est constitué par :

Le platelage : formé par un hourdis de 20 cm recouvert d'une chape d'étanchéité de 2 cm et d'un revêtement d'asphalte enrobé de 8 cm d'épaisseur.

Le hourdis présente un ripage transversal de 2%.

La poutraison : Supporte le platelage et est composée de 5 poutres principales en béton précontraint. Les poutres sont solidarisées entre elles par une entretoise d'about à chaque extrémité. Les entretoises, de même que le hourdis sont coulés sur place. Pour ce, des barres d'armure sont prévues sur la table et sur les flancs des poutres préfabriquées. L'entraxe des poutres est de 2<sup>m</sup>.19.

### Les appuis :

Ainsi sont désignées les piles et les culées dont suit une description.

La culée : élément essentiel dont le mur frontal et les murs en retour sont des voiles en béton armé sur une semelle de fondation rectangulaire. Cette dernière est fondée sur 2 files de 4 pieux.

les piles : Appuis intermédiaires entre les deux culées, comportant un chevet en béton armé supporté par 3 fûts rectangulaires sur une semelle rectangulaire étant 2 files de 3 pieux.

Les appareils d'appui : plaques en élastomère frettées du type GUMBA, fixées sur des dés en béton armé (bossages prismatiques).

### Les fondations :

Les services du laboratoire de mécanique des sols (L.T.p.o) ont suggéré des fondations profondes du type "pieux forés" de 1.20 m de diamètre et de portance évaluée à 300 tonnes.

# CARACTERISTIQUES DES MATERIAUX

1.1 Béton: le Béton utilisé dans la construction de l'ouvrage sera conforme aux règles CCBA 68.

- Ciment CPA 325
- Dosage du Béton  $400 \text{ kg/m}^3$
- Contrôle strict
- Diamètre des plus gros granulats  $c_g = 25 \text{ mm}$

Contraintes admissible de compression:

D'après l'article 94 du CCBA 68

$$\sigma'_b = \alpha \beta \gamma \delta \varepsilon \sigma'_{28} \quad \text{avec } \sigma'_{28} = 300 \text{ bars}$$

- $\alpha$  = coefficient qui dépend de la classe du ciment ( $\alpha = 1$  ciment de classe 250/325)
- $\beta$  = coefficient qui tient compte de la nature du contrôle ( $\beta = 1$  contrôle strict)
- $\gamma$  = coefficient dépendant de l'épaisseur relative des éléments et des dimensions des granulats ( $\gamma = 1, \frac{h_m}{c_g} > 1$ ;  $h_m$  épaisseur de la pièce)
- $\delta$  = dépend du type de sollicitations

$$\delta = \begin{cases} 0,3 & \text{en compression simple} \\ 0,6 & \text{en flexion simple} \end{cases}$$

$\varepsilon$  = dépend de la forme de la section et de la nature de la sollicitation

$$\varepsilon = \begin{cases} 1 & \text{en flexion simple pour les sections rectangulaires.} \\ 1 & \text{en compression simple.} \end{cases}$$

pour les autres cas:  $0,5 \leq \varepsilon \leq 1$

Nous avons donc:

- En compression simple:  $\bar{\sigma}'_b = 1 \times 1 \times 1 \times 0,3 \times 1 \times 300 = 90 \text{ bars}$
- En flexion simple:  $\bar{\sigma}'_b = 1 \times 1 \times 1 \times 0,6 \times 1 \times 300 = 180 \text{ bars}$

Contrainte de référence en traction

$$\bar{\sigma}'_b = \alpha \cdot \beta \cdot \gamma \cdot \vartheta \cdot \sigma'_{28} \quad \text{avec } \vartheta = 0,018 + \frac{2,1}{\sigma'_{28}} = 0,0255$$

$$\bar{\sigma}'_b = 7,5 \text{ bars.}$$

1.2 - Aciers:

contraintes de traction admissible:  $\bar{\sigma}_a = \int_a \sigma_{en}$

$\sigma_{en}$ : contrainte d'élasticité nominale

$\int_a = \frac{2}{3}$  pour les sollicitations du 1<sup>er</sup> genre

Aciers utilisés:  $F_{e40} \text{ HA}$



Tableau récapitulatif des contraintes de l'acier

Diamètre		$\phi \leq 20 \text{ mm}$	$\phi > 20 \text{ mm}$
$\sigma_{en}$	[kg/cm <sup>2</sup> ]	4200	4000
	[bars]	4120	3920
$\bar{\sigma}_a$	[kg/cm <sup>2</sup> ]	2800	2667
	[bars]	2746	2613

Contrainte de traction imposée par la condition de fissuration :

dans le cas où la fissuration sera nuisible à la sécurité de l'ouvrage, les contraintes admissibles dans l'acier seront limitées et la contrainte dans les aciers sera limitée par la plus grande des deux valeurs suivantes :

$$\sigma_s = k \frac{\eta}{\phi} \frac{\bar{\omega}_f}{1 + 10 \bar{\omega}_f}$$

$$\sigma_s = 2,4 \sqrt{k \frac{\eta}{\phi} \bar{\sigma}_b}$$

$\phi$  = diamètre nominal de la plus grosse des barres tendues [en mm]

$k$  = coefficient dépendant de l'importance de la fissuration

$\bar{\sigma}_b$  = contrainte de référence du béton en traction en bars

$\eta$  = coefficient de fissuration,  $\eta = 1,6$  pour les aciers HA

$\bar{\omega}_f = \frac{A}{B_f}$  pourcentage de fissuration ;  $A$  = section totale des barres tendues  
 $B_f$  = section d'enrobage de ces barres

Contrainte admissible de traction pour les armatures d'âme :

pour utiliser les armatures d'âmes droites il faut que satisfaisse à la condition suivante :

$$\begin{cases} \tau_b \leq 3,5 \bar{\sigma}_b & \text{si } \sigma'_b \leq \bar{\sigma}'_b \\ \tau_b \leq \left(4,5 - \frac{\sigma'_b}{\bar{\sigma}'_b}\right) \cdot \bar{\sigma}_b & \text{si } \bar{\sigma}'_b < \sigma'_b < 2 \bar{\sigma}'_b \end{cases}$$

une fois ces exigences satisfaites on aura :

$$\bar{\sigma}_{at} = \rho_{at} \sigma_{en} \quad \text{avec} \quad \rho_{at} = \begin{cases} \max \left\{ \left(1 - \frac{\tau_b}{3 \bar{\sigma}_b}\right) ; \frac{2}{3} \right\} & \text{s'il n'y a pas de reprise de bétonnage} \\ \frac{2}{3} & \text{sinon} \end{cases}$$

Contrainte d'adhérence admissible :

$$\bar{\tau}_d = \begin{cases} 2 \psi_d \bar{\sigma}_b & \text{pour les poutres} \\ 2,5 \psi_d \bar{\sigma}_b & \text{pour les dalles et hourdis} \end{cases}$$

où  $\psi_d$  = coefficient de scellement droit ( $\psi = 1,5$  pour les H.A) et la contrainte admissible d'adhérence pour les ancrages :

$$\bar{\tau}_d = 1,25 \psi_d^2 \bar{\sigma}_b$$

principe:

le béton est un matériau qui possède une forte résistance à la compression et faible à la traction, c'est pour cela qu'on y remédie en mettant des aciers dans la partie tendue et le béton existant dans cette partie ne sert qu'à enrober les aciers donc son premier inconvénient est son poids qui n'est pas négligeable, la formation de fissures dans cette zone est inévitable et ce qui présente un préjudice à l'ouvrage surtout pour ceux ayant une portée appréciable.

Partant de ces inconvénients les ingénieurs ont élaborés une technique permettant d'utiliser à plein la résistance du béton en le comprimant à l'avance par le jeu de forces internes, de façon telle que la variation de contrainte qui faisait naître des tractions ne provoque qu'une décompression du matériau, et ce qui permet de construire des ouvrages d'assez grandes portées et tout en évitant au maximum la fissuration et aussi allège les constructions donc en liant la sécurité à l'économie.

leur réalisation demande une main d'œuvre qualifiée et des matériaux d'assez bonne qualité.

precontrainte par post-tension:

le principe de la precontrainte par post-tension est de tendre les armatures en prenant appui sur la pièce à precontraindre. Pendant sa mise en tension, l'armature s'allonge tandis que le béton, comprimé, présente un léger raccourcissement; pour permettre le mouvement relatif il est nécessaire de ménager dans le béton des conduits, généralement formés par des gaines métalliques de sections circulaire, disposés et réglés dans les coffrages avant bétonnage.

Béton utilisé en béton precontraint:

résistance nominale:      - compression:  $\sigma'_n = \sigma'_{28} = 400 \text{ kg/cm}^2$   
    - traction:  $\sigma_n = \sigma_{28} = 7 + 0,06 \sigma'_{28} = 39 \text{ kg/cm}^2$

les dispositions de l'Ip1 concernant les contraintes sont:

- compression:  $\bar{\sigma}' = \begin{cases} 0,42 \sigma'_n = 168 \text{ kg/cm}^2 & \text{en service} \\ 0,55 \sigma'_n = 220 \text{ kg/cm}^2 & \text{en construction} \end{cases}$

- Traction:

Module de déformation:

- sous charge de courtes durée:  $E_i = 21000 \sqrt{\sigma'_n} = 420000 \text{ kg/cm}^2$   
 - sous charge de longue durée:  $E_v = \frac{1}{3} E_i = 140000 \text{ kg/cm}^2$

Armatures:

les cables utilisés sont du type FT15 III TBR Dywidag, l'ancrage est du type actif-actif.

les caractéristiques des cables utilisés sont donnés ci-après.



module d'élasticité  
 contrainte de rupture garantie  
 contrainte caractéristique de déformation garantie  
 Section utile d'un câble  
 Diamètre intérieur de la gaine  
 Diamètre extérieur de la gaine  
 Coefficient de frottement câble-gaine  
 perte de tension relative par mètre  
 perte par blocage d'ancrage  
 Rayon de courbure minimum du câble  
 Relaxation à 1000 heures  
 Relaxation à 3000 heures

$$\begin{aligned}
 E_q &= 2 \cdot 10^6 \text{ kg/cm}^2 \\
 R_g &= 13500 \text{ kg/cm}^2 \\
 T_g &= 14800 \text{ kg/cm}^2 \\
 \omega &= 9,73 \text{ cm}^2 \\
 \phi_i &= 6,0 \text{ cm} \\
 \phi_e &= 6,6 \text{ cm} \\
 \psi &= 0,0017 \\
 f &= 0,23 \\
 g &= 9 \text{ mm} \\
 R_{\min} &= 500 \text{ cm} \\
 \rho_{1000} &= 0,03 \\
 \rho_{3000} &= 0,036
 \end{aligned}$$

# CARACTERISTIQUES GEOMETRIQUES DES SECTIONS

## 1. Dimensionnement des poutres :

les conditions de dimensionnement à respecter pour la hauteur et l'épaisseur des poutres en béton précontraint ayant une portée dépassant vingt mètres sont les suivantes :

$$\frac{L}{20} - 0,20 \leq h_t \leq \frac{L}{20} + 0,50 \text{ [m]}$$

dans notre cas  $L = 24,50 \text{ m} \Rightarrow 1,025 \text{ m} \leq h_t \leq 1,725 \text{ m}$

épaisseur de l'âme :

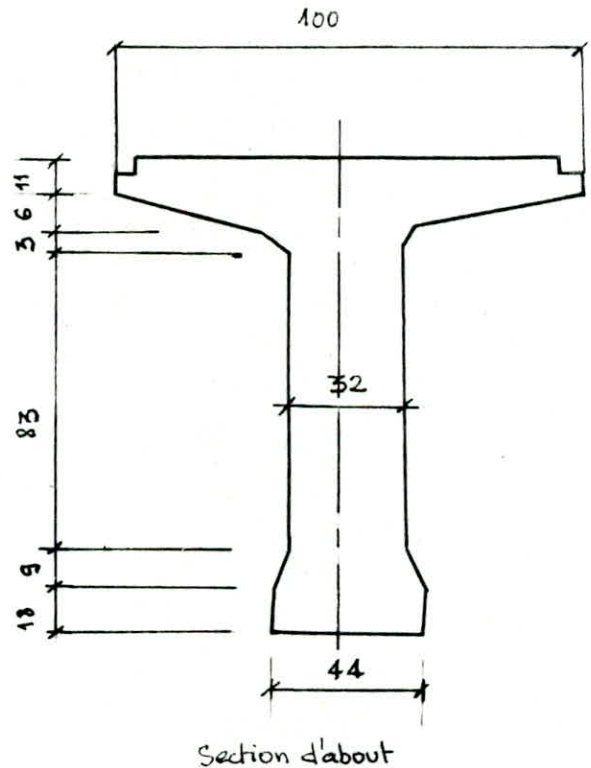
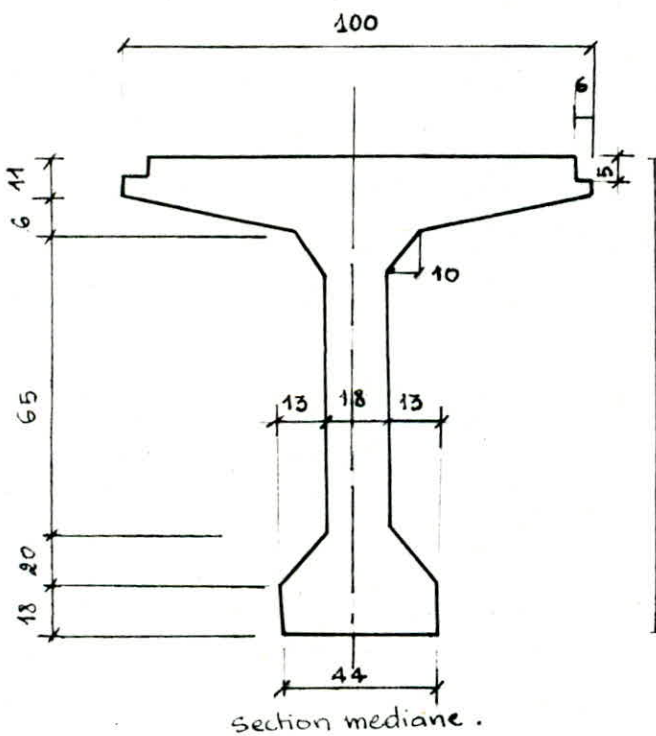
$$e \geq \frac{h_t}{10} + 9 \text{ [cm]}$$

les moules métalliques existants au sein de la Société et servant à la réalisation de ces poutres sont en harmonie avec les conditions sus-citées.

Pour cela les dimensions des moules métalliques sont :

Hauteur totale :	$h_t = 1,30 \text{ m}$
Largeur de la table :	$b = 1,00 \text{ m}$
Épaisseur de l'âme :	
en travée	$e = 18 \text{ cm}$
d'about	$e = 32 \text{ cm}$
largeur du Tabon	$b' = 44 \text{ cm}$

profil du moule :

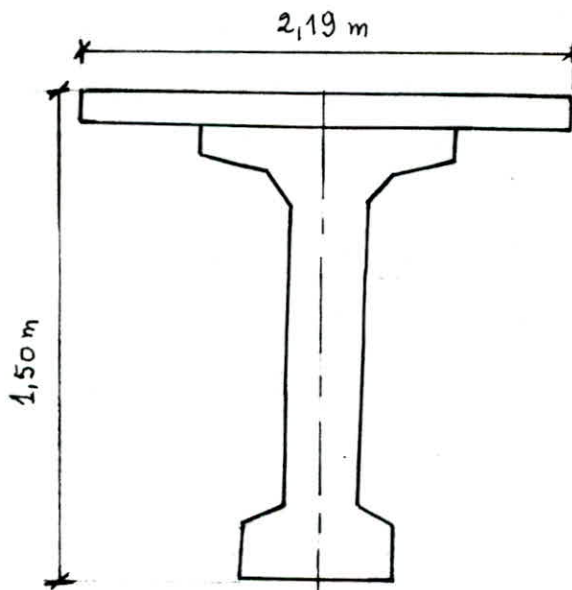


### II/ Caracteristiques des sections :

on suppose l'axe (A) passant par la fibre superieure de la section consideré et en appliquant les relations classiques de moments d'inerties et de moments statiques on aura :

SECTION	Poutre seule	
	MEDIANE	ABOUT
$B [cm^2]$	4376	5484
$S_A [cm^3]$	247205,8	310320
$I_A [cm^4]$	23071408	27337195,33
$V_S [cm]$	56,49	56,68
$V_i [cm]$	73,51	73,32
$I_G [cm^4]$	9106753,36	9719917,7
$i^2 [cm^2]$	2081	1772,41

### III/ - poutre avec dalle :



en supposant toujours l'axe passant par la fibre superieure et on applique les mêmes relations de moments d'inertie caracteristiques d'une forme géométrique quelconque pour notre cas des rectangles et des triangles, ce qui aussi est valable pour le moment statique. les résultats sont réunis dans le tableau ci-après :

Tableau récapitulatif des caractéristiques de la section poutre avec dalle :

Poutre avec dalle		
Section	mediane	about
$B [cm^2]$	8756	9864
$S_{\Delta} [cm^3]$	378525,8	464390
$I_{\Delta} [cm^4]$	35293533,2	42539196,85
$V_s [cm]$	43,23	47,08
$V_i [cm]$	106,77	102,92
$I_G [cm^4]$	18929862,87	20676050,83
$i^2 [cm^2]$	2161,93	2096,11

les deux tableaux ainsi décrits ont été calculés en ayant subdivisé chaque section (sans et avec dalle) en sections géométriques simples (rectangles et triangles) et pour chacune d'elles on applique les relations suivantes et on fait la somme.

Pour un rectangle dont la largeur  $b$  coïncide avec l'axe ( $\Delta$ ) on a :

$$I_{\Delta} = \frac{bh^3}{3} \quad S_{\Delta} = \frac{bh^2}{2} \quad \text{d'où } I_{\Delta} = S_{\Delta} z' \quad \text{avec } z' = \frac{2}{3}h$$

pour les autres rectangles nous appliquons le théorème suivant :

$$I_{\Delta} = I_0 + B_0 z^2 \quad \text{avec } I_0 = \text{moment d'inertie par rapport au c.d.g du triangle ou rectangle considéré.}$$

$B_0$  = aire de la section considéré

$z$  = distance de l'axe passant par le c.d.g de la section à l'axe ( $\Delta$ ) dans ce cas  $z = z'$

position du centre de gravité :

$$V_s = \frac{S_{\Delta}}{B} \quad ; \quad V_i = h_f - V_s$$

$$I_G = I_{\Delta} - S_{\Delta} V_s \quad ; \quad i^2 = \frac{I_G}{B}$$

- Caractéristiques des sections :

elles sont déduites des caractéristiques des sections brutes en considérant que les trous des armatures ne participent pas à la résistance, le mortier injecté à l'intérieur ne participe pas à la résistance.

Ces caractéristiques seront calculées quand le nombre de câble sera connu.



# CALCUL DES EFFORTS DANS LES POUTRES

Le pont est constitué de 5 travées indépendantes longitudinalement et de 5 poutres transversalement entretoisées à l'about, les trottoirs sont standards et les dimensions sont décrites dans les planches, les poutres sont d'une portée  $L = 24,50\text{ m}$ .

## 1. Evaluation des charges permanentes :

Poutres	156,53 t	
HOURDIS	128,71 t	
prédalle	16,70 t	
Trottoirs	63,80 t	→ $G = 156,53 + 128,71 + 16,70 + 63,8 + 12,75 + 15,4 + 31,4 = 431,74$
glissière-garde corps	12,75 t	
Entretoise	15,40 t	
Revêtement	31,40 t	

## 2. Evaluation des efforts :

l'expression du moment flechissant et celle de l'effort tranchant sont :

$$M_s(x) = \frac{qL}{2}x - \frac{qx^2}{2}$$

$$T_s(x) = \frac{qL}{2} - qx$$

moment flechissant :

Sections	0	$\frac{L}{8}$	$\frac{L}{4}$	$\frac{3L}{8}$	"S"	$\frac{L}{2}$
$M_G$ [tm]	0	578,47	991,69	1239,65	1295,83	1322,36

effort tranchant :

Sections	0	$\frac{L}{8}$	$\frac{L}{4}$	$\frac{3L}{8}$	"S"	$\frac{L}{2}$
$T_G$ [t]	215,87	161,90	107,93	53,97	30,40	0

## 3. Sous-surcharges A(L) :

caracteristiques du pont :

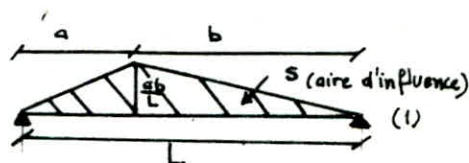
$l_1 = l_2 = 7,00\text{ m}$  et  $N = \frac{l_1}{3} = 2,33 \Rightarrow N = 2$  (réglement cpc)  
ces caracteristiques satisfont aux conditions d'un pont de 1<sup>ère</sup> classe

$l_1 = l_2 = 3,50$  (largeur d'une voie) avec  $l_0 = 3,50\text{ m}$

On a aussi  $A = K A_L \frac{l_0}{L_v}$  avec  $K=1$  (une ou deux voies chargées)

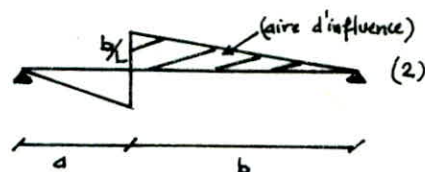
$A_L = 230 + \frac{36000}{L+12}$  (dans notre cas  $L = 24,50\text{ m}$ , car les efforts sont maximums en chargeant toute la travée).

moment flechissant :



$$S = \frac{ab}{2}(a) \quad M = S \cdot q \quad (q_1)$$

effort tranchant :



$$S = \frac{b^2}{2L}(b) \quad T = qS = q \frac{b^2}{2L} \quad (b_2)$$

(1) et (2) sont les lignes d'influences du  $m_s$  et de l'effort tranchant pour une section distante de  $a$  de l'appui de gauche.



application au projet :

le moment maximum est obtenu en chargeant toute la travée donc  $L = 24,50m$ .

pour cela on trouve :

$$A_L = 1216,30 \text{ kg/m}^2 \text{ et } A = 1216,30 \text{ kg/m}^2$$

la charge par unité de longueur dépend du nbre de Voies chargées.

$$\text{pour une voie chargée : } q = A l_v = 1216,30 \times 10^{-3} \times 3,50 = 4,257 \text{ t/ml.}$$

$$\text{pour deux voies chargées : } q = 2A l_v = 2 \times 1216,30 \times 10^{-3} \times 3,50 = 8,514 \text{ t/ml.}$$

et en appliquant les relations (a<sub>1</sub>) et (b<sub>1</sub>) ainsi que (a<sub>2</sub>) et (b<sub>2</sub>) on aboutit aux efforts suivants:

moment flechissant :

SECTIONS		0	L/8	L/4	3L/8	"S"	L/2
M [tm]	1 voie chargée	0	139,74	239,55	299,44	313,074	319,40
	2 voies chargées	0	279,48	479,11	598,89	626,15	638,81

effort tranchant :

SECTIONS		0	L/8	L/4	3L/8	"S"	L/2
T (t)	1 voie chargée	52,15	42,87	34,12	25,92	22,54	18,38
	2 voies chargées	104,29	85,74	68,25	51,85	45,08	36,77

4. Sous surcharges de trottoirs :

D'après le C.P.C article n° 11 la surcharge à prendre est de  $0,15 \text{ t/m}^2$ , la largeur du trottoir dans notre cas est de :  $l_t = 0,90m$ .

application au projet :

$$\text{pour un seul trottoir chargé : } q = 0,15 \times l_t = 0,15 \times 0,90 = 0,135 \text{ t/ml}$$

$$\text{pour deux trottoirs chargés : } q = 0,15 \times l_t \times 2 = 0,15 \times 0,90 \times 2 = 0,27 \text{ t/ml}$$

les relations a<sub>1</sub> et a<sub>2</sub> ainsi que b<sub>1</sub> et b<sub>2</sub> restent valables:

moment flechissant :

SECTIONS		0	L/8	L/4	3L/8	"S"	L/2
M [tm]	1 trottoir chargé	0	4,43	7,60	9,49	9,92	10,12
	2 trottoirs chargés	0	8,86	15,19	18,99	19,85	20,25

Effort tranchant :

SECTIONS		0	L/8	L/4	3L/8	"S"	L/2
T [t]	1 trottoir chargé	1,65	1,26	0,93	0,64	0,54	0,41
	2 trottoirs chargés	3,308	2,53	1,86	1,29	1,07	0,82

les sections sont toujours prises à partir de la gauche.

5. Sous surcharge B<sub>c</sub> :

$$\text{Coefficient de majoration dynamique : } \delta = 1 + \frac{0,4}{1 + 0,2L} + \frac{0,6}{1 + 4P/S} \quad (a)$$

L = portée de la travée

P = poids total du tablier correspondant à la travée.

S = surcharge maximale qu'on peut appliquer à cette travée.

$$S = n \times b_c \times 60 \text{ [t]} \quad \text{où } n = \text{nbre de convois, } b_c = \text{coefficient de pondération dépendant du nombre de convois.}$$

60t = poids d'un convoi B<sub>c</sub>.

### 6/ Détermination de la section dangereuse:

La charge  $P_k$  au droit de laquelle le moment est maximal à la section dangereuse doit satisfaire à la condition suivante:

$$(1) \quad \sum_{\alpha=1}^{k-1} P_{\alpha} \leq \frac{R}{2} \leq \sum_{\alpha=1}^k P_{\alpha} \quad \text{avec } R \text{ étant la résultante de toutes les forces appliquées.}$$

Une fois les charges qui satisfont à cette condition sont trouvées on applique le théorème de BARRÉ pour leurs emplacement ensuite déduire les valeurs des efforts à partir des lignes d'influence.

Théorème de BARRÉ: le moment flechissant  $M_i$  au droit d'une charge  $P_i$  dû à un ensemble de charges mobiles engagées sur une poutre AB sera maximum au droit de cette charge  $P_i$  lorsque cette charge et la résultante de toutes les charges sont symétriques par rapport au centre de la poutre.

Application au projet:

#### a) calcul du coefficient de majoration dynamique:

$b_c = 1,2$  pour un convoi;  $b_c = 1,1$  pour 2 convois

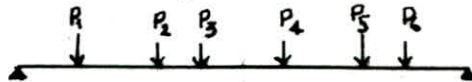
Pour un convoi on aura:  $S = n \times b_c \times 60 = 1 \times 1,2 \times 60 = 72t$  et  $L = 24,50m$ ,  $P = 431,74t$

donc en appliquant la relation (a) on trouve:  $\delta = 1,092$

pour deux convois on trouve:  $\delta = 1,11$ .

Systeme  $B_c$ :

$$P_1 = P_4 = 12t; P_2 = P_3 = P_5 = P_6 = 24t$$



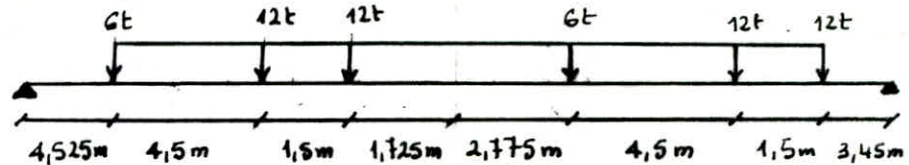
la condition (1) est satisfaite pour les charges  $P_3$  et  $P_4$  car on obtient les résultats suivants

pour  $P_3$  on trouve:  $36 \leq 60 \leq 60$  et pour  $P_4$  on trouve:  $60 \leq 60 \leq 72$

Calcul pour la charge  $P_3$ :

$$\text{positionnement: } \sum M_{P_3} = 0 \Rightarrow R \cdot x = -12x(4,50) - 24(9) - 24 \times (10,50) + 24 \times (1,50) + 6 \times 12$$

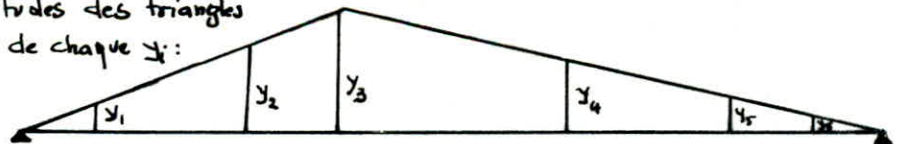
$$\Rightarrow x = 3,45m$$



la ligne d'influence sera:

les relations de similitudes des triangles

nous donne la valeur de chaque  $y_i$ :



$P_i(t)$	6	12	12	6	12	12
$y_i(m)$	2,58	5,15	6,00	4,20	2,208	1,54
$P_i y_i$	15,48	61,8	72	25,20	26,50	18,48
$\sum P_i y_i (tm)$	219,48					

donc  $M = \sum P_i y_i = 219,48 tm$ , pour une voie chargée:  $M_1 = 219,48 \times 1,09 \times 1,2 = 287,66$

et pour 2 voies chargées on aura:  $M = 535,97 tm$



positionnement de la charge  $P_4$ :

on utilise le même procédé de calcul qui a été utilisé pour la charge  $P_3$  les résultats sont inscrits dans le tableau ci-après.

$$x = 1,05 \text{ m.}$$

$P_i$ (t)	6	12	12	6	12	12
$y_i$ (m)	1,08	3,24	3,96	6,11	3,76	2,98
$P_i y_i$ (tm)	210,48					

pour une seule voie chargée :  $M = \delta \times b_c \times \sum_{i=1}^n P_i y_i = 1,092 \times 1,2 \times 210,48 = 275,81 \text{ tm.}$

pour 2 voies chargées :  $M = \delta \times b_c \times \sum_{i=1}^n P_i y_i = 1,11 \times 2 \times 1,1 \times 210,48 = 514 \text{ tm.}$

conclusion :

Vu la valeur du moment dans la section sous  $P_3$  on conclut que la section dangereuse est à  $x = 10,525 \text{ m}$  de l'appui de gauche, le moment maximum est obtenu pour la charge  $P_3$  et pour 2 convois.

$$M_{\max} = 535,97 \text{ tm.}$$

Connaissant maintenant la section dangereuse et l'effort qui lui est appliqué on se propose de calculer les efforts maximums connaissant les sections, les relations à vérifier sont les suivantes et elles doivent être satisfaites simultanément.

$$\frac{1}{a} \sum_{\alpha=1}^i P_{\alpha} > \frac{1}{b} \sum_{\alpha=i+1}^n P_{\alpha}$$

$$\frac{1}{a} \sum_{\alpha=1}^i P_{\alpha} < \frac{1}{b} \sum_{\alpha=i}^n P_{\alpha}$$

détail d'un exemple :

section située à  $L/8$  de l'appui de gauche :  $a = \frac{L}{8} = 3,0625 \text{ m}$  et  $b = \frac{7L}{8} = 21,4375 \text{ m}$   
 toujours les charges sont considérées dans l'ordre respectifs précités dans le paragraphe précédent :  $P_1 = P_4 = 12 \text{ t}$ ,  $P_2 = P_3 = P_5 = P_6 = 24 \text{ t}$  c'est à dire deux convois Bc.

au droit de  $P_1 = 12 \text{ t}$

$$\frac{12}{3,0625} > \frac{108}{21,4375} \text{ Non}$$

au droit de  $P_2 = 24$

$$\frac{24}{3,0625} > \frac{84}{21,4375} \text{ oui}$$

au droit de  $P_3 = 24 \text{ t}$

$$\frac{48}{3,0625} > \frac{60}{21,4375} \text{ oui}$$

$$\frac{0}{3,0625} < \frac{120}{21,4375} \text{ oui}$$

$$\frac{0}{3,0625} < \frac{108}{21,4375} \text{ oui}$$

$$\frac{24}{3,0625} < \frac{84}{21,4375} \text{ Non}$$

au droit de  $P_4 = 12 \text{ t}$

$$\frac{12}{3,0625} > \frac{48}{21,4375} \text{ oui}$$

au droit de  $P_5 = 24 \text{ t}$

$$\frac{24}{3,0625} > \frac{24}{21,4375} \text{ oui}$$

au droit de  $P_6 = 24 \text{ t}$

$$\frac{48}{3,0625} > \frac{0}{21,4375} \text{ oui}$$

$$\frac{0}{3,0625} < \frac{60}{21,4375} \text{ oui}$$

$$\frac{0}{3,0625} < \frac{48}{21,4375} \text{ oui}$$

$$\frac{24}{3,0625} > \frac{24}{21,4375} \text{ Non}$$

on remarque que les charges  $P_2, P_4, P_5$  produisent le moment maximum à la section  $L/8$ .

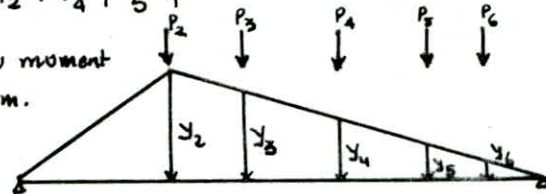
cas de la charge  $P_2$ :

On aura pour la valeur du moment

$$M = \sum_{i=2}^6 P_i y_i \times b_c \times \delta = 254,66 \text{ tm.}$$

Pour les charges  $P_4, P_5$

les moments trouvés sont inférieurs à celui provoqué par  $P_2$  à la section  $L/8$ .



les autres valeurs des moments dans les différentes sections sont récapitulées dans le tableau ci-après :

SECTIONS	$L/4$	$3L/8$	$L/2$
charge provoquant le moment maximum (t)	$P_2 = 24$	$P_2 = 24$	$P_3 = 24$
$M$ [tm]	426,86	503,35	512,82

Le procédé de calcul est le même utilisé pour l'exemple détaillé et cela en considérant seulement le cas de deux voies chargées car c'est le cas défavorable pour les sections considérées. (valeurs calculées en tenant compte des divers coefficients notamment  $\sigma, b_c$ )

### b) ETUDE DE L'EFFORT TRANCHANT :

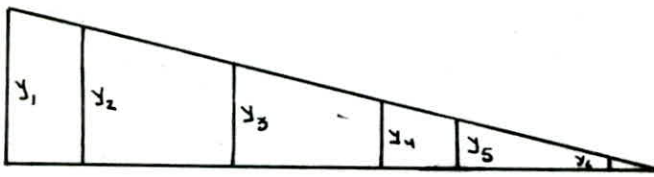
pour avoir un effort tranchant maximum on doit choisir pour celui-ci une disposition défavorable et celle-ci respectera le procédé suivant :

c'est de placer les charges lourdes au droit des points qui ont une ordonnée grande et d'en éviter au maximum de les placer dans la partie négative de la ligne d'influence.

la relation donnant l'effort tranchant est :

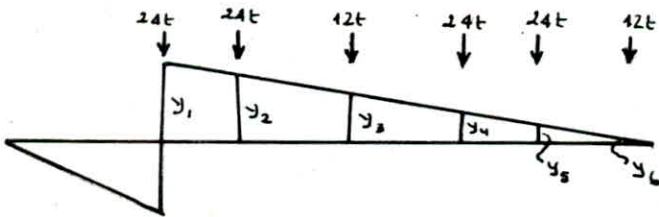
$$T_{\max} = \sum P_i y_i$$

section d'appui :



$$T_{\max} = \sum_{i=1}^6 P_i y_i = 104,53 \text{ t.}$$

section à  $L/8$  :



$$T_{\max} = \sum_{i=1}^6 P_i y_i = 86,03 \text{ t.}$$

les autres valeurs de l'effort tranchant pour les deux sections restantes sont regroupées dans le tableau ci-dessous.

SECTIONS	$L/4$	$3L/8$	$L/2$
EFFORT TRANCHANT (t)	67,72	50,11	33,62

Tableau récapitulatifs des efforts dans le cas du chargement  $B_c$ .

$$M_{\max} = \delta \cdot b_c \cdot M \quad , \quad T_{\max} = \delta \cdot b_c \cdot T$$

SECTIONS		0	$L/8$	$L/4$	$3L/8$	"5"	$L/2$
M [tm]	1 convoi	0	179,00	228,52	269,61	287,60	275,18
	2 convois	0	254,66	426,86	503,35	535,97	512,82

SECTIONS		0	$L/8$	$L/4$	$3L/8$	$L/8$
T [t]	1 convoi	55,99	46,17	36,34	26,89	18,04
	2 convois	104,35	86,03	67,72	50,11	33,62

c/ Sous surcharges militaires  $M_{c120}$  :

la surcharge militaire  $M_{c120}$  comprend 2 chenilles, le convoi ayant une masse totale égale à 110t uniformément répartie sur une longueur de 6,10 m.

$$q = \frac{110}{6,10} = 18,03 \text{ t/ml}$$

le coefficient de majoration dynamique inhérent à cette surcharge est égale à :  
avec comme expression pour  $\delta$  :

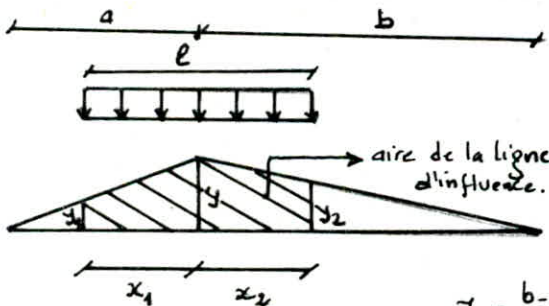
$$\delta = 1 + \frac{0,4}{1 + 0,2L} + \frac{0,6}{1 + 4 \frac{P}{S}}$$

$L = 24,50 \text{ m}$ ,  $S = 110 \text{ t}$ ,  $p = 431,74 \text{ t}$  (poids propre du tablier)  
on trouve

$$\delta = 1 + \frac{0,4}{1 + 0,2 \times 24,50} + \frac{0,6}{1 + 4 \times \frac{431,74}{110}} = 1,103$$

Moment flechissant :

raisonnons avec la ligne d'influence d'une section se situant à une distance  $a$  de l'appui de gauche.



La valeur du moment pour cette surcharge est :

$$M = \delta \cdot q \cdot S$$

mais pour avoir un moment maximum il faut que l'aire sous la surcharge soit maximum et cela est acquis quand  $y_1 = y_2$ .

$$S = \frac{(y+y_1)x_1}{2} + \frac{(y+y_2)x_2}{2} \quad \text{avec } y = \frac{ab}{L}, \quad y_1 = \frac{a-x_1}{a}y$$

$$y_2 = \frac{b-x_2}{b}y \quad ; \quad l = x_1 + x_2$$

donc comme  $y_1 = y_2$  on aboutit à :  $bx_1 = bx_2$  et comme  $x_1 + x_2 = l$  on trouve :

$$x_1 = \frac{al}{L} \quad ; \quad x_2 = \frac{bl}{L} \quad \text{d'où } y_1 = y_2 = \frac{ab}{L} \left(1 - \frac{l}{L}\right) \text{ en injectant ces valeurs dans}$$

la relation de  $S$  on trouve :  $S_{\max} = \frac{ab}{2} \left(2 - \frac{l}{L}\right) \frac{l}{L}$  et  $M_{\max} = \delta \cdot q \cdot S_{\max}$

les valeurs des moments sont regroupés dans le tableau ci-après.

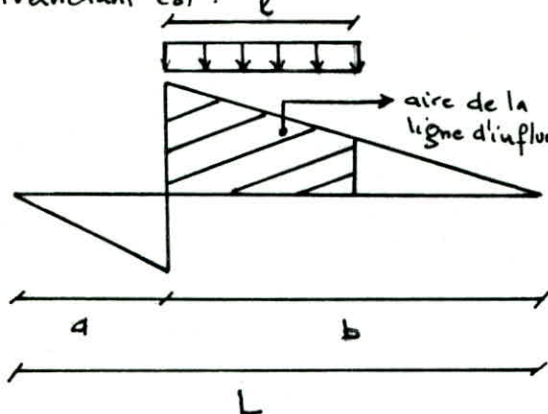


les valeurs des moments sont regroupées dans le tableau ci-dessous :

SECTIONS	0	L/8	L/4	3L/8	"5"	L/2
M [tm]	0	284,60	487,90	523,15	637,63	650,53

Effort tranchant :

pour une section donnée située à une distance  $a$  de l'appui de gauche la ligne d'influence de l'effort tranchant est :



$$y_1 = \frac{b}{L} ; y_2 = \frac{b}{L} \left(1 - \frac{l}{b}\right)$$

cette disposition choisie nous donne la valeur de l'effort tranchant maximale.

$$S = (y_1 + y_2) \times \frac{l}{2} \quad (\text{Surface d'un trapèze})$$

⇒ en remplaçant  $y_1$  et  $y_2$  on aura :

$$S = \frac{bl}{2L} \left(2 - \frac{l}{b}\right) \quad \text{et} \quad T = \delta \cdot q \cdot S$$

les valeurs sont condensées dans le tableau ci-après :

SECTIONS	0	L/8	L/4	3L/8	L/2
T (t)	106,20	91,04	75,88	60,71	45,85

d/ Sous la surcharge exceptionnelle D :

Cette surcharge ayant une masse de 240t sera uniformément répartie sur une longueur de 18,60 :

$$q = \frac{240}{18,60} = 12,90 \text{ t/m}$$

les relations calculées pour le convoi militaire  $M_{C120}$  restent valables ; car on a les mêmes allures des lignes d'influences.  $l = 18,60 \text{ m}$ .

$$S_{\max} = \frac{ab}{2} \times \left(2 - \frac{l}{L}\right) \times \frac{1}{L} \quad \text{pour le moment}$$

$$S_{\max} = \frac{bl}{2L} \left(2 - \frac{l}{b}\right) \quad \text{pour l'effort tranchant}$$

$M_{\max} = q S_{\max}$  et  $T_{\max} = q S_{\max}$  ; les efforts dus au convoi exceptionnel ne sont pas frappés de majoration dynamique.

Moments flechissants :

SECTIONS	0	L/8	L/4	3L/8	"5"	L/2
M [tm]	0	399,99	683,98	854,98	893,90	949,58

Efforts tranchants :

SECTIONS	0	L/8	L/4	3L/8	L/2
T [t]	148,90	118,90	88,89	58,89	28,89

# DISTRIBUTION DES EFFORTS DANS LES POUTRES

## Introduction :

les liaisons transversales des éléments porteurs d'une construction jouent un très grand rôle, c'est à dire que l'élément ainsi directement chargé va reprendre un pourcentage de charge faible par rapport au même élément non lié transversalement.

## Rigidité de l'entretoise :

cette rigidité définit essentiellement la méthode de répartition à utiliser et son expression est :

$$r = \frac{n \cdot a}{2L} \sqrt[4]{\frac{I_p}{I_E}}$$

avec :  $m$  = nbre de poutres principales constituant une travée de la dalle.

$a$  = entre-axe des poutres principales

$L$  = portée des poutres principales

$I_p$  = moment d'inertie propre d'une poutre

$I_E$  = moment d'inertie propre d'une entretoise

si  $r \geq 0,3$  la rigidité de l'entretoise est prise en compte.

la méthode de MM GUYON-MASSONNET est l'une des méthodes actuellement efficaces pour le calcul des ponts à poutres multiples en tenant compte de l'effet de la résistance à la torsion.

si  $r < 0,3$  l'entretoise est infiniment rigide, ainsi on ne tient pas compte de la résistance à la torsion, dans ce cas la méthode COURBON est préférable.

calcul de la rigidité de l'entretoise :

$$n=5 ; a=2,19 \text{ m} ; L=24,50 \text{ m} ; I_p=9106753,36 \text{ cm}^4 \text{ (section mediane)}.$$

$$I_E = \frac{100 \times 20^3}{12} = 66666,66 \text{ cm}^4 ; \Rightarrow r = \frac{5 \times 2,19}{2 \times 24,50} \sqrt[4]{\frac{9106753,36}{66666,66}} = 0,764 > 0,3$$

Ce qui justifie l'utilisation de la méthode de MM. GUYON-MASSONNET.

## présentation théorique de la méthode :

le grillage est formé de deux familles de poutres en général perpendiculaires, étant solidaires de la dalle constituant le platelage. Le comportement de la construction dans ce cas est intermédiaire entre celui d'une dalle anisotrope et celui d'un grillage simple.

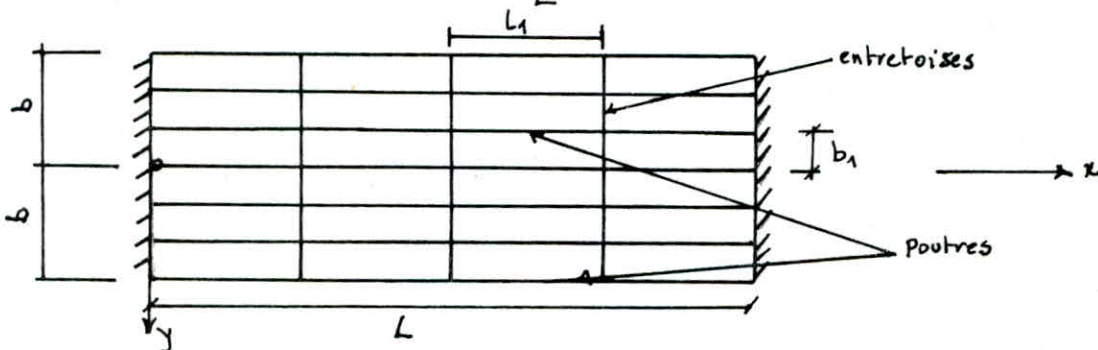
principe de la méthode :

la méthode consiste essentiellement :

1- à substituer au pont réel un pont à structure continue qui possède les mêmes rigidités moyennes à la flexion et à la torsion que l'ouvrage réel, mais analysable rigoureusement par le calcul différentiel.

2- à analyser de manière approchée l'effet de la répartition transversale des charges en admettant que cette répartition est la même que si la distribution des charges suivant l'axe du pont est sinusoïdale de la forme :

$$p(x) = p \sin \frac{\pi x}{L} \quad p = stc ; L = \text{portée des poutres}.$$





les poutres assemblées aux entretoises, les noeuds étant très rigides, donc résistent aussi efficacement à la flexion qu'à la torsion.

Soient  $B_P = EI_P$  la rigidité flexionnelle des poutres et  $B_E = EI_E$  la rigidité flexionnelle des entretoises, on désigne par  $C_P$  et  $C_E$  les rigidités à la torsion des poutres et des entretoises.

Les rigidités flexionnelles par unité de longueur des poutres principales et des entretoises sont respectivement :

$$J_P = \frac{B_P}{b_1} \quad ; \quad J_E = \frac{B_E}{l_2}$$

les rigidités de torsion par unité de longueur des poutres principales et des entretoises sont respectivement :

$$\delta_P = \frac{C_P}{b_1} \quad \text{et} \quad \delta_E = \frac{C_E}{l_2} \quad \text{avec} \quad C_P = GI_P \quad \text{et} \quad C_E = GI_E$$

$$G = \frac{E}{(1+\nu) \cdot 2}$$

pour cela l'équation différentielle d'un grillage simple dont les rigidités sont réparties continuellement est :

$$J_P \frac{\partial^4 w}{\partial x^4} + (\delta_P + \delta_E) \frac{\partial^4 w}{\partial x^2 \partial y^2} + J_E \frac{\partial^4 w}{\partial y^4} = P(x, y)$$

Si on pose  $\delta_P + \delta_E = 2\alpha \sqrt{J_P \cdot J_E}$ , l'équation devient :  $J_P \frac{\partial^4 w}{\partial x^4} + 2\alpha \sqrt{J_P \cdot J_E} \frac{\partial^4 w}{\partial x^2 \partial y^2} + J_E \frac{\partial^4 w}{\partial y^4} = P(x, y)$   
l'effet de torsion se traduit par le paramètre suivant :

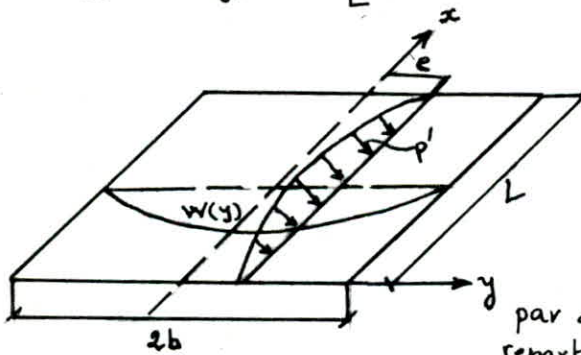
$$\alpha = \frac{\delta_P + \delta_E}{2\sqrt{J_P \cdot J_E}} \quad (\text{paramètre de torsion}) \quad , \quad \vartheta = \frac{b}{L} \sqrt{\frac{J_P}{J_E}} \quad (\text{paramètre d'entretoises})$$

Ces deux coefficients définissent le comportement du pont à structure continue.

coefficient de répartition transversale :

soit une charge linéaire répartie sur la construction sur une droite parallèle à l'axe  $x$  excentrée de  $e$ , cette charge est supposée répartie suivant la sinusoïde :  $p'(x) = p \sin \frac{\pi x}{L}$ . La construction prend alors une déformée en demi-onde de sinusoïde selon l'équation

$$w(x, y) = w(y) \sin \frac{\pi x}{L}$$



Si maintenant la charge  $p(x)$  répartie uniformément sur la largeur  $2b$  (tout en restant sinusoïdale dans le sens de la longueur), la construction prend alors dans ce cas une déformée en surface cylindrique d'équation :  $w_0(x) = w_0 \sin \frac{\pi x}{L}$   
par définition on appelle coefficient de répartition transversale le rapport sans

dimensions :  $K(y) = \frac{w(y)}{w_0}$ , le coefficient  $K$  dépend de  $\vartheta$ ,  $\alpha$ ,  $\frac{e}{b}$  (excentricité relative de la charge) et de  $\frac{y}{b}$  (ordonnée relative du point considéré)

l'étude de nombreux cas a permis à MASSONNET d'établir la formule d'interpolation suivante :

$$K_\alpha = K_0 + (K_1 - K_0) \sqrt{\alpha}$$

pour le calcul exact c'est à dire correspondant à notre paramètre  $\alpha$  nous utiliserons la relation de SATTLER :

$K_0$  correspond à  $\alpha = 0$  ;  $K_1$  correspond à  $\alpha = 1$  ;  $K_0$  et  $K_1$  sont donnés par les Tableaux de MASSONNET.

Relation de SATTLER :

$$\begin{aligned} \text{pour } 0 < \Theta \leq 0,1 &\Rightarrow K_\alpha = K_0 + (K_1 - K_0) \alpha^{0,05} \\ \text{pour } 0,1 < \Theta \leq 1 &\Rightarrow K_\alpha = K_0 + (K_1 - K_0) \alpha \left(1 - \frac{0,065 - \Theta}{0,663}\right) \\ \text{pour } \Theta > 1 &\Rightarrow K_\alpha = K_0 + (K_1 - K_0) \sqrt{\alpha} \end{aligned}$$

Largeur active et position active :

cette largeur est donnée par la relation suivante :

$$2b = (n-1)b_0 + 2\frac{b_0}{2} = nb_0$$

$n$  = nbre de poutres

$b_0$  = distance entre 2 poutres

Dans notre cas  $n=5$  ;  $b_0=2,19\text{m}$  on trouve  $b=5,47\text{m}$

Cette largeur est celle sur laquelle la méthode de MM GUYON - MASSONNET est basée.

Calcul des paramètres  $\Theta$  et  $\alpha$  :

Inertie moyenne de la poutre :  $I_m = I_0 + \frac{8}{3\pi} (I - I_0)$  avec  $I_0$  et  $I$  sont les moments d'inertie respectivement à l'appui et en travée.

$$I_0 = 0,9 \times 20676050,83 = 18608445,75 \text{ cm}^4 ; I = 0,9 \times 18929862,85 = 17036876,6 \text{ cm}^4$$

$$\text{donc } I_m = 18608445,75 + \frac{8}{3\pi} (17036876,6 - 18608445,75) = 17274456,39 \text{ cm}^4$$

on aura pour  $f_p$  et  $f_E$  :

$$f_p = \frac{E I_p}{b_1} = \frac{E \times 17274456,39}{219} = 78878,8 E$$

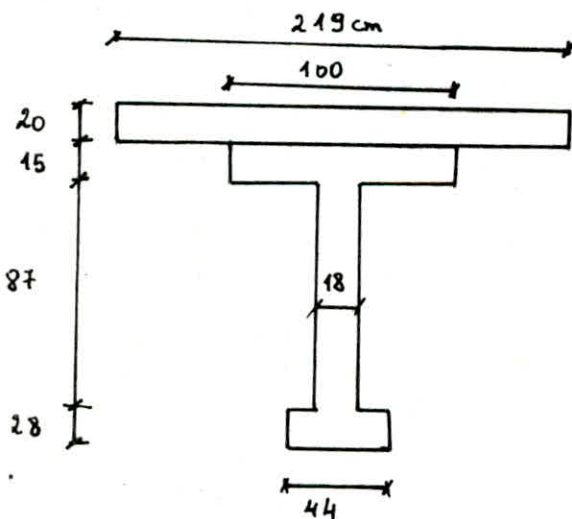
$$f_E = \frac{E I_E}{L_1} = \frac{E \times 66666,6}{100} = 666,66 E$$

Comme il n'y a pas d'entretoises intermédiaires la dalle va jouer ce rôle, l'espacement fictif de ces entretoises est de  $l_1 = 1,00 \text{ m}$ .

$$\Theta = \frac{b}{L} \sqrt[4]{\frac{f_p}{f_E}} = \frac{5,47}{24,50} \sqrt[4]{\frac{78878,8E}{666,66E}} \approx 0,74$$

calcul des rigidités torsionnelles par unité de longueur :

pour simplifier les calculs on modifie légèrement la géométrie de la section et elle devient la suivante :



$$C_p = \frac{G}{3} \sum b_i^3 h_i$$

où  $b_i$  et  $h_i$  sont respectivement le plus petit et le plus grand côté du rectangle élémentaire  $i$  :

$$C_p = \frac{G}{3} \left[ 219 \times 20^3 + 100 \times 15^3 + \frac{1}{2} \times 87 \times 18^3 + 40 \times 28^3 \right]$$

$$C_p = 1103026,66 G \text{ avec } G = \frac{E}{2(1+\nu)} \quad \nu = 0,15$$

$$\text{d'où } C_p = 479576,81 E$$

$$C_E = \frac{G}{3} \left( \frac{1}{2} \times 20^3 \times 100 \right) = 133333,33 G$$

$$\text{d'où } C_E = 57971,01 E$$

$$\text{Comme } \delta_p = \frac{C_p}{b_1} = \frac{479576,81 E}{219} = 2189,85 E$$

$$\delta_E = \frac{C_E}{l_1} = 579,71 E$$

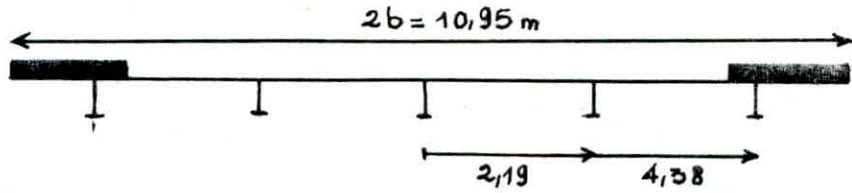
$$\alpha = \frac{\delta_p + \delta_E}{2 \sqrt{f_p \cdot f_E}} = \frac{(2189,85 + 579,71) \times E}{2 \sqrt{666,66 \times 78878,8E^2}} = 0,190 \quad \text{donc } \Theta = 0,74 \text{ et } \alpha = 0,191$$



lignes d'influence de  $K_\alpha$  :

Comme  $0,1 < \theta = 0,74 < 1 \Rightarrow K_\alpha = K_0 + (K_1 - K_0) \alpha (1 - e^{\frac{0,065 - \theta}{0,663}})$

tout calcul fait la relation devient  $K_\alpha = 0,64 K_0 + 0,360 K_1$  ( $\alpha = 0,191$ )  
positions réelles des poutres :



les tables numériques de MASSONNET nous donnent les valeurs de  $K_0$  et  $K_1$  pour  $\theta = 0,75$  pour les excentricités de charges :  $e = -b ; -\frac{3b}{4} ; -\frac{b}{2} ; -\frac{b}{4} ; 0 ; \frac{b}{4} ; \frac{b}{2} ; \frac{3b}{4} ; b$  et pour des points  $y = 0 ; \frac{b}{4} ; \frac{b}{2} ; \frac{3b}{4} ; b$ .  
pour avoir les valeurs des fonctions  $K_\alpha$  qui correspondent aux positions réelles de nos poutres, on a fait des interpolations, les résultats sont regroupés dans le tableau ci-après.

$e$ $y$ [m]	$-b$	$-\frac{3b}{4}$	$-\frac{b}{2}$	$-\frac{b}{4}$	$0$	$\frac{b}{4}$	$\frac{b}{2}$	$\frac{3b}{4}$	$b$
$y = 0$	0,147	0,586	1,035	1,445	1,649	1,445	1,035	0,586	0,147
$y = 2,19$	-0,188	0,098	0,414	0,784	1,198	1,565	1,707	1,591	1,390
$y = 4,38$	-0,220	-0,443	-0,035	0,155	0,498	1,062	1,876	2,858	3,850

Ces valeurs pour chaque poutre vont nous permettre de tracer les lignes d'influence :

calcul du coefficient de répartition  $K_\alpha$  :

cas des surcharges localisées : on calcule les ordonnées  $y_i$  de la ligne d'influence de  $K_\alpha$  sous chaque surcharge, le coefficient  $K_\alpha$  sera obtenu par la relation ci-dessous :

$$K_\alpha = \frac{\sum P_i y_i}{\sum P_i}$$

comme dans le sens transversal, les charges  $P_i$  ont même valeur. La relation devient alors :

$$K_\alpha = \frac{1}{n} \sum_{i=1}^n y_i$$

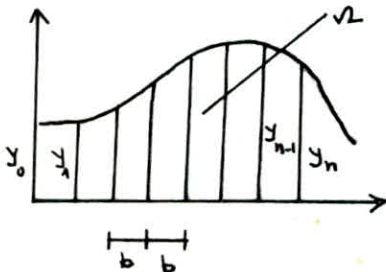
avec  $n =$  nombre de file de roues ou chenilles

cas des surcharges et charges uniformément réparties dans le sens transversal :

$$K_\alpha = \frac{\Omega}{l}$$

avec  $\Omega =$  aire d'influence  
 $l =$  largeur chargée

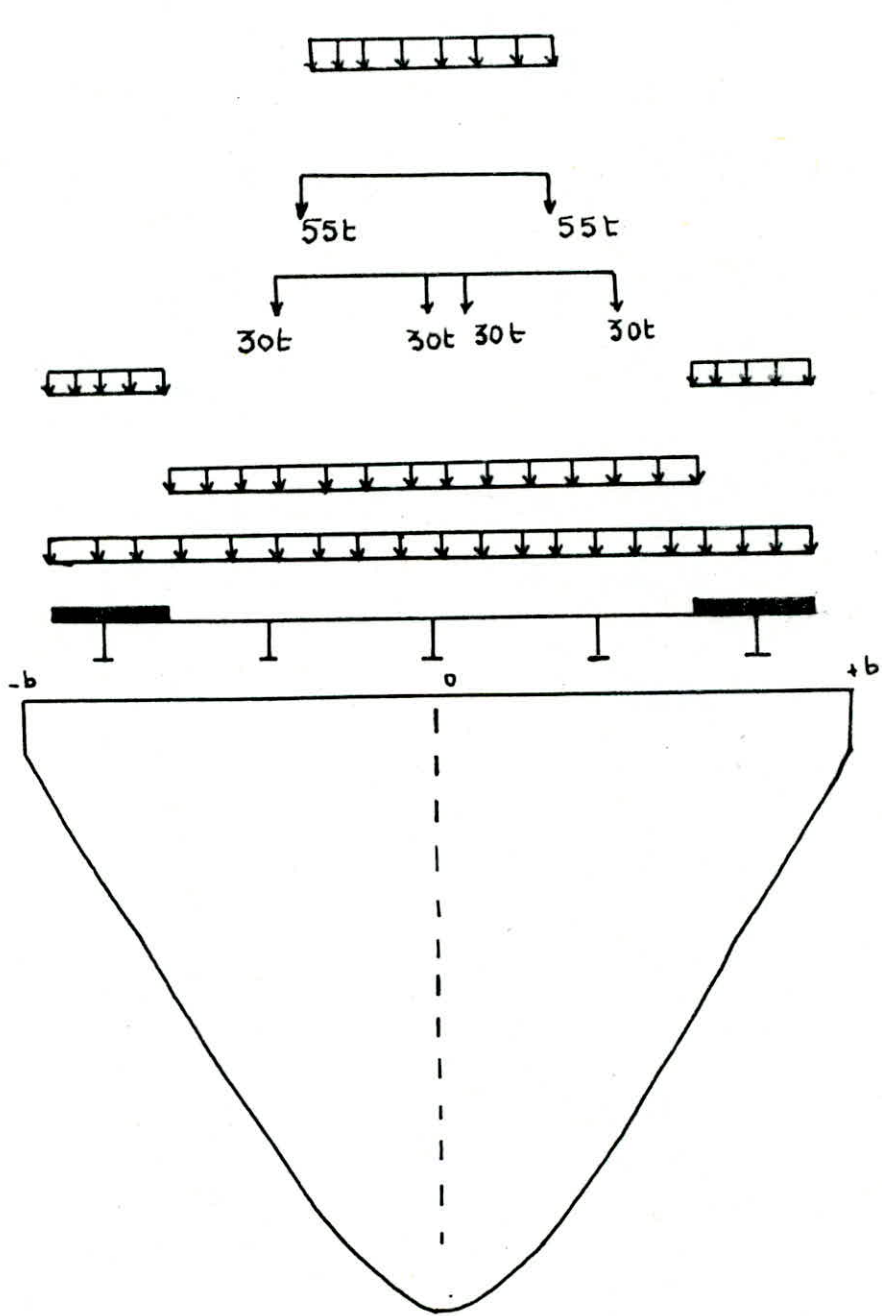
l'aire  $\Omega$  sera calculée par la méthode des trapèzes :  $\Omega = \frac{b}{2} [y_0 + 2(y_1 + y_2 + \dots + y_{n-1}) + y_n]$



pour cela on va envisager toute les dispositions transversales des charges afin d'avoir  $K_\alpha$  maximum.



poutre  $y=0$



$C_D$

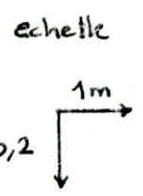
$M_{C120}$

$B_c$

Trottoir

$A(L)$

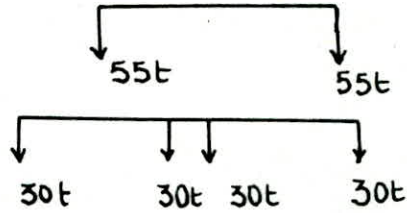
G



Poutre  $y = 2,19 \text{ m}$



$C_D$

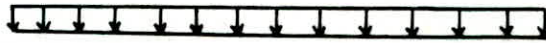


$M_{C120}$

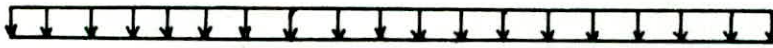
$B_c$



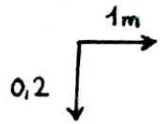
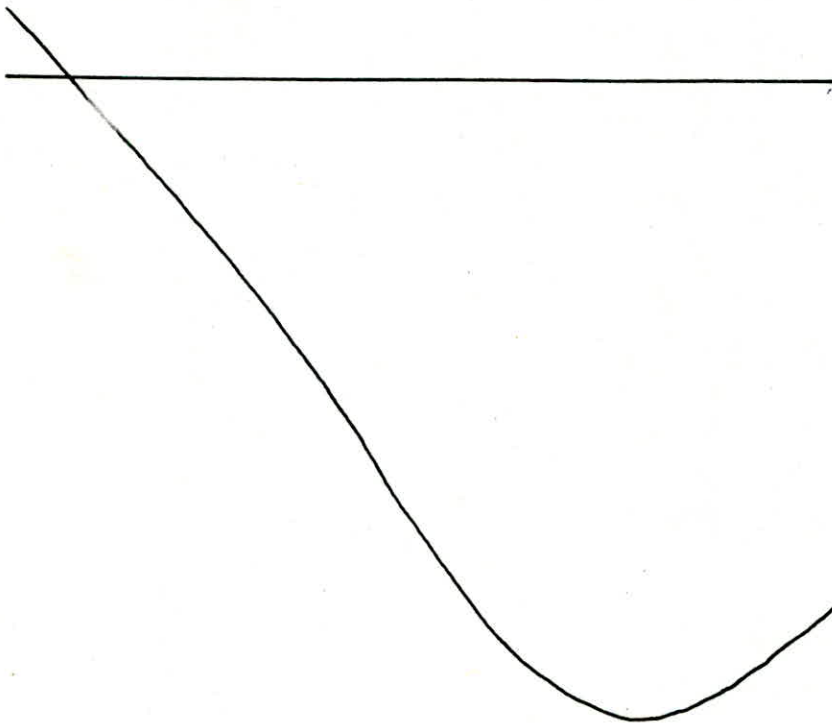
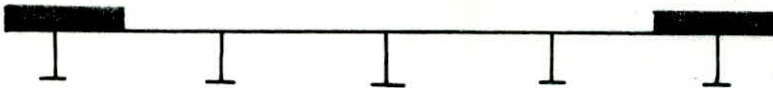
Trottoir



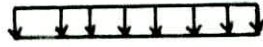
$A(\rho)$



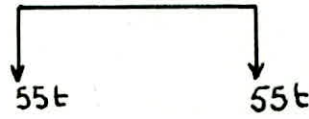
G



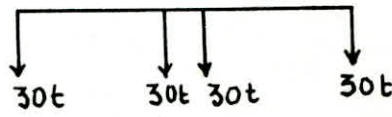
portée  $y = 4,38 \text{ m}$



Convoi D



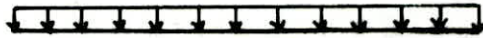
$M_{c120}$



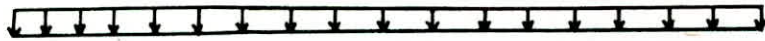
$B_c$



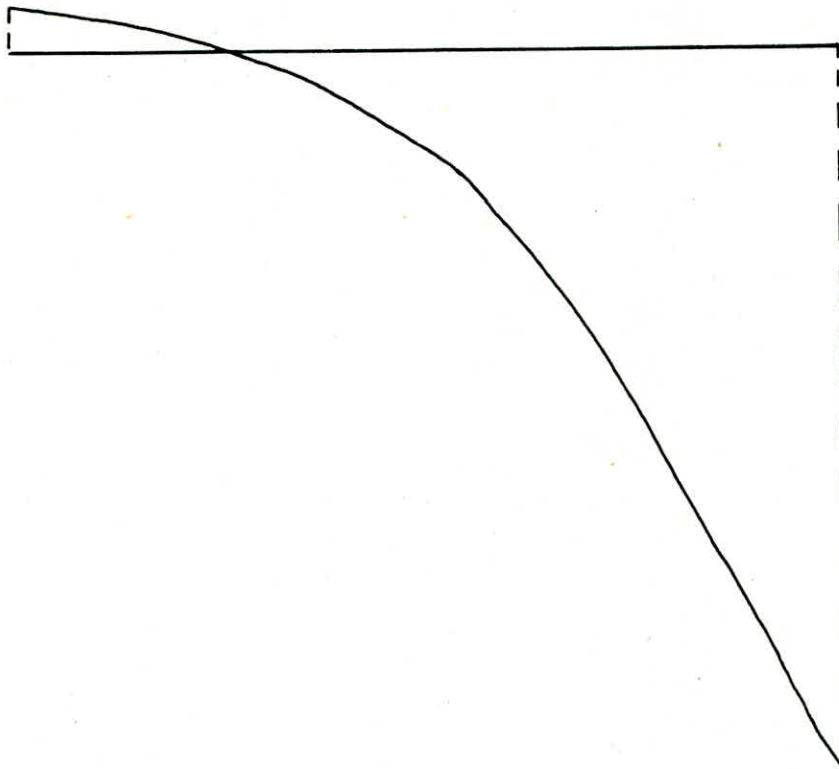
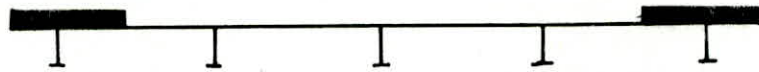
trottoir



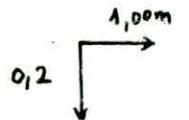
$A(l)$



G



échelle





Coefficients de repartition transversale :

Charges et surcharges	mode de chargement	Poutre $P_0$ $y=0$	Poutre $P_1$ $y=2,19$	Poutre $P_2$ $y=4,38$
G	toute la largeur	0,915	1,020	0,889
Trottoirs	1 trottoir chargé $l_t = 0,90\text{m}$	0,535	1,535	3,650
	2 trottoirs chargés $l_t = 1,80\text{m}$	0,535	0,790	1,742
A(e)	1 voie chargée $l_v = 3,50\text{m}$	1,307	1,545	1,326
	2 voies chargées $l_v = 7\text{m}$	1,307	1,120	0,744
$M_{c120}$	1 véhicules à 2 chenilles	1,360	1,405	0,61
Bc	1 convoi 2 files de roues	1,355	1,365	1,58
	2 convois 4 files de roues	1,520	1,610	1,03
CD	un seul convoi	1,310	1,122	0,510

calcul des efforts dans les poutres :

a/ moment flechissant :

$$M_i = K_{\alpha_i} \frac{M_0}{n} \quad \text{avec}$$

$M_i$  = moment revenant à la poutre une fois repartie .

$M_0$  = moment total sollicitant la poutre (charge ou surcharge)

$n$  = nbre total de poutre .

b/ effort tranchant :

$$T_i = K_{\alpha_i} \frac{T_0}{n} \quad \text{avec}$$

$T_i$  = effort tranchant revenant à la poutre une fois repartie .

$T_0$  = effort tranchant sollicitant la poutre sous les charges ou surcharges .

$n$  = nbre total de poutres .

pour cela on ne présentera que les valeurs des efforts dans les différentes sections pour la poutre  $P_0$ , car ce sont les moments défavorables dans cette poutre qui vont nous permettre de cabler la poutre.

les moments et efforts tranchants dans cette poutre sont regroupés dans les tableaux ci - après .

moments flechissants dans la poutre  $P_0$  ( $y=0$ ) exprimés en t.m  
 les combinaisons utilisées pour les différents cas de chargement sont citées ci-après:

a/  $G + 1,1 [A(l) + Trottoir]$

b/  $G + 1,1 [B_c + Trottoir]$

c)  $G + M_{c120}$

d)  $G + C_D$

de toutes ces combinaisons la plus défavorable pour le moment et l'effort tranchant c'est la combinaison :  $G + C_D$ .

Sections		0	$l/8$	$l/4$	$3l/8$	"5"	$l/2$
G	$K_d$						
	0,915	0	105,67	181,48	226,85	237,14	241,99
$C_D$	1,310	0	104,53	179,20	223,97	234,20	248,79
$G + C_D$		0	210,20	360,68	450,82	471,34	490,78

les mêmes combinaisons ont été faite pour l'effort tranchant et la combinaison (D) est toujours la plus défavorable pour la poutre  $P_0$  qui est la plus sollicitée des poutres.

Sections		0	$l/8$	$l/4$	$3l/8$	$l/2$
G	$K_d$					
	0,915	39,50	29,62	19,75	9,87	0
$C_D$	1,310	39,01	31,15	23,28	15,43	7,57
$G + C_D$		78,51	60,77	43,03	25,30	7,57

moment de flexion transversale :

ce moment de flexion transversale est un moment qu'on déterminera avec pratiquement le même procédé de calcul que pour le moment longitudinal, mais cette on utilisera le coefficient  $\mu_x$  et pour avoir une précision appréciable de ce moment, MASSONNET exige de prendre en compte les 3 premiers termes de la série de Fourier ( $m=1,3,5$ ). A ce sujet MASSONNET a dressé des Tableaux pour le calcul de ces coefficients. pour avoir les valeurs de la fonction  $\mu_x$  (correspondant à  $\alpha$ ) on utilisera la relation de SATTLER qui est une relation d'interpolation.

$$\text{pour } 0,1 < \theta \leq 1 \rightarrow \mu_x = \mu_0 + (\mu_1 - \mu_0) \alpha \left(1 - e^{-\frac{0,065 - \theta}{0,263}}\right)$$

après remplacement de  $\theta$  par sa valeur on aura :  $\mu_x = 0,656 \mu_0 + 0,344 \mu_1$   
 les tableaux de  $\mu_x$ ,  $\mu_x$ ,  $\mu_x$  (correspondant à  $\theta_1 = \theta$ ,  $\theta_3 = 3\theta$ ,  $\theta_5 = 5\theta$ )  
 sont dressés dans la page qui suit.

Tableau de valeurs de la fonction  $\mu_{\alpha_1}$  (correspondant à  $\theta_1 = \theta = 0,75$ );  $m = 1$

$y(m)$ \ e	-b	$-\frac{3b}{4}$	$-\frac{b}{2}$	$-\frac{b}{4}$	0	$\frac{b}{4}$	$\frac{b}{2}$	$\frac{3b}{4}$	b
0	-0,0841	-0,0520	-0,0135	0,0445	0,1417	0,0445	-0,0135	-0,0520	-0,0841
2,19	-0,0348	-0,0276	-0,0199	-0,0052	0,0246	0,0815	0,0789	-0,0365	-0,1350
4,38	-0,0056	-0,0060	-0,0063	-0,0058	-0,0030	-0,0041	0,0205	0,0520	-0,0967

Tableau de valeurs de la fonction  $\mu_{\alpha_3}$  (correspondant à  $\theta_3 = 3\theta = 2,25$ );  $m = 3$

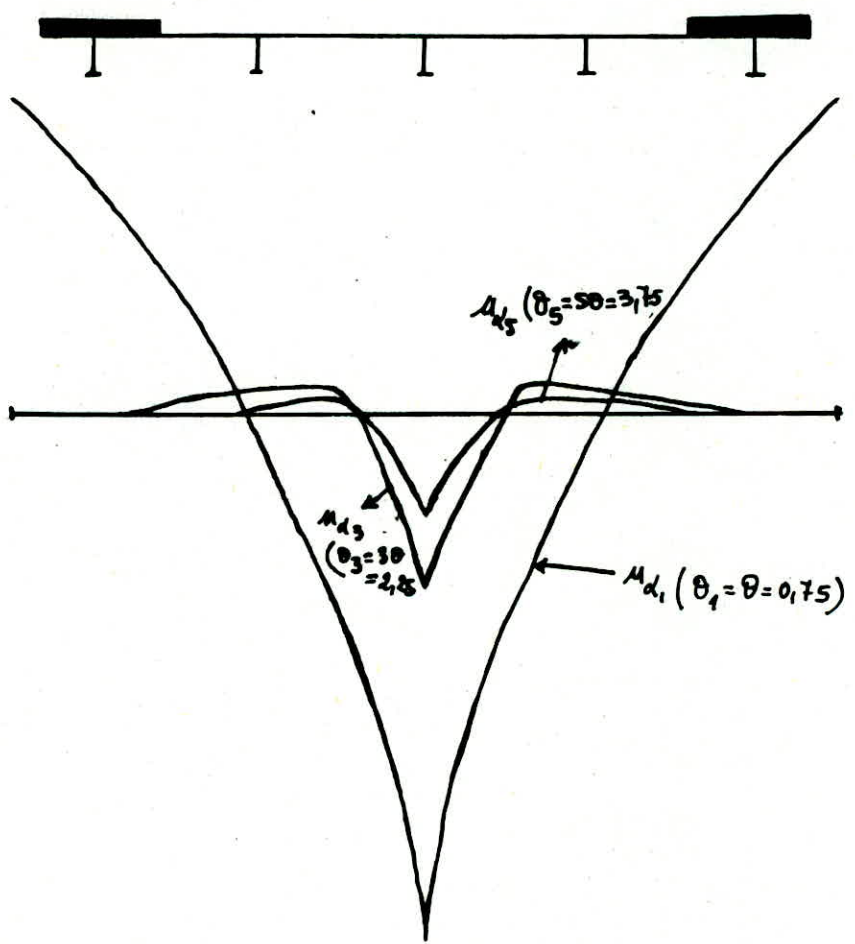
$y(m)$ \ e	-b	$-\frac{3b}{4}$	$-\frac{b}{2}$	$-\frac{b}{4}$	0	$\frac{b}{4}$	$\frac{b}{2}$	$\frac{3b}{4}$	b
0	0,00083	-0,0006	-0,0051	-0,0075	0,0460	-0,0075	-0,0051	-0,0006	0,0008
2,19	-0,00007	0,0001	0,0001	-0,0023	-0,0060	0,0138	0,0254	-0,0034	-0,0051
4,38	-0,0000	0,0000	0,0000	0,0001	-0,0006	-0,0036	-0,0039	0,0365	-0,0338

Tableau de valeurs de la fonction  $\mu_{\alpha_5}$  (correspondant à  $\theta_5 = 5\theta = 3,75$ );  $m = 5$

$y(m)$ \ e	-b	$-\frac{3b}{4}$	$-\frac{b}{2}$	$-\frac{b}{4}$	0	$\frac{b}{4}$	$\frac{b}{2}$	$\frac{3b}{4}$	b
0	0,0000	0,0000	0,0000	-0,0042	0,0273	-0,0042	0,0000	0,0000	0,0000
2,19	0,0000	0,0000	0,0000	0,0000	-0,0044	0,0084	0,0147	-0,0026	0,0005
4,38	0,0000	0,0000	0,0000	0,0000	0,0000	0,0000	-0,0033	0,0221	-0,0085

Ces tableaux vont nous permettre de tracer les lignes d'influence de  $\mu_{\alpha_m}$  et on procédera de la même manière que le coefficient  $K_{\alpha}$ , c'est à dire on recherche toujours la valeur maximum de  $\mu_{\alpha}$  (positive) ou la valeur minimum de  $\mu_{\alpha}$  (negative), pour cela pour les charges concentrées on calcul les ordonnées au droit de chaque charge, et pour les charges uniformément réparties on utilise la formule des trapèzes.





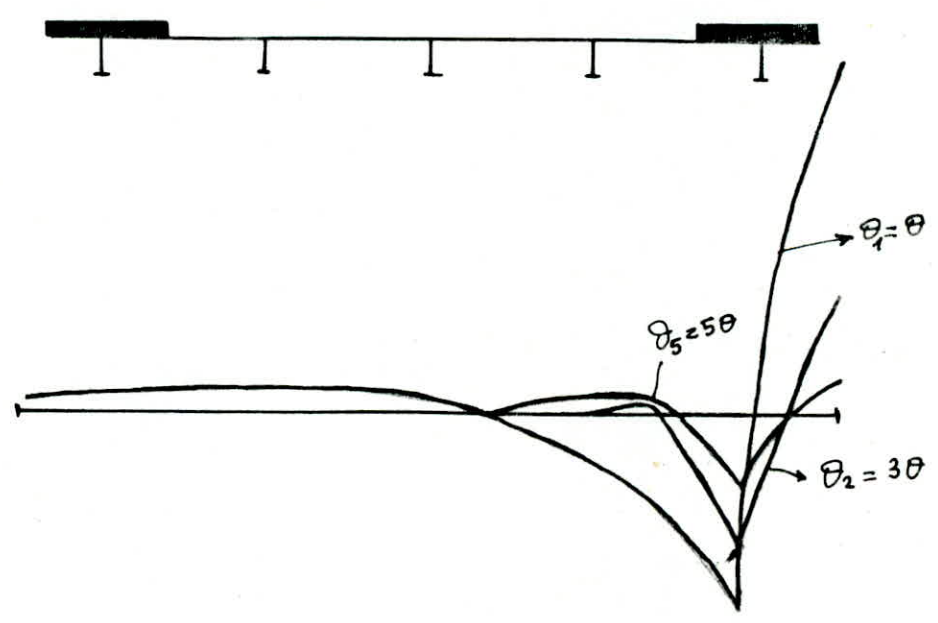
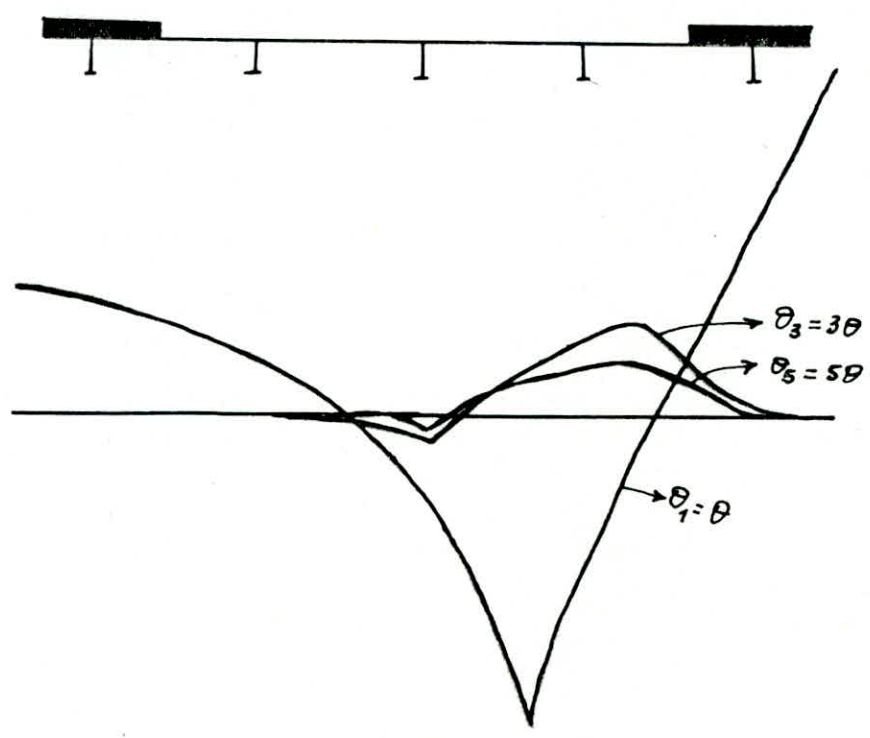


Tableau de valeurs des coefficients  $\mu_{\alpha m}$  ( $m=1,3,5$ ) les plus défavorables pour chaque surcharge.

		$\mu_{\alpha 1}$		$\mu_{\alpha 3}$		$\mu_{\alpha 5}$	
		$\mu_{\alpha 1}^+$	$\mu_{\alpha 1}^-$	$\mu_{\alpha 3}^+$	$\mu_{\alpha 3}^-$	$\mu_{\alpha 5}^+$	$\mu_{\alpha 5}^-$
Trottoir	1 trottoir chargé	—	-0,039	—	-0,0033	—	-0,0015
	2 trottoirs chargés	—	-0,039	—	-0,0016	—	-0,0007
A(l)	1 voie chargée	0,035	—	0,022	—	0,0005	—
	2 voies chargées	0,035	—	0,022	—	0,0005	—
Br	1 roue isolée	0,140	—	0,046	—	0,024	—
Bt	1 tandem	0,060	—	0,011	—	0,011	—
	2 tandems	0,041	—	0,003	—	0,005	—
Bc	1 convoi	0,060	—	0,008	—	—	-0,005
	2 convois	0,035	—	0,002	—	0,006	—
M <sub>C120</sub>		0,039	—	0,005	—	—	-0,003
CD		0,08	—	0,011	—	0,005	—

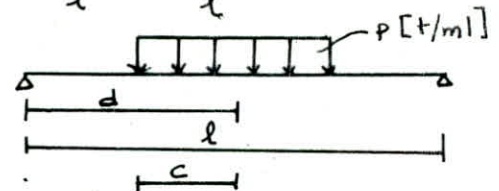
les relations utilisées pour le calcul des moments transversaux :

- pour une charge uniformément répartie (A(l) et surcharge répartie du trottoir)

$$M_y = \sum_{m=1}^5 \mu_{\alpha m} \frac{4P}{\pi m} b \sin \frac{m\pi x}{l} \quad \text{avec } x = \frac{l}{2}$$

- pour une charge uniformément répartie sur une distance  $l_1$  (M<sub>C120</sub> et C<sub>D</sub>)

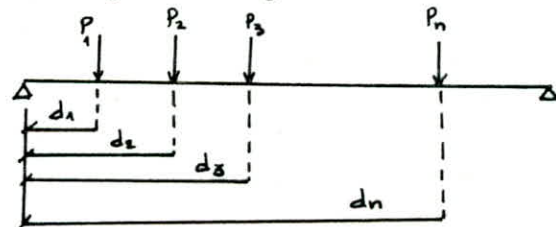
$$M_y = \frac{4P}{\pi} b \sum_{m=1}^5 \frac{1}{m} \mu_{\alpha m} \sin \frac{m\pi c}{l} \sin \frac{m\pi d}{l} \sin \frac{m\pi x}{l}$$



- pour un système de charges concentrées (cas de Br, Bt et Bc)

$$M_y = \frac{2}{l} b \sum_{m=1}^5 \sum_{i=1}^n P_i \mu_{\alpha m} \sin \frac{m\pi d_i}{l} \sin \frac{m\pi x}{l}$$

$$x = \frac{l}{2}$$



les résultats donnant la valeur des moments sont regroupés dans le tableau ci-après.

	Trottoir		A(l)		Bt		Bc		Br	M <sub>C120</sub>	C <sub>D</sub>
	1 Trott	2 trott	1 voie	2 voies	1 tandem	2 tandems	1 conv	2 conv			
$M_y^+$ tm/ml	—	—	0,82	1,64	0,84	1,11	1,22	1,42	0,87	1,52	1,72
$M_y^-$ tm/ml	-0,07	-0,144	—	—	-0,2	—	-0,33	—	-0,15	—	—



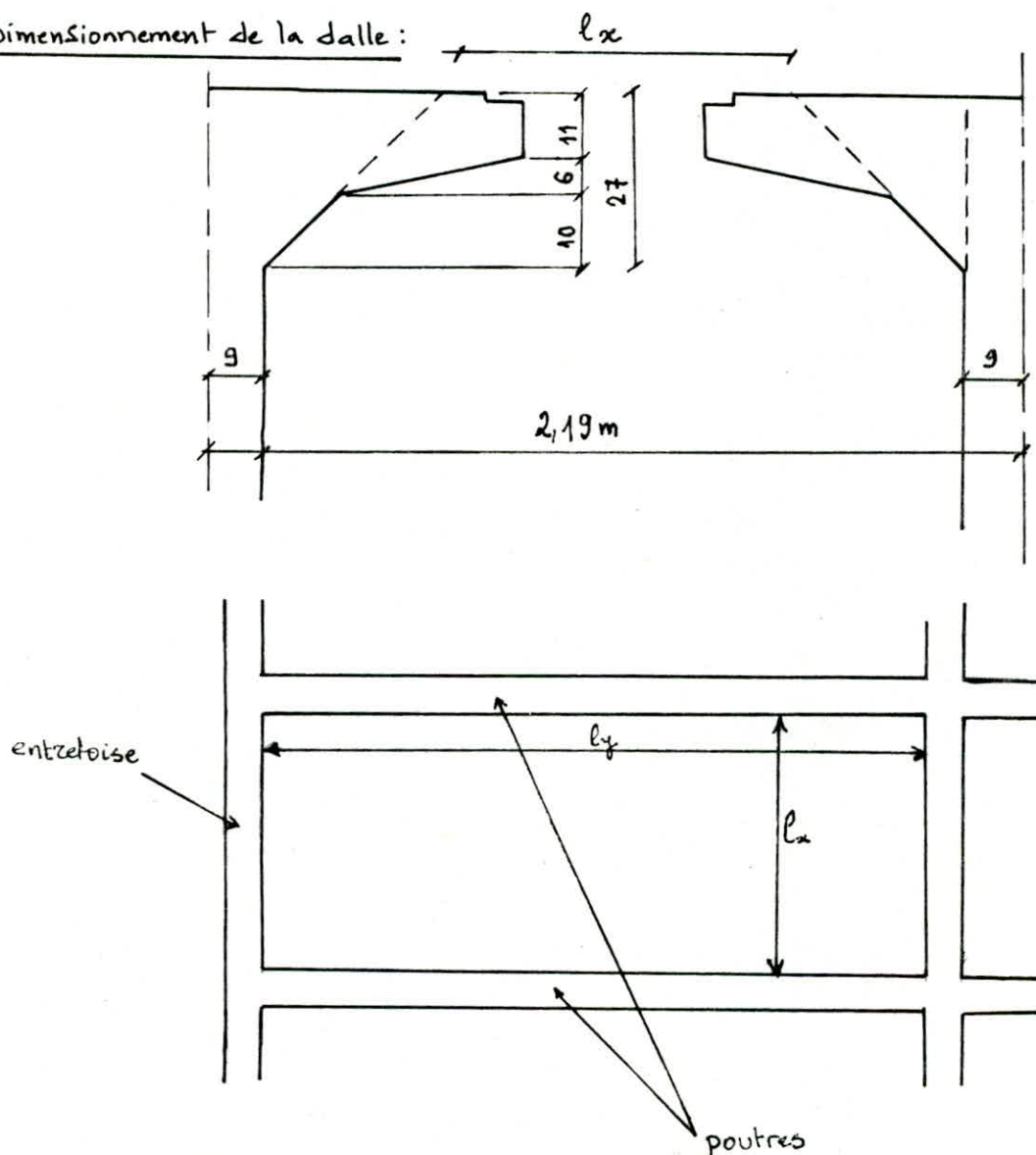
## ETUDE DU PLATELAGE

le platelage est constitué d'une dalle en béton armé en liaison avec les poutres, cette liaison est assurée par des aciers en attente sur les poutres.

la dalle sera coulé sur place et son rôle c'est de reprendre les efforts de flexion locale auxquels s'ajoutent les moments de flexion transversale.

La predalle sert de coffrage uniquement, elle sera calculée à part, telle qu'elle peut supporter une surcharge (poids de l'ouvrier) et son poids propre ainsi que le poids du revêtement et hourdis lui revenant.

I/ Dimensionnement de la dalle :



$$\left. \begin{aligned} l_x &= 219 - 2 \times (9 + 27) = 147 \text{ cm} \\ l_y &= 2450 - 40 = 2410 \text{ cm} \end{aligned} \right\} l_x, l_y \text{ sont les distances entre-vo du panneau.}$$

$$\beta = \frac{l_x}{l_y} = \frac{147}{2410} = 0,061 < 0,4 \quad \text{donc le panneau est très allongé et ne travaille que selon } l_x.$$

le panneau intermédiaire fera l'objet de notre calcul afin d'assurer la continuité.

## II/ CALCUL des efforts:

a/ détermination des charges permanentes:

$$\text{hourdis: } 2,5 \times 0,20 \times 1 = 0,5 \text{ t/ml}$$

$$\text{revêtement: } 2,2 \times 0,08 \times 1 = 0,176 \text{ t/ml}$$

$$\text{donc } q_G = 0,5 + 0,176 = 0,676 \text{ t/ml}$$

On prendra au milieu de  $l_y$  une bande de 1m de large suivant  $l_x$  ce qui revient à étudier une poutre de 1m de largeur, de hauteur  $h_0 = 20 \text{ cm}$  et de portée  $l_x = 1,47 \text{ m}$ .

b/ Moments flechissants:

$$\text{Suivant } l_x: M_{0x} = \frac{q_G \cdot l_x^2}{8} = \frac{676 \times (1,47)^2}{8} = 182,6 \text{ kgm}$$

$$\text{En travée: } M_{tx} = 0,8 M_{0x} = 0,8 \times 182,6 = 146,07 \text{ kgm}$$

$$\text{En appui: } M_{ax} = 0,5 M_{0x} = 0,5 \times 182,6 = 91,29 \text{ kgm}$$

Suivant  $l_y$ : On prend forfaitairement comme le préconise le règlement;

$$M_{0y} = \frac{1}{4} M_{0x} = \frac{1}{4} \times 182,6 = 45,65 \text{ kgm}$$

$$M_{ty} = \frac{1}{4} M_{tx} = \frac{1}{4} \times 146,07 = 36,52 \text{ kgm}$$

$$M_{ay} = M_{ax} = 91,29 \text{ kgm}$$

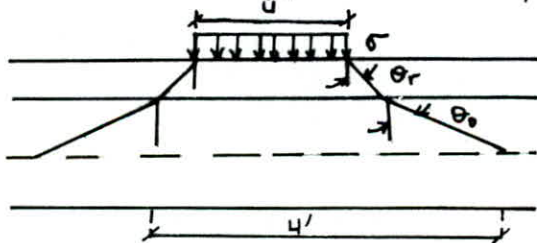
c/ Efforts tranchants:

$$\text{Au milieu de } l_x: T_y = \frac{1}{3} q_G l_x = \frac{1}{3} \times 676 \times 1,47 = 331,24 \text{ kg}$$

$$\text{Au milieu de } l_y: T_x = \frac{q_G \cdot l_x \cdot l_y}{2 l_y + l_x} = \frac{676 \cdot 24,1 \times 1,47}{2 \times 24,1 + 1,47} = 482,15 \text{ kg}$$

## III/ Sous surcharges:

calcul des efforts dus aux surcharges localisées: lorsque une surcharge localisée s'exerce sur la dalle, les contraintes dues à cette surcharge sont diffusées dans le plan moyen ( $\pi$ , situé à mi-hauteur de la dalle), il est de même pour la surface d'impact.



$e_r$  = épaisseur du revêtement

$h_0$  = épaisseur de la dalle

$u$  = largeur d'impact

$u'$  = largeur d'impact après diffusion

$\theta_r$  = angle de diffusion dans le revêtement

$\theta_0$  = angle de diffusion dans la dalle

dans notre cas  $\theta_0 = 45^\circ$  car on a une dalle en B.A.

Le revêtement est peu rigide (asphalte)  $\theta_r$  est tel que  $\tan \theta_r = 0,75$

les dimensions d'impact après diffusion sont:

$$u' = u + 1,5 e_r + h_0$$

$$v' = v + 1,5 e_r + h_0$$

$$u' // l_x$$

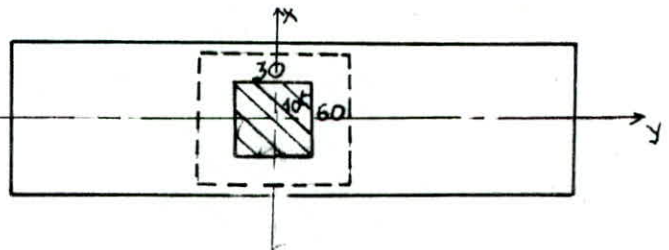
$$v' // l_y$$

a/ Roue isolée  $B_r$ :

$$u' = 60 + 1,5 \times 8 + 20 = 92 \text{ cm} = 0,92 \text{ m}$$

$$v' = 30 + 1,5 \times 8 + 20 = 62 \text{ cm} = 0,62 \text{ m}$$

$$f \approx 0$$



$$\left. \begin{array}{l} \frac{u'}{l_x} = 0,626 \\ \frac{v'}{l_y} = 0,427 \end{array} \right\} \begin{array}{l} M_1 = 12,6 \cdot 10^{-2} \\ M_2 = 6,62 \cdot 10^{-2} \end{array} \quad \left. \begin{array}{l} \\ \\ \end{array} \right\} \text{d'après les abaques de Pigeaud.}$$

Moments flechissants :  $M_x = (M_1 + \sqrt{M_2}) \cdot P = (12,6 \cdot 10^{-2} + 0,15 \cdot 6,62 \cdot 10^{-2}) \cdot 10 \cdot 10^3 = 1359 \text{ Kg/m}$   
 $M_y = (M_2 + \sqrt{M_1}) \cdot P = (6,62 \cdot 10^{-2} + 0,15 \cdot 12,6 \cdot 10^{-2}) \cdot 10 \cdot 10^3 = 851 \text{ Kg/m}$

efforts tranchants :

au milieu de  $u'$  :  $T_{u'} = \frac{P}{2u' + v'} = \frac{10 \cdot 10^3}{2 \cdot 0,92 + 0,62} = 4065,04 \text{ Kg/ml}$

au milieu de  $v'$  :  $T_{v'} = \frac{P}{3u'} = \frac{10 \cdot 10^3}{3 \cdot 0,92} = 3623,2 \text{ Kg/ml}$

les efforts tranchants au milieu de  $l_x$  et  $l_y$  s'obtiennent en majorant  $T_{u'}$  et  $T_{v'}$  de 25%

au milieu de  $l_y$  :  $T_x = 1,25 \cdot 4065,04 = 5081,3 \text{ Kg/ml}$

au milieu de  $l_x$  :  $T_y = 1,25 \cdot 3623,20 = 4528,9 \text{ Kg/ml}$

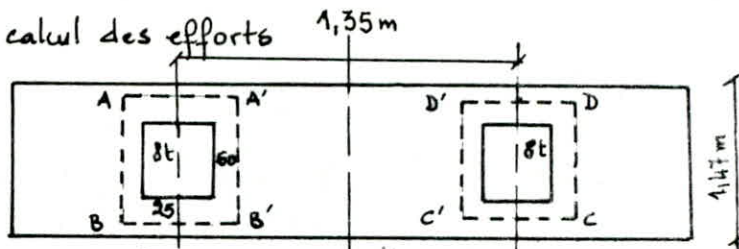
b/ sous la surcharge  $B_t$  :

On utilisera l'artifice de RESAL pour le calcul des efforts

$$u' = 60 + 1,5 \cdot 8 + 20 = 92 \text{ cm}$$

$$v' = 25 + 1,5 \cdot 8 + 20 = 57 \text{ cm}$$

comme  $v' < 135 \text{ cm} \Rightarrow$  il n'y a pas d'interférence suivant  $l_y$ .



la pression de répartition sur le plan moyen ( $\pi$ ) de la dalle est :

$$\sigma = \frac{P}{u' \cdot v'} = \frac{8}{0,92 \times 0,57} = 15,25 \text{ t/m}^2$$

Surface ABCD

$$u'_1 = 92 \text{ cm}$$

$$v'_1 = 135 + 57 = 192 \text{ cm}$$

$$f=0 \Rightarrow \begin{cases} u'_1/l_x = 0,62 & M_1 = 0,095 \\ v'_1/l_x = 1,30 & M_2 = 0,017 \end{cases}$$

la charge fictive  $P_1 = \sigma \cdot u'_1 \cdot v'_1 = 15,25 \times 0,92 \times 1,92 = 26,94 \text{ t}$

$$M_{x_1} = (M_1 + \sqrt{M_2}) P_1 = (0,095 + 0,15 \cdot 0,017) \times 26,94 = 2,630 \text{ tm/ml}$$

$$M_{y_1} = (M_2 + \sqrt{M_1}) P_1 = (0,017 + 0,15 \cdot 0,095) \times 26,94 = 0,855 \text{ tm/ml}$$

Surface A'B'C'D'

$$u'_2 = 92 \text{ cm}$$

$$v'_2 = 135 - 57 = 78 \text{ cm}$$

$$f=0 \Rightarrow \begin{cases} u'_2/l_x = 0,626 & M_1 = 0,12 \\ v'_2/l_x = 0,531 & M_2 = 0,059 \end{cases} \quad \text{avec } P_2 = 10,94 \text{ t}$$

$$M_{x_2} = 1,40 \text{ tm/ml}, \quad M_{y_2} = 0,835 \text{ tm/ml}$$

les moments flechissants dus à la surcharge  $B_t$  sont alors :

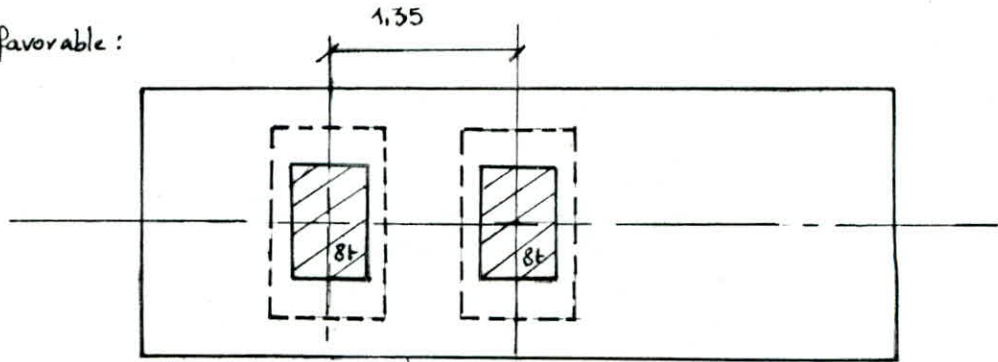
$$\begin{array}{l} M_x = M_{x_1} - M_{x_2} \\ M_y = M_{y_1} - M_{y_2} \end{array} \Rightarrow \begin{cases} M_x = 1,22 \text{ tm/ml} \\ M_y = 0,020 \text{ tm/ml} \end{cases}$$

Effort tranchant :

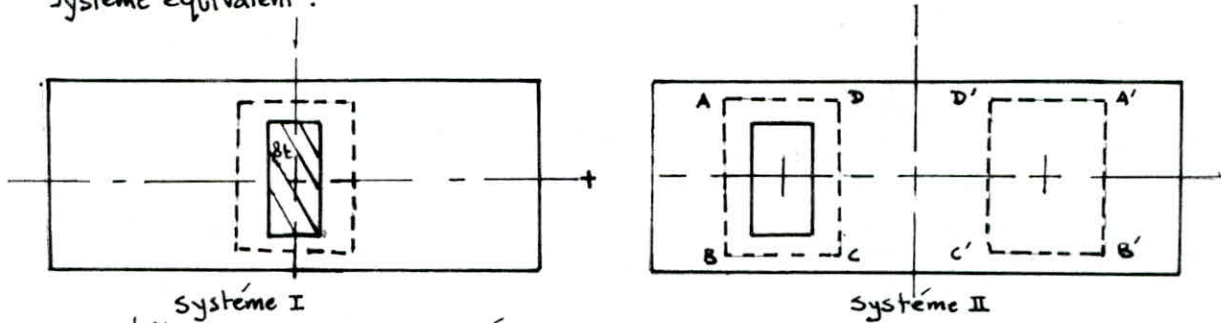
Disposition défavorable :



Disposition défavorable :



Système équivalent :



Système I

Système II

pour l'effort tranchant du système I on trouve :

$$T_{u_1}' = 3,32 \text{ t/ml} ; T_{v_1}' = 2,90 \text{ t/ml}$$

pour le système II :

Surface AA'B'B

$$u_2' = 0,92 \text{ m}$$

$$v_2' = 1,35 \times 2 + 0,57 = 3,27 \text{ m}$$

$$v_2' > u_2' \Rightarrow T_{u_2}' = \frac{P_2}{3v_2'} = \frac{45,87}{3 \times 3,27} = 4,677 \text{ t/ml} ; T_{v_2}' = \frac{P_2}{2v_2' + u_2'} = \frac{45,87}{2 \times 3,27 + 0,92} = 6,15 \text{ t/ml}$$

$$\text{donc comme } P_2 = \sigma u_2' v_2' = 15,25 \times 0,92 \times 3,27 = 45,87 \text{ t/ml}$$

Surface DD'C'C

$$u_3' = 0,92 \text{ m} ; v_3' = 2 \times 1,35 - 0,57 = 2,13 \text{ m}$$

$$P_3 = \sigma u_3' v_3' = 15,25 \times 0,92 \times 2,13 = 29,88 \text{ t}$$

$$u_3' < v_3' \Rightarrow T_{u_3}' = \frac{P_3}{3v_3'} = \frac{29,88}{3 \times 2,13} = 4,67 \text{ t/ml} ; T_{v_3}' = \frac{P_3}{2v_3' + u_3'} = \frac{29,88}{2 \times 2,13 + 0,92} = 5,774 \text{ t/ml}$$

donc pour le système II on aura :  $T_{u_2}'' = \frac{1}{2} (T_{u_2}' - T_{u_3}') \Rightarrow T_{u_2}'' = 0$ 

$$T_{v_2}'' = \frac{1}{2} (T_{v_2}' - T_{v_3}') \Rightarrow T_{v_2}'' = 0,191 \text{ t/ml}$$

Pour les systèmes I + II on aura :

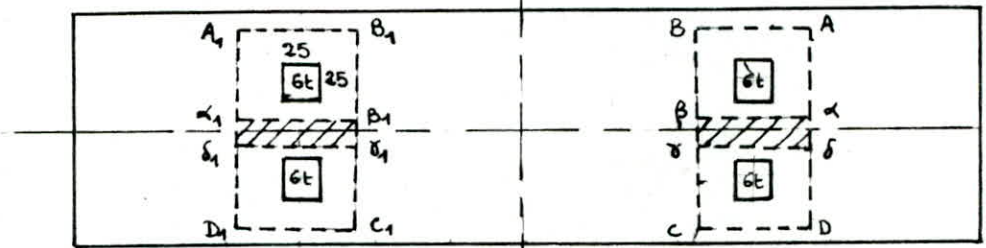
$$T_{u_1} = T_{u_1}' + T_{u_2}'' = 3,32 \text{ t/ml} \quad \text{et} \quad T_{v_1} = T_{v_1}' + T_{v_2}'' = 3,08 \text{ t/ml}$$

les efforts engendrés au milieu de  $l_x$  et de  $l_y$  on aura une majoration de 25%on trouve :  $T_x = 1,25 T_{u_1} = 4,15 \text{ t/ml}$ 

$$T_y = 1,25 T_{v_1} = 3,85 \text{ t/ml}$$

calcul des efforts dans le cas du système Bc :

a) Disposition défavorable pour le calcul du moment flechissant :



$$U' = 25 + 1,5 \times 8 + 20 = 57 \text{ cm}$$

$$V' = 25 + 1,5 \times 8 + 20 = 57 \text{ cm}$$

Remarque :  $U'/2 = 28,5 \text{ cm} > 25 \text{ cm}$  existence d'une interference suivant  $l_x$  sur une distance  $\Delta = 7 \text{ cm}$ , tandis que suivant  $l_y$  cette interference est absente car  $V'/2 < 75 \text{ cm}$ .

En utilisant l'artifice de RESAL on aura :

Surface  $A_1 A D D_1$

$$U' = 107 \text{ cm}$$

$$V' = 207 \text{ cm}$$

$$\Rightarrow \begin{aligned} M_{x_1} &= 3,64 \text{ tm/ml} \\ M_{y_1} &= 1,09 \text{ tm/ml} \end{aligned}$$

Surface  $B_1 C_1 B C$

$$U' = 107 \text{ cm}$$

$$V' = 93 \text{ cm}$$

$$\Rightarrow \begin{aligned} M_{x_2} &= 2,15 \text{ tm/ml} \\ M_{y_2} &= 1,16 \text{ tm/ml} \end{aligned}$$

Surface  $\alpha_1 \delta \delta_1$

$$U' = 7 \text{ cm}$$

$$V' = 207 \text{ cm}$$

$$\Rightarrow \begin{aligned} M_{x_3} &= 0,313 \text{ tm/ml} \\ M_{y_3} &= 0,097 \text{ tm/ml} \end{aligned}$$

Surface  $\beta_1 \gamma_1 \beta \gamma$

$$U' = 7 \text{ cm}$$

$$V' = 93 \text{ cm}$$

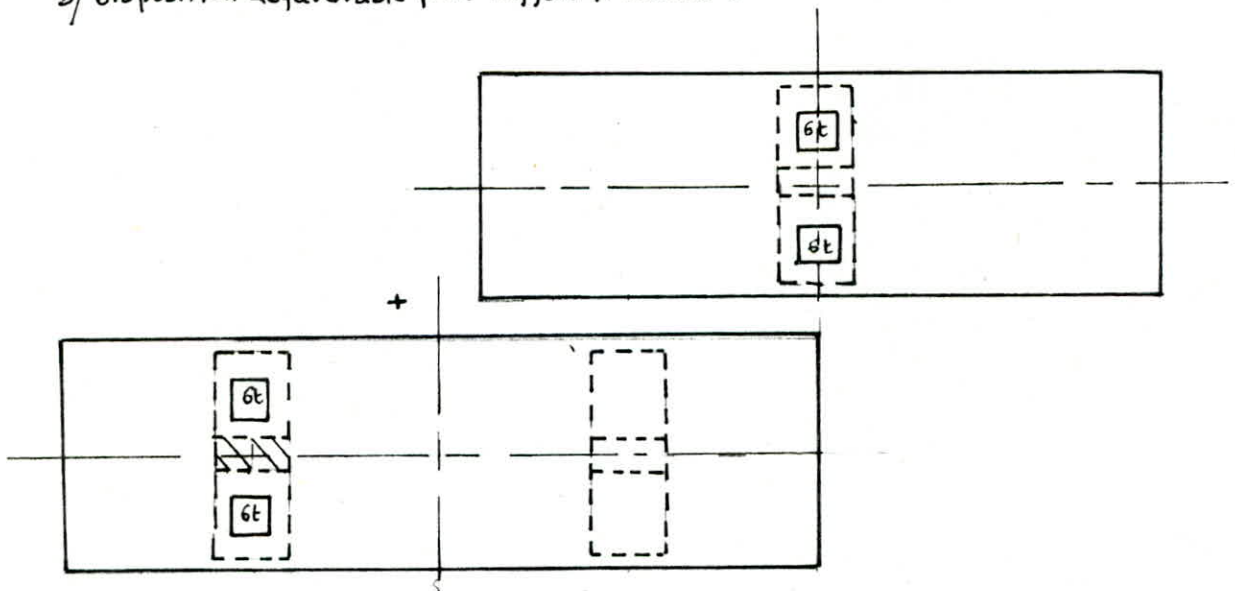
$$\Rightarrow \begin{aligned} M_{x_4} &= 0,265 \text{ tm/ml} \\ M_{y_4} &= 0,114 \text{ tm/ml} \end{aligned}$$

les moments globaux sont :

$$M_x = M_{x_1} - M_{x_2} + M_{x_3} - M_{x_4} = 3,64 - 2,15 + 0,313 - 0,265 = 1,54 \text{ tm/ml}$$

$$M_y = M_{y_1} - M_{y_2} + M_{y_3} - M_{y_4} = 1,09 - 1,16 + 0,097 - 0,114 = -0,086 \text{ tm/ml}$$

b/ Disposition défavorable pour l'effort tranchant :



C'est le même procédé de calcul que la charge  $B_t$ , seulement ici il y a le phénomène d'interférence en plus.

les résultats sont :  $T_u' = 4,58 \text{ t/ml}$  et  $T_v' = 4,58 \text{ t/ml} \Rightarrow T_x = 5,73 \text{ t/ml}$  et  $T_y = 5,73 \text{ t/ml}$

Surcharge militaire  $M_{e120}$  :

$l_x = 1,47 \text{ m}$ , dans cette largeur on ne peut placer qu'une seule chenille de 55 t.

$u' = 100 + 1,5 \times 8 + 20 = 132 \text{ cm}$

$v' = 610 + 1,5 \times 8 + 20 = 642 \text{ cm}$

$\Rightarrow \sigma' = \frac{55}{1,32 \times 6,42} = 6,50 \text{ t/m}^2$

donc  $p' = \sigma' \times u' \times v' = 6,50 \times 1,32 \times 6,42 = 55 \text{ t}$

moments flechissants :

$f = 0 \Rightarrow \frac{u'}{l_x} = 0,898 ; \frac{v'}{l_x} = 4,36 \Rightarrow M_1 = 0,0011, M_2 = 0,044$  donc  $M_x = 2,43 ; M_y = 0,42$

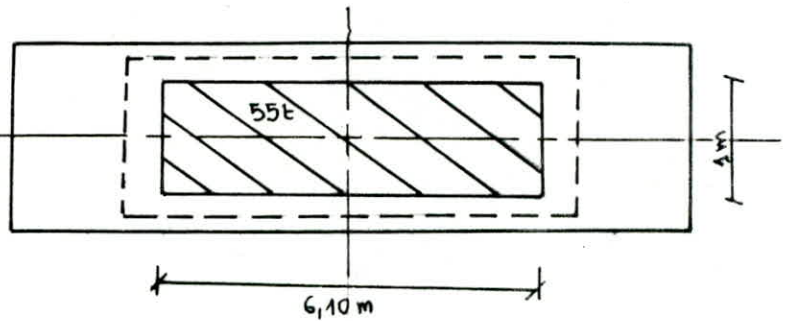
effort tranchant :

$u' < v' \Rightarrow T_u' = \frac{P'}{3v'} = 2,29 \text{ t/ml}$

$T_v' = \frac{P'}{2v' + u'} = 3,10 \text{ t/ml}$

donc on aura :  $T_x = 2,87 \text{ t/ml}$

$T_y = 3,87 \text{ t/ml}$



Surcharge militaire  $M_{e120}$  :

$u' = 400 + 1,5 \times 8 + 20 = 432 \text{ cm}$

$v' = 15 + 1,5 \times 8 + 20 = 47 \text{ cm}$

$\Rightarrow \sigma = \frac{33}{4,32 \times 0,47} = 16,25 \text{ t/m}^2$

surface AA'D'D

$u'_1 = 1,47 \text{ m}$

$v'_1 = 2,27 \text{ m}$

$\Rightarrow M_{x_1} = 3,65 \text{ tm/ml} ; M_{y_1} = 1,00 \text{ tm/ml}$

surface BB'CC'

$u'_2 = 1,47 \text{ m}$

$v'_2 = 1,35 \text{ m}$

$\Rightarrow M_{x_2} = 2,62 \text{ tm/ml} ; M_{y_2} = 1,13 \text{ tm/ml}$

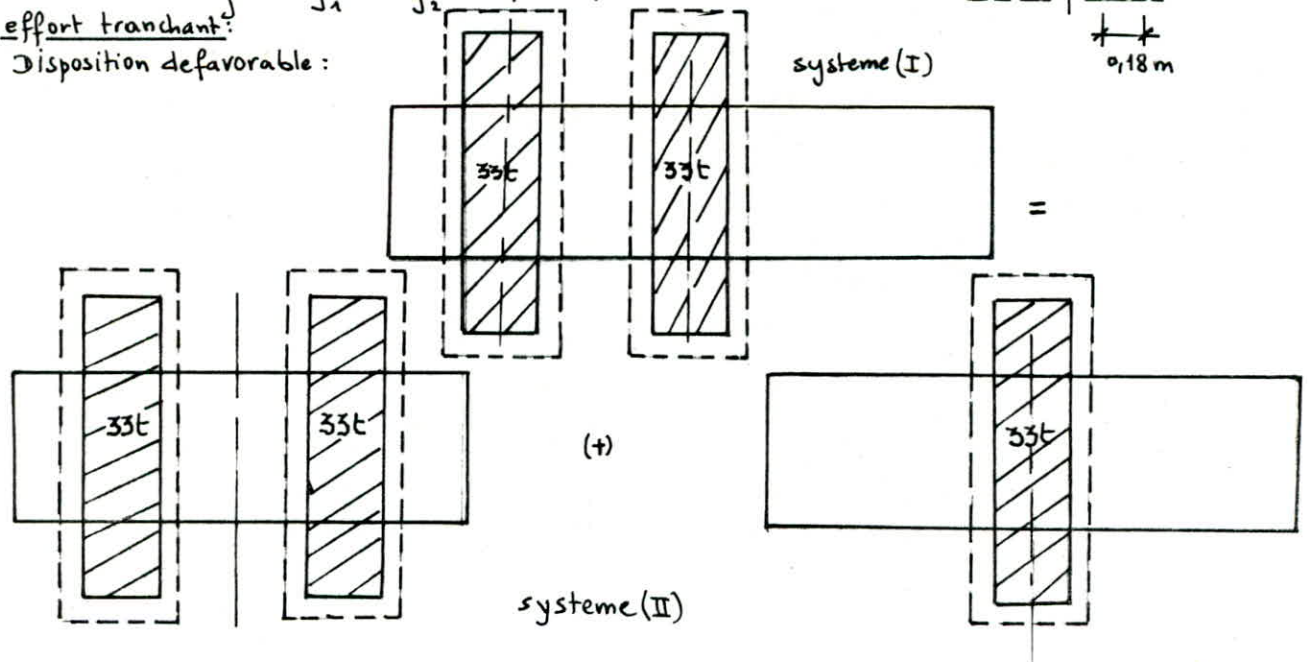
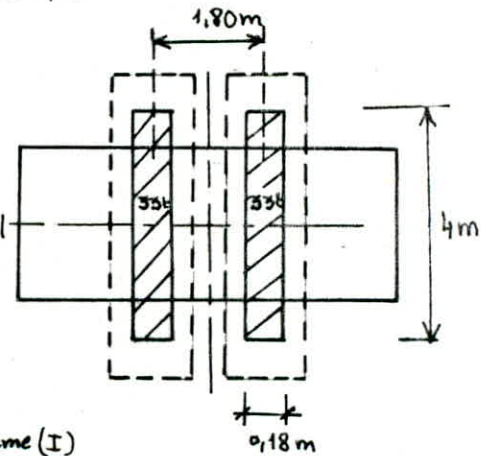
donc les moments globaux seront :

$M_x = M_{x_1} - M_{x_2} = 1,025 \text{ t/ml}$

$M_y = M_{y_1} - M_{y_2} = -0,132 \text{ t/ml}$

effort tranchant :

Disposition defavorable :





effort tranchant système I :

$$\left. \begin{aligned} u' &= 400 + 1,5 \times 8 + 20 = 432 \text{ cm} \\ v' &= 15 + 1,5 \times 8 + 20 = 47 \text{ cm} \end{aligned} \right\} \Rightarrow \sigma = 16,253 \text{ t/m}^2$$

donc  $p = \sigma \cdot u \cdot v = 16,253 \times 1,47 \times 0,47 = 11,229 \text{ t}$

Comme  $u > v \Rightarrow T_{u_1} = \frac{P}{2u+v} = 3,29 \text{ t}$

$$T_{v_1} = \frac{P}{3u} = 2,54 \text{ t}$$

$$\Rightarrow T_{x_1} = 4,11 \text{ t/ml} \text{ et } T_{y_1} = 3,18 \text{ t/ml}$$

Système 2 :

surface ABCD  $\Rightarrow T'_{x_1} = 9,955 \text{ t/ml} \quad T'_{y_1} = 12,648 \text{ t/ml}$

surface A<sub>1</sub>B<sub>1</sub>C<sub>1</sub>D<sub>1</sub>  $\Rightarrow T''_{x_2} = 9,955 \text{ t/ml} \quad T''_{y_2} = 12,085 \text{ t/ml}$

donc  $T_x = \frac{T'_{x_1} - T''_{x_2}}{2} = \frac{9,955 - 9,955}{2} = 0$   $T_y = \frac{12,648 - 12,085}{2} = 0,281 \text{ t/ml}$

on aboutit à :

$$T_x = T_{x_1} + T_x = 4,11 + 0 = 4,11 \text{ t/ml} \quad ; \quad T_y = T_{y_1} + T_y = 3,18 + 0,281 = 3,46 \text{ t/ml}$$

Convoi exceptionnel D :

le même procédé de calcul que la surcharge  $M_{c120}$  qui se reproduira et les calculs donnent :

$$u' = 3,52 \text{ m}$$

$$v' = 18,92 \text{ m} \quad \text{et } \beta = 0 \Rightarrow M_1 = 0,040 \quad \text{et } \sigma = 3,604 \text{ t/m}^2 \quad \text{et } p = 100,236 \text{ t}$$

on trouve :

$$M_2 = 0,0009$$

$$M_x = 4,023 \text{ tm/ml} \quad \text{et } M_y = 0,842 \text{ tm/ml}$$

effort tranchant :

$$v' > u' \Rightarrow T_u = \frac{P}{3v'} = \frac{100,236}{3 \times 18,92} = 1,766 \text{ t/ml} \quad \text{et } T_v = \frac{P}{2v'+u'} = \frac{100,36}{2 \times 18,92 + 1,47} = 2,55 \text{ t/ml}$$

donc on aura au milieu de  $l_x$  et  $l_y$  :  $T_x = 2,207 \text{ t/ml}$  et  $T_y = 3,188 \text{ t/ml}$ .

Surcharge A(l) :

c'est une surcharge uniformément répartie, le panneau travaille suivant sa petite portée donc le panneau c'est équivalent à une poutre appuyée simplement, le procédé de détermination des efforts sera le même que pour la charge permanente.

$$q_G = 1,2163 \text{ t/m}^2 \Rightarrow M_x = \frac{q_G l_x^2}{8} = \frac{1,2163 \times 1,47^2}{8} = 0,329 \text{ tm/ml}$$

$$M_y = \frac{M_x}{4} = 0,082 \text{ tm/ml}$$

effort tranchant :

$$T_x = \frac{q_G l_x \cdot l_y}{2 \times l_y + l_x} = \frac{1,2163 \times 1,47 \times 24,10}{2 \times 24,10 + 1,47} = 0,868 \text{ t/ml} \quad ; \quad T_y = q_G \frac{l_x}{3} = \frac{1,2163 \times 1,47}{3}$$

$$\Rightarrow T_y = 0,596 \text{ t/ml}$$

Coefficient de majoration dynamique :

Ce coefficient sert à majorer les systèmes B<sub>c</sub>, B<sub>r</sub>, B<sub>f</sub>, et les surcharges militaires mais non les convois exceptionnels.

$$\delta = 1 + \frac{0,4}{1 + 0,2L} + \frac{0,6}{1 + 4 \frac{P}{S}}$$

$\delta$  = coefficient de majoration pour les dalles.

$l_r$  = largeur routable

$L$  = portée des poutres principales

$l$  = entre-axe des poutres principales de rive.

$$l_1 = \max \{ l_r, l \}$$

On aura :  $l_r = 7\text{m}$ ,  $L = 24,50\text{m}$ ;  $l = 8,76\text{m}$ ,  $l_1 = 8,76\text{m}$

si  $l_1 < L \Rightarrow L = l_1$

$P$  = poids total de l'hourdis à l'exception des p.p et des entretoises, sur la largeur  $l_1 = 8,76\text{m}$ .

garde-corps . . . . . 4,38 t

revêtement . . . . . 10,79 t

hourdis . . . . . 44,23 t

trottoir . . . . . 21,909 t

predalle . . . . . 5,74 t

donc on aura comme poids total :  $P = 87,047\text{t}$

$S$  = surcharge totale que l'on peut disposer sur la distance  $L = 8,76\text{m}$

Cas de  $B_c$  : ( $b_c = 1,1$ ) pour 2 convois  $\Rightarrow S = 2 \times 1,1 \times 30 = 66\text{t}$

Cas de  $B_f$  : on peut évidemment disposer de 2 convois : ( $b_f = 1$ )  $\Rightarrow S = 1 \times 2 \times 32 = 64\text{t}$

Les valeurs de  $\delta$  sont regroupées dans le tableau ci-dessous.

Surcharges	$B_r$	$B_f$	$B_c$	$M_{c120}$	$M_{e120}$
$S$ (t)	10	64	66	110	66
$\delta$	1,162	1,239	1,241	1,289	1,241

le panneau étant semi-encasté et comme  $\beta = \frac{l_x}{l_y} < 0,4$  nous prenons :

suivant  $l_x$  :

$$M_{tx} = 0,8 M_x \quad ; \quad M_{ax} = 0,5 M_x \quad \text{Sous les charges uniformément réparties}$$

$$M_{tx} = 0,75 M_x \quad ; \quad M_{ax} = 0,5 M_x \quad \text{Sous les charges concentrées.}$$

suivant  $l_y$  :

$$M_{ty} = \frac{1}{4} M_{tx} \quad ; \quad M_{ay} = M_{ax}$$

les combinaisons des efforts se fera selon les 2 critères ci-dessous.

surcharge civile :

$$G + 1,2S \quad \text{avec } G = \text{poids permanent}, S = \text{surcharge}$$

surcharge militaire ou exceptionnelle :

$$G + S$$

Une fois ces combinaisons faites on déduit les plus défavorables pour le moment et l'effort tranchant, ensuite suivant l'axe  $x-x$  il existe des moments transversaux déterminés dans le chapitre précédent et cela est dû à ces surcharges donc pour cela en plus de la flexion locale on ajoutera l'effet de la flexion transversale.

Les résultats sont regroupés dans le tableau ci-après en ayant tenu compte du coefficient de majoration dynamique.

Tableau de valeurs des moments et efforts tranchants en appui et en travée :

	G	A(l)	B <sub>c</sub>	B <sub>t</sub>	B <sub>r</sub>	M <sub>c120</sub>	M <sub>e120</sub>	C <sub>D</sub>
M <sub>t<sub>x</sub></sub> (tm/ml)	0,146	0,263	1,433	1,135	1,185	2,509	0,993	3,218
M <sub>ax</sub> (tm/ml)	0,091	0,956	0,956	0,756	0,790	1,568	0,620	2,012
M <sub>t<sub>y</sub></sub> (tm/ml)	0,0365	0,0660	0,358	0,284	0,296	0,627	0,248	0,805
M <sub>ay</sub> (tm/ml)	0,091	0,165	0,956	0,756	0,790	1,568	0,620	2,012
T <sub>x</sub> (t/ml)	0,482	0,868	7,114	5,142	5,904	4,601	4,97	2,207
T <sub>y</sub> (t/ml)	0,331	0,596	7,103	4,77	5,263	6,258	4,19	3,188

Tableau recapitulatif des combinaisons : G + S et G + 1,2 S .

moments	Combinaison defavorable G + C <sub>D</sub>
M <sub>t<sub>x</sub></sub> [tm/ml]	3,364
M <sub>ax</sub> [tm/ml]	2,103
M <sub>t<sub>y</sub></sub> [tm/ml]	0,841
M <sub>ay</sub> [tm/ml]	2,103

Suivant l<sub>x</sub> :

flexion locale : M<sub>t<sub>x</sub></sub> = 3,364 tm/ml

M<sub>ax</sub> = 2,103 tm/ml

flexion transversale : M<sub>t<sub>x</sub></sub> = 1,72 tm/ml ..

et M<sup>T</sup> = 5,084 tm/ml

Suivant l<sub>y</sub> :

flexion locale uniquement : M<sub>t<sub>y</sub></sub> = 0,841 tm/ml et M<sub>ay</sub> = 2,103 tm/ml

Effort tranchant :

la combinaison la plus defavorable est celle occasionnée par B<sub>c</sub> :

$$G + 1,2 S = 0,482 + 1,2 \times 7,114 = 9 \text{ t/ml} \Rightarrow T_x = 9 \text{ t/ml}$$

$$\text{et } T_y = 8,85 \text{ t/ml}$$

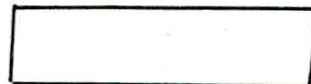
Ferraillage :

Suivant l<sub>x</sub> : M<sub>t<sub>x</sub></sub><sup>T</sup> = 6,614 tm/ml et e = 1cm (enrobage) ⇒ h<sub>x</sub> = 18,2cm ; h<sub>y</sub> = 16,6cm

la methode de charon nous donne :

$$\mu = \frac{15 M}{\sigma_s \times b \times h^2} = \frac{15 \times 5,084 \times 10^5}{2800 \times 100 \times (18,2)^2} = 0,082 \Rightarrow k = 28,1 ; \epsilon = 0,8840$$

$$A = \frac{5,084 \times 10^5}{2800 \times 0,8840 \times 18,2} = 11,28 \text{ cm}^2 \text{ on prend } 6T16 \text{ equivalent à } 12,06 \text{ cm}^2$$





Condition de non fissuration:

$$\sigma_1 = \frac{K n \tilde{\omega}_f}{\phi \cdot 1 + 10 \tilde{\omega}_f} ; \sigma_2 = 2,4 \sqrt{k \frac{n}{\phi} \bar{\sigma}_b} \quad \text{avec } K=10^6 \text{ (fissuration prejudiciable)}$$

$$\omega_f = \frac{A}{\phi_f} = \frac{12,06}{100 \times 1,8 \times 2} = 0,033 \Rightarrow \sigma_1 = 2471,9 \text{ kg/cm}^2 \text{ et } \sigma_2 = 2078,46 \text{ kg/cm}^2$$

$\eta = 1,6 ; \bar{\sigma}_b = 7,5 \text{ bars}$

on recalcul le ferrailage avec  $\bar{\sigma}_a = 2471,9 \text{ kg/cm}^2$  on trouve  $A = 12,78 \text{ cm}^2$   
donc on prend une autre section pour respecter la fissuration on prend :  
7T16  $\Rightarrow A = 14,07 \text{ cm}^2$ , l'espacement des armatures est de :  $t = 14 \text{ cm}$

Armatures superieures:

$$\mu = \frac{15 M}{\bar{\sigma}_a \cdot b \cdot h^2} = \frac{15 \times 2,103}{2800 \times 100 \times (18,2)^2} = 0,034 \Rightarrow K = 48,2 ; \epsilon = 0,9209$$

donc  $A = \frac{M}{\bar{\sigma}_a \cdot \epsilon \cdot h} = \frac{2,103 \times 10^5}{2800 \times 0,9209 \times 18,2} = 4,48 \text{ cm}^2/\text{m} \Rightarrow 5T12 (A = 5,65 \text{ cm}^2)$

la condition de fissuration nous donne :  $\sigma_2 = 2400 \text{ kg/cm}^2 ; \sigma_1 = 1995,46 \text{ kg/cm}^2$   
 $\Rightarrow \bar{\sigma}_a = 2400 \text{ kg/cm}^2 \Rightarrow A = 5,22 \text{ cm}^2 < A = 5,65 \text{ cm}^2$ , le Ferrailage ainsi calcule' est valable.

Suivant  $l_y$ :

Armatures inferieures: ( $M_{ly} = 0,841 \text{ tm/ml}$ )

$\mu = 0,0163 \Rightarrow K = 74 ; \epsilon = 0,9438 \Rightarrow A = 1,91 \text{ cm}^2$ ; une section faible, le reglement preconise pour cela de prendre  $A_{ly} = A_{lx}/4$  on trouve  $A_{ly} = 2,51 \text{ cm}^2/\text{ml}$   
Soit 4T12/ml  $\Rightarrow$  avec un espacement de 33 cm.

Armatures superieures:

on prend  $A_{ly} = A_{lx} = 5T12/\text{ml}$

Verifications:

Verification au cisaillement:  $\tau_b = \frac{T}{b \cdot z} \leq \bar{\tau}_b = 1,15 \bar{\sigma}_b = 8,8 \text{ kg/cm}^2$

Suivant  $l_x \Rightarrow T_x = 9,018 \text{ t/ml} ; b = 100 \text{ cm} ; z = \frac{7}{8} \times 18,2 = 15,925 \text{ cm} \Rightarrow \tau_b = 5,66 \text{ kg/cm}^2$   
donc  $\tau_b < \bar{\tau}_b$ .

Suivant  $l_y$ :  $T_y = 8,854 \text{ t/ml} \Rightarrow \tau_b = \frac{T_y}{b \cdot \frac{7}{8} h_y} = \frac{8,854 \times 10^5}{100 \times \frac{7}{8} \times 16,6} = 6,095 \text{ kg/cm}^2 < 8,8 \text{ kg/cm}^2$   
 $\tau_b < \bar{\tau}_b$  ainsi le cisaillement est verifie

Verification au poinçonnement:

pour les charges concentrees :  $\frac{1,5 P}{P_c \cdot h_t} \leq 1,2 \bar{\sigma}_b = 9,18 \text{ kg/cm}^2$

$P$  = valeur de la charge localisee.

$h_t$  = epaisseur de la dalle.

$P_c$  = perimetre du contour de diffusion sur le plan moyen de la dalle.

Cas de la charge  $B_r$ :

$$P_c = 2(u' + v') = 2(92 + 62) = 308 \text{ cm} ; P = 10 \text{ t} ; h_t = 20 \text{ cm} \Rightarrow \frac{1,5 P}{P_c \cdot h_t} = \frac{1,5 \times 10 \times 10^3}{308 \times 20} = 2,435 \text{ kg/cm}^2 < 9,18 \text{ kg/cm}^2$$

Cas de  $B_t$ :

$$P_c = 2(u' + v') = 2(92 + 52) = 298 \text{ cm}$$

$$p = 8 \text{ t} ; h_t = 20 \text{ cm} \Rightarrow \frac{1,5P}{P_c h_t} = \frac{1,5 \times 8 \times 10^3}{298 \times 20} = 2,015 \text{ Kg/cm}^2 < 9,18 \text{ Kg/cm}^2$$

Cas de  $B_c$ :

$$P_c = 2(u' + v') = 2(57 + 57) = 228 \text{ cm}$$

$$p = 6 \text{ t} \text{ et } h_t = 20 \text{ cm} ; \text{ on a } \frac{1,5P}{P_c h_t} = \frac{1,5 \times 6 \times 10^3}{228 \times 20} = 1,97 \text{ Kg/cm}^2 < 9,18 \text{ Kg/cm}^2$$

Condition de Non-Fragilité:

La section d'armature inférieure suivant  $l_x$ , c'est à dire les armatures tendues doit être supérieure ou égale à  $A = \max \{ A_0, \min \{ A_1, A_2 \} \}$  avec

$A_0$  = Section d'armatures en travée qui résiste aux sollicitations.

$A_1$  = Section d'armatures susceptible de résister aux sollicitations précédentes majorées de 20%.

$$A_1 = 1,2 A_0$$

$$A_2 = 0,69 \times \frac{\bar{\sigma}_b}{\sigma_{cm}} b h \frac{2-f}{2} \text{ } \left. \vphantom{A_2} \right\} \text{ suivant } l_x$$

$$A_2 = 0,69 \times \frac{\bar{\sigma}_b}{\sigma_{cm}} b h \frac{1+f}{4} \text{ } \left. \vphantom{A_2} \right\} \text{ suivant } l_y$$

$$A_0 = 1,20 \times 14,01 = 16,81 \text{ cm}^2$$

$$A_2 = 2,218$$

$$\left. \vphantom{A_0} \right\} \text{ suivant } l_x \Rightarrow \max \{ A_0, \min \{ A_1, A_2 \} \} = 16,81 \text{ cm}^2$$

Suivant  $l_y$ :

$$A_0 = 5,65 \text{ cm}^2 \Rightarrow A_1 = 1,2 A_0 = 1,20 \times 5,65 = 6,78 \text{ cm}^2$$

$$A_2 = 0,510 \text{ cm}^2$$

$$A = \max \{ A_0, \min \{ A_1, A_2 \} \} = 5,65 \text{ cm}^2$$

donc on conclut qu'on est en sécurité vis à vis de la rupture par fragilité.

Vérification à l'adhérence:

$$\bar{\tau}_d = 2,5 \Psi_d \bar{\sigma}_b = 2,5 \times 1,5 \times 7,5 = 28,12 \text{ Kg/cm}^2$$

Suivant  $l_x$ :

$$\tau_d = \frac{T_x}{n P_x \bar{\sigma}_x}$$

$$; T_x = 9 \text{ t/ml} ; n = 5 ; P_x = \pi \phi = \pi \times 1,6 = 5 \text{ cm}$$

$$\bar{\sigma}_x = \frac{7}{8} h_x = \frac{7}{8} \times 18,2 = 15,925 \text{ cm}$$

$$\tau_d = \frac{9 \times 10^3}{5 \times 5 \times 15,92} = 22,654 \text{ Kg/cm}^2$$

Suivant  $l_y$ :

$$\tau_d = \frac{T_y}{n P_y \bar{\sigma}_y}$$

$$\Rightarrow \tau_d = 26,8 \text{ Kg/cm}^2 < \bar{\tau}_d = 28,12 \text{ Kg/cm}^2.$$

ETUDE DE la prédalle:

Rôle de la prédalle: son rôle est uniquement un rôle constructif, ainsi qu'a une commodité de circulation des ouvriers lors des Travaux de réalisation du platelage. Elle sert aussi à coffrer la partie vide entre les poutres (coffrage perdu). Son calcul se fera en considérant son poids propre ainsi qu'une surcharge de  $150 \text{ kg/m}^2$  (surcharge des ouvriers) et le poids permanent lui revenant.

charges et surcharge de la prédalle:charges:

- Revêtement: . . . . .  $2,2 \times 0,08 = 0,176 \text{ t/m}^2$
- poids du Hourdis. . . . .  $2,5 \times 0,2 = 0,5 \text{ t/m}^2$
- poids propre de la prédalle . . . . .  $2,5 \times 0,05 = 0,125 \text{ t/m}^2$

surcharge des ouvriers:

$$G = 0,801 \text{ t/m}^2$$

$$p = 0,150 \text{ t/m}^2$$

$f = 0$ ,

La prédalle est simplement appuyée sur deux côtés seulement, donc elle travaille uniquement dans le sens de la largeur.

La prédalle sera assimilée à une poutre appuyée simplement de largeur  $l_x = 1,19 \text{ m}$ .

Sollicitation du 1<sup>er</sup> genre:  $G + 1,2p = 0,801 + 1,2 \times 0,150 = 0,981 \text{ t/m}^2$

$$\text{donc } q = 0,981 \times 1 = 0,981 \text{ t/m}$$

et le moment maximum qui la sollicite est à mi-travée:

$$M = \frac{q l^2}{8} = \frac{0,981 \times 1,19^2}{8} = 0,174 \text{ tm}$$

FERRAILLAGE:

$$\mu = \frac{15 M}{\bar{\sigma}_a \cdot b \cdot h^2} = \frac{15 \times 0,174 \times 10^5}{2800 \times 100 \times 4^2} = 0,0583 \Rightarrow \text{Table de charon} \begin{cases} E = 0,8996 \\ s = 34,8 \end{cases}$$

$$A = \frac{M}{E h \cdot \bar{\sigma}_a} = \frac{0,174 \times 10^5}{0,8996 \times 4 \times 2800} = 1,72 \text{ cm}^2 \Rightarrow \text{on prend 7T6} = 1,98 \text{ cm}^2.$$

espacés de 16,5 cm.

dans le sens de longueur on aura pour ferraillage:

$$A_{t,y} = \frac{A_{t,x}}{4} = 0,431 \text{ cm}^2 \text{ dans ce sens on prend 5T6}$$

Verification des contraintes:

$$\sigma'_b = \frac{\bar{\sigma}_a}{K} = \frac{2800}{34,8} = 80,46 \text{ kg/cm}^2 < \bar{\sigma}'_b$$



INTRODUCTION:

Qu'est ce que la précontrainte: le béton armé est un matériau hétérogène formé de 2 constituants le béton et l'acier. Chacun de ces matériaux a un rôle de résistance, le béton résiste à la compression et les aciers représentent les efforts de traction. Le béton précontraint n'est pas un matériau mixte, c'est un matériau que l'on a rendu homogène sur le plan fonctionnellement grâce à un traitement mécanique préalable, apte à résister aux deux sens de sollicitations (compression et traction). Le traitement mécanique consiste à soumettre à l'avance le béton à des contraintes de compression dans les zones qui seront ultérieurement tendues.

Précontrainte par post-tension:

La précontrainte par post-tension consiste à tendre les armatures en prenant appui sur la pièce à précontraindre.

ANCRES:

les ancrages sont destinés à transmettre au béton, les forces extérieures dans les armatures sur une surface de répartition tel que le béton localement puisse résister à la contrainte de compression correspondante.

Hypothèses de calcul:

Au cours de la déformation d'une poutre sous l'action d'un système quelconque de forces extérieures, toute action normale à la ligne moyenne reste plane et conserve ses dimensions quand on est dans la limite des contraintes élastiques. Il n'en suit une répartition linéaire des contraintes, en conséquence les règles habituelles de la R.D.M, en particulier celle de la flexion composée sont applicables. Contrairement au B.A matériau hétérogène, le béton précontraint sera considéré comme un matériau homogène non fissuré.

Disposition des câbles:

pour les actions fortement excentrées en flexion, les câbles doivent être excentrés et groupés au maximum. Les câbles doivent être disposés de façon à assurer:

Le bétonnage jusqu'au fond du coffrage et la parfaite vibration. Chaque gaine doit être bien enrobée afin de protéger le câble contre la corrosion et assurer l'adhérence des gaines au béton.

Relevé des câbles:

notre étude porte sur des poutres isostatiques appuyées simplement par conséquent le moment de flexion est maximum dans la section médiane et tend vers zéro en s'approchant des appuis on diminue les excentricités en relevant des câbles avant d'atteindre la section d'about où le moment des charges extérieures est nul. Souvent dans les ouvrages en béton précontraint, les contraintes dans le béton en charge sont moins élevées qu'à vide, par conséquent on doit étudier non seulement l'ouvrage sous les surcharges maximales mais aussi le cas à vide. Il convient par ailleurs de l'étudier également en phase de construction.

### Calcul des différentes contraintes

a) Service à vide :  $\sigma = \sigma_p + \sigma_G$  fibre supérieure  
 $\sigma' = \sigma_p' + \sigma_G'$  fibre inférieure

b) Service en charge :

$\sigma = \sigma_p + \sigma_G + \sigma_Q$  fibre supérieure  
 $\sigma' = \sigma_p' + \sigma_G' + \sigma_Q'$  fibre inférieure

Dans les deux cas on doit avoir :

$$\bar{\sigma} \leq \sigma \leq \bar{\sigma}'$$

$$\bar{\sigma}' \leq \sigma' \leq \bar{\sigma}$$

dans notre cas la poutre la plus sollicitée est la poutre qui est milieu en coupant transversalement le tablier.

### Contraintes élémentaires de flexion dans le béton :

moment flechissant sous le poids propre :  $M_G = 241,99 \text{ tm}$

moment flechissant sous les surcharges :  $M_Q = 248,79 \text{ tm}$

les caractéristiques de la section médiane sont :

$I_G^{\text{net}} = 17036876,57 \text{ cm}^4$  ;  $i^2 = 2048,14 \text{ cm}^2$  ;  $S_G^{\text{net}} = 343243,73 \text{ cm}^3$  ;  $B_{\text{net}} = 8318,2 \text{ cm}^2$  ;

$V_G = 41,86 \text{ cm}$  ;  $V_i = 108,13 \text{ cm}$  ;  $e = -108,13 + 10 = -98,13 \text{ cm}$

Sous charges permanentes :

$M_G = 241,99 \text{ tm}$  ; Fibre supérieure  $\Rightarrow \sigma_G = \frac{M_G \cdot V_G}{I} = \frac{241,99 \times 41,86 \times 10^5}{17036876,57} = 59,46 \text{ kg/cm}^2$

Fibre inférieure  $\Rightarrow \sigma_G' = -\frac{M_G \cdot V_i}{I} = -\frac{241,99 \times 108,13 \times 10^5}{17036876,57} = -153,58 \text{ kg/cm}^2$

Sous les surcharges :

$M_Q = 248,79 \text{ tm}$  ; Fibre supérieure  $\Rightarrow \sigma_Q = \frac{248,79 \times 41,86 \times 10^5}{17036876,57} = 61,128 \text{ kg/cm}^2$

Fibre inférieure  $\Rightarrow \sigma_Q' = -\frac{248,79 \times 108,13 \times 10^5}{17036876,57} = 157,90 \text{ kg/cm}^2$

la force de précontrainte doit être calculée de telle façon qu'elle provoque une compression au moins égale à la traction des fibres inférieures.

$$\sigma_p' \geq \sigma_G' + \sigma_Q' = -(153,58 + 157,90) = -311,48 \text{ kg/cm}^2$$

Comme la section soumise à la force de précontrainte travaille en flexion composée avec N comme effort normal et e comme excentricité pour cela on aura pour contrainte :

fibre supérieure :  $\sigma_p = \frac{N}{B} + \frac{N \cdot e \cdot V_G}{I} \Rightarrow \sigma_p = \frac{N}{B} \left( 1 + \frac{e V_G}{i^2} \right)$

fibre inférieure :  $\sigma_p' = \frac{N}{B} + \frac{N \cdot e \cdot V_i}{I} \Rightarrow \sigma_p' = \frac{N}{B} \left( 1 - \frac{e V_i}{i^2} \right)$

on doit respecter :  $\sigma_p' \geq (\sigma_G' + \sigma_Q') \Rightarrow \frac{N}{B} \left( 1 - \frac{e V_i}{i^2} \right) \geq 311,48 \Rightarrow N \geq 419,245 \text{ t}$

on estime que les pertes de tension sont de 25% donc ce qui nous donnera

$$P_0 = 1,25 \times 419,245 = 524,056 \text{ t}$$

données du constructeur :

$R_g = 18500 \text{ kg/cm}^2$  ;  $T_g = 14800 \text{ kg/cm}^2$  ;  $w = 9,73 \text{ cm}^2$

On a  $\sigma_0 = \min(0,35 R_g ; 0,95 T_g) \Rightarrow \sigma_0 = 14060 \text{ kg/cm}^2 \Rightarrow \eta = \frac{P_0}{w \cdot \sigma_0}$

on trouve :  $\eta = 3,83$ .



le nombre total de cables pris est égal à 4 ; pour cela on laisse filer 2 cables jusqu'à la section d'about et on relève les deux autres.

Dans la section médiane on affecte aux cables une excentricité maximale.

Dans la section d'about le centre de gravité de la section et le centre de gravité des cables sont confondus pour éviter la création de moment parasite dû à la precontrainte.

Angle de relevage:

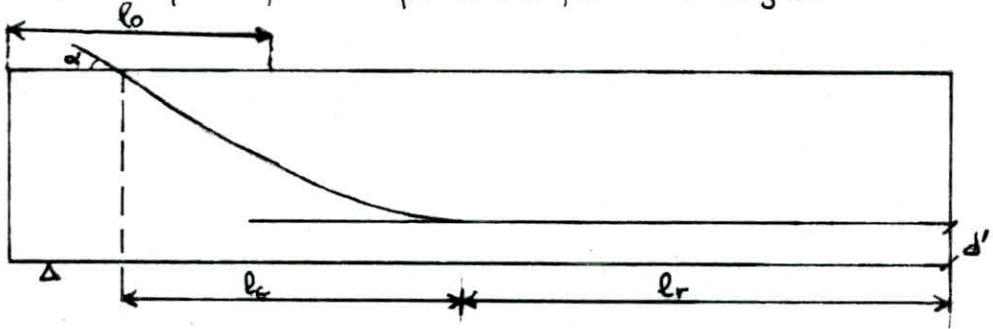
$0^\circ < \alpha < 20^\circ$  pour les cables d'about

et  $\alpha = 24,23^\circ$  pour les cables émergents.

Rayon de courbure des cables :

$R \geq 800 \phi$  ; avec  $\phi$  = diamètre du fil constituant le câble.

les cables présentent une partie parabolique et une partie rectiligne.



la zone de relevage des cables est définie par la longueur  $l_0$  :

$$\frac{l}{4} \leq l_0 \leq \frac{l}{3} \quad (l = \text{portée de la poutre})$$

$$6,125 \text{ m} \leq l_0 \leq 8,166 \text{ m}.$$

l'équation de la partie parabolique s'écrit sous forme :  $y = ax^2 = f(x)$

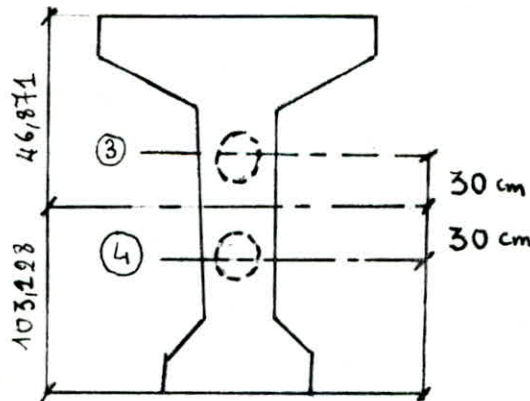
on a  $x = l_c \Rightarrow y = a l_c^2$  avec  $y_i = v_i - d'$

$$f'(x) = 2ax \Rightarrow f'(l_c) = 2a l_c = \text{tg} \alpha \Rightarrow a = \frac{\text{tg} \alpha}{2l_c} \Rightarrow l_c = \frac{2y_i}{\text{tg} \alpha}$$

Coordonnées des cables émergents ① et ②

cables	$\alpha^\circ$	$d'$ (cm)	$l_c$ (m)	$l_r$ (m)	$a$ ( $\text{m}^{-1}$ )
1	24,23	13,1	5,19	3,70	$4,33 \times 10^{-4}$
2	24,23	6,5	5,48	6,21	$4,10 \times 10^{-4}$

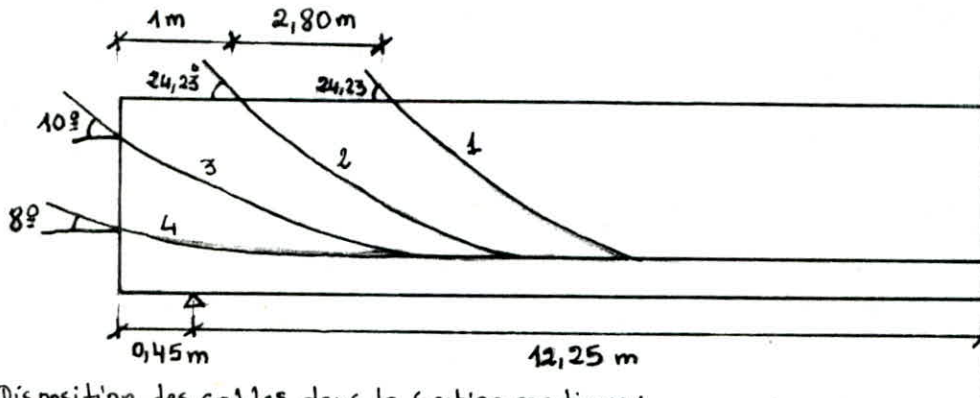
Cables d'about:



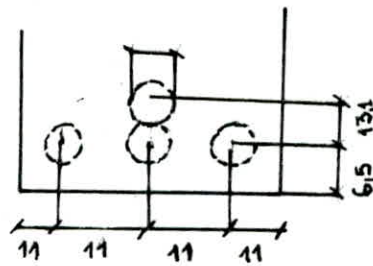


Coordonnées des cables d'about:

Cables	$\alpha^\circ$	$d'(\text{cm})$	$l_c(\text{m})$	$l_r(\text{m})$	$a(\text{m}^{-1})$
3	10	6,5	10,98	1,71	$8,029 \times 10^{-5}$
4	8	6,5	5,23	7,46	$1,34 \times 10^{-4}$

Disposition des cables dans la section mediane:

les cables sont groupés et présentent une excentricité maximum.

Tracé du cable équivalent:

on doit disposer convenablement les cables afin que les contraintes dues à la precontrainte et aux charges et surcharges prises en somme ne doivent pas dépasser les contraintes admissibles dans n'importe quelle section de la poutre.

Calcul des caractéristiques géométriques nettes des sections et des excentricités du câble équivalent dans chaque section:

c'est la section poutre + dalle qui est prise en compte.

$$S_{\Delta}^{\text{net}} = B_{\text{net}} \cdot v_s \Rightarrow v_s = \frac{S_{\Delta}^{\text{net}}}{B_{\text{net}}} = \frac{S_{\text{br}} - S_{\phi}}{B_{\text{br}} - B(\phi)}$$

$$d' = \frac{\sum B_i(\phi) \cdot d_i}{\sum B_i(\phi)} ; S(\phi) = B(\phi) \cdot (h_E - d')$$

$$I_{\Delta}^{\text{net}} = I_{\Delta}^{\text{br}} - I_{\Delta}(\phi) \quad \text{avec } I_{\Delta}(\phi) = I_0(\phi) + \sum B_i(\phi) \times z_i^2 \Rightarrow I_G^{\text{net}} = I_{\Delta}^{\text{net}} - S_{\Delta}^{\text{net}} v_s ; v_i = h_E - v_s$$

avec:

$S_{\text{br}}$  = moment statique de la section brute par rapport à la fibre supérieure (axe  $\Delta$ )

$S(\phi)$  = moment statique des trous par rapport à la fibre supérieure.

$B_{\text{net}}$  = section nette

$B_{\text{br}}$  = section brute

$B(\phi)$  = section des cables

$I_{\Delta}^{\text{br}}, I_{\Delta}^{\text{net}}$  = moment d'inertie respectivement de la section brute et section nette par rapport à la fibre supérieure.

$I_G^{\text{net}}$  = moment d'inertie de la section nette par rapport à l'axe passant par le centre de gravité de la section nette

$v_s, v_i$  : distance respectivement entre le c.d.g de la section nette et la fibre supérieure, et le c.d.g de la section nette et la fibre inférieure.

Exemple de calcul :

Section d'about :

N° cable	$\alpha_i(^{\circ})$	$y_i$ (cm)	$z_i$ (cm)	$\cos \alpha_i$	$z_i \cos \alpha_i$	$z_i^2$
1	—	—	—	—	—	—
2	—	—	—	—	—	—
3	10	96,82	46,68	0,984	45,96	2179,023
4	8	36,82	106,68	0,990	105,63	14262,05

ce qui nous donne :  $z = \frac{\sum z_i \cos \alpha_i}{\sum \cos \alpha_i} = \frac{45,96 + 105,63}{0,984 + 0,990} = 76,76 \text{ cm}$

$B_{net} = 9795,576 \text{ cm}^2$  et on aura aussi :  $v_s = 46,87 \text{ cm}$  ;  $v_i = 103,13 \text{ cm}$   
 $I_G = 2,0554448 \times 10^7 \text{ cm}^4$  et  $e = -29,81 \text{ cm}$  ;  $i^2 = 2098,34 \text{ cm}^2$ .

le calcul électronique nous donne les valeurs des caractéristiques des sections :

SECTIONS	$B_{nette} (\text{cm}^2)$	$v_s$ (cm)	$v_i$ (cm)	$I_G (\text{cm}^4)$	$e$ (cm)
ABOUT	9795,576	46,871	103,128	$2,0554448 \times 10^7$	-29,890
juste avant l'émergence du câble n°2	9795,576	46,768	103,23	$2,0487142 \times 10^7$	-44,800
juste après l'émergence du câble n°2	9761,364	46,848	103,151	$2,0474928 \times 10^7$	-22,166
juste avant l'émergence du câble n°1	9761,364	46,322	103,677	$2,0113952 \times 10^7$	-72,701
juste après l'émergence du câble n°1	9727,152	46,394	103,605	$2,0109014 \times 10^7$	-49,365
Section $L/4$	8619,152	41,825	108,175	$1,7819926 \times 10^7$	-89,931
Section médiane	8619,152	41,664	108,335	$1,7576142 \times 10^7$	-100,135

premier fuseau limite :

coordonnées du noyau central :

$$a = \frac{i^2}{v_s} \text{ borne supérieure et } a' = -\frac{i^2}{v_i} \text{ borne inférieure.}$$

les valeurs limites de l'excentricité de la précontrainte sont alors :

$$e_1 = a' - \frac{M_G}{N} \quad \text{et} \quad e_2 = a - \frac{M_G + M_Q}{N}$$

Deuxième fuseau limite :

les valeurs limites de l'excentricité du câble équivalent sont :

$$s_1 = \left( \frac{\bar{\sigma} B}{N} - 1 \right) \frac{i^2}{v_s} - \frac{M_G + M_Q}{N} \quad \text{en charge}$$

$$s_2 = - \left( \frac{\bar{\sigma} B}{N} - 1 \right) \frac{i^2}{v_i} - \frac{M_G}{N} \quad \text{à vide.}$$

le tracé de ces deux fuseaux se limitera aux 3 sections (médiane,  $L/4$ , about)

les valeurs de  $e_1, e_2, s$  et  $s'$  pour les sections : about, quart, mediane sont regroupés dans les deux tableaux suivants ; ces valeurs vont nous servir pour tracer le fuseau limite.

Premier fuseau limite :

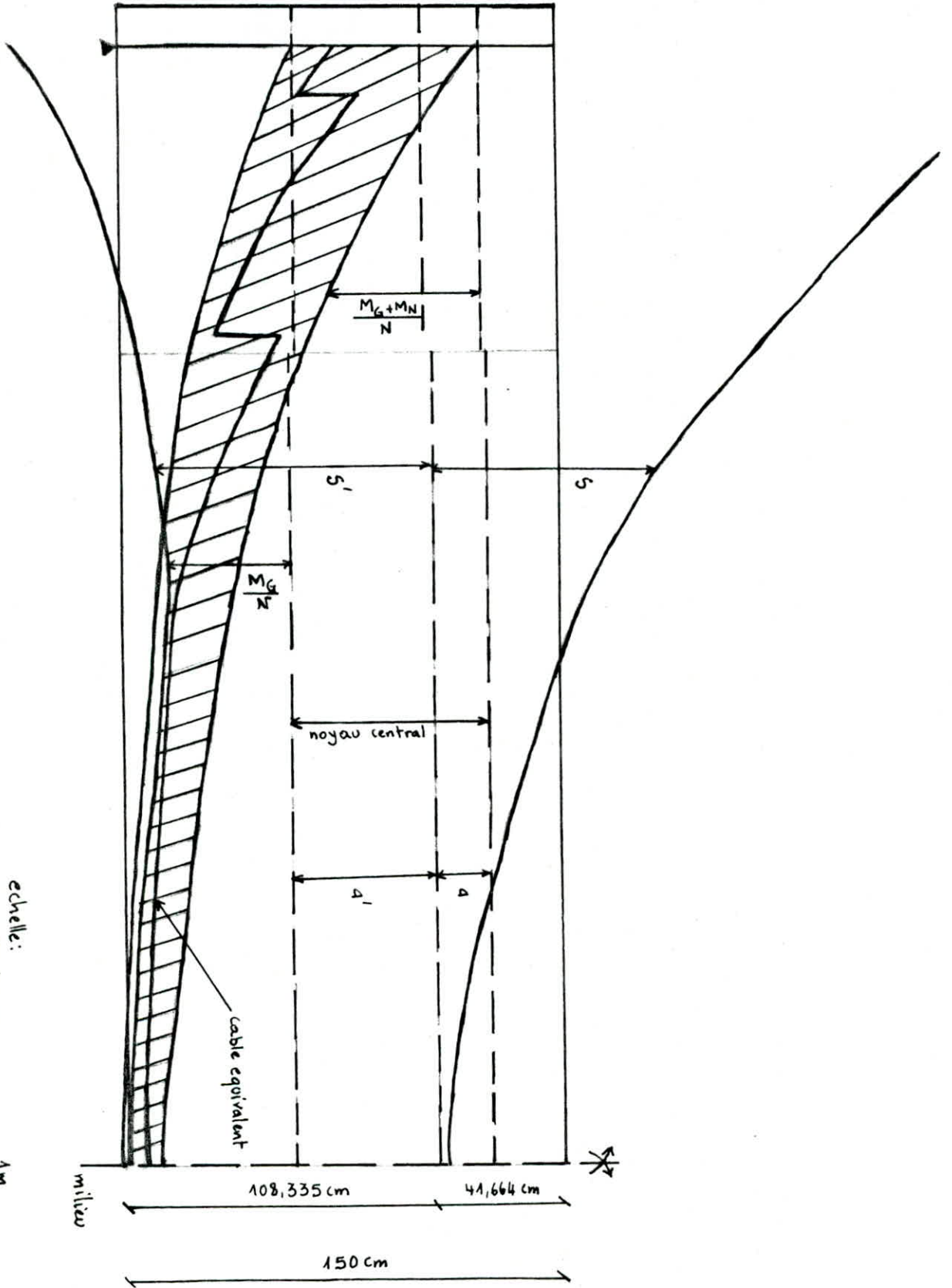
SECTION	$M_G$ [tm]	$M_Q$ [tm]	$N = p \sum \cos \alpha_i$ [t]	$M_G/N$ (cm)	$M_G + M_Q/N$ (cm)	$a$ (cm)	$a'$ (cm)	$e_1$ (cm)	$e_2$ (cm)
Mediane	249	248,79	419,245	57,672	117,015	18,823	-43,940	-106,610	-98,192
Quart	181,49	179,203	416,834	43,54	86,53	19,110	-49,430	-92,970	-67,420
About	0	0	207,619	0	0	20,350	-44,660	-44,660	20,350

Deuxieme fuseau limite :

SECTION	$B_{net}$ [cm <sup>2</sup> ]	$N(t)$	$-a' = \frac{l^2}{v_s}$	$a = \frac{l^2}{v_i}$	$\bar{\sigma} = \frac{B}{N}$	$M_G/N$ (cm)	$M_G + M_Q/N$ N	$S$ (cm)	$S'$ (cm)
Mediane	8619,152	419,245	48,940	18,823	3,45	57,67	117,015	2,883	-103,86
Quart	8619,152	416,834	49,430	19,110	3,47	43,54	86,53	35,56	-90,84
About	9795,576	207,619	44,660	20,350	7,95	0	0	310,07	-140,92



échelle:  
 Hauteur: 4 m  
 Longueur: 1 m



# PERTES ET CHUTES DE TENSION

Deux cas de pertes accompagnent la précontrainte.

## les pertes instantanées

- Frottements
- Recul d'ancrage
- Raccourcissement instantané du béton

## les pertes différées

- Fluage du béton
- Retrait du béton
- Relaxation des aciers

## Evaluation des pertes :

### pertes instantanées :

pertes par frottements : ces pertes sont évaluées avec la relation suivante :

$$\Delta\sigma_{fr} = \sigma_0 [f \cdot \alpha + \varphi l] \text{ avec}$$

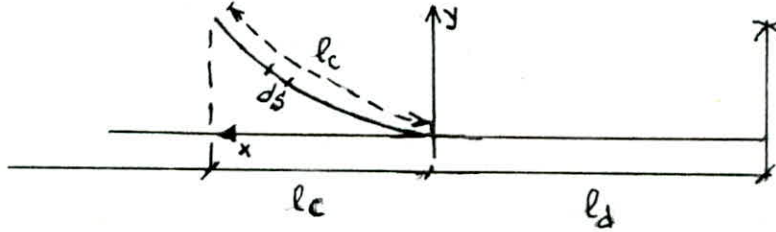
$f$  = coefficient de frottement câble gaine :  $f = 0,23$

$\alpha$  = angle de relevage de câble - gaine en radian

$\varphi$  = coefficient de perte en ligne ;  $\varphi = 0,0017 \text{ rd/m}$

$\sigma_0$  = contrainte initiale à la mise en tension  $\sigma_0 = \min(0,85 R_g, 0,95 T_g) = 14060 \text{ kg/cm}^2$

$l$  = longueur du câble ;  $l = l_d + l_c$



### Calcul de $l_c$ :

$$l_c = \int ds = \int \sqrt{(dx)^2 + (dy)^2} = \int \sqrt{1 + (2ax)^2} dx \text{ le tronçon } l_c \text{ est parabolique d'équation } y = ax^2 \Rightarrow dy = 2ax dx.$$

en effectuant un changement de variable :

$$l_c = \frac{1}{4a} \left[ \ln(2ax + \sqrt{1 + (2ax)^2}) + 2ax \sqrt{1 + (2ax)^2} \right]$$

pertes par frottement entre la section d'about et la section médiane :

Cable	$\alpha(^{\circ})$	$\alpha(\text{rd})$	$x(\text{m})$	$l_c(\text{m})$	$l_d(\text{m})$	$l(\text{m})$	$\Delta\sigma_{fr}(\text{kg/cm}^2)$
1	24,23	0,423	5,19	5,36	3,70	9,06	1673,48
2	24,23	0,423	5,48	5,66	6,21	11,87	1744,41
3	10	0,174	10,98	11,03	1,72	12,75	916,17
4	8	0,139	5,24	5,26	7,46	12,72	795,87

$$\Delta\sigma_{fr}^{moy} = 1282,48 \text{ kg/cm}^2$$

pertes par frottement entre la section d'about et la section d'émergence du câble n°2 :

Cable	$\alpha(^{\circ})$	$\alpha(\text{rd})$	$x(\text{m})$	$l_c$	$l_d$	$l(\text{m})$	$\Delta\sigma_{fr}(\text{kg/cm}^2)$
1	—	—	—	—	—	—	—
2	—	—	—	—	—	—	—
3	9,105	0,159	1,00	1,00	1,71	2,71	611,48
4	6,487	0,113	1,00	1,00	7,46	8,46	599,52

$$\Delta\sigma_{fr}^{moy} = 605,5 \text{ kg/cm}^2$$

perte par frottement entre la section d'about et la section d'émergence du câble n°1:

Cables	$\alpha(^{\circ})$	$\alpha(\text{rd})$	X(m)	$L_c(\text{m})$	$L_d(\text{m})$	L(m)	$\Delta\sigma_{fr} [\text{kg/cm}^2]$
1	—	—	—	—	—	—	—
2	12,432	0,217	3,80	3,861	0	3,861	838,630
3	6,578	0,115	3,80	3,800	0	3,800	488,713
4	2,211	0,038	3,80	3,800	0	3,800	225,72

$$\Delta\sigma_{fr} = 517,687 \text{ kg/cm}^2$$

Recul d'ancrage:

$$X = \sqrt{\frac{3 E_a}{\sigma_0 \left( \frac{f \alpha}{2} + \varphi \right)}} \quad \text{et} \quad \Delta\sigma_{\text{recul}} = 2 \sigma_0 \left[ \frac{f \alpha}{2} + \varphi \right] \frac{x}{L} = \frac{2 \beta}{X} E_a$$

$$\Delta\sigma_{\text{recul}}(x) = \Delta\sigma_{\text{recul}} \frac{x-x}{X} = 2 \beta \cdot E_a \frac{x-x}{x^2}$$

Cable	X(m)	Section			
		Appui	1m	3,80m	mediane
1	10,32	—	—	2314	0
2	11,59	—	2980	2192	0
3	16,62	2275	2137	1754	530,00
4	17,83	2119,97	2001	1668	609,96
		2197,48	2372,66	1982	569,98

Raccourcissement instantané du béton:

$$\Delta\sigma_{\text{racc}} = \frac{1}{2} \frac{E_a}{E_i} \sigma'_{b_j} \quad \text{avec} \quad \sigma'_{b_j} = 90,07 \text{ kg/cm}^2$$

$$E_a = 2,1 \times 10^6 \text{ kg/cm}^2; \quad E_i = 21000 \sqrt{\sigma'_{28}} = 21000 \sqrt{300} = 363730,67 \text{ kg/cm}^2.$$

on trouve:

$$\Delta\sigma_{\text{racc}} = 260 \text{ kg/cm}^2$$

PERTES différées:

$$\text{fluage: } \Delta\sigma_{\text{fluage}} = 2 \times \frac{E_a}{E_i} \sigma'_{b_j} = \frac{2 \times 2,1 \times 10^6}{363730,67} \times 90,07 = 840,653 \text{ kg/cm}^2$$

$$\text{retrait: } \Delta\sigma_{\text{retrait}} = \epsilon_r \cdot E_a = 3,5 \times 10^{-4} \cdot 2,1 \times 10^6 = 735 \text{ kg/cm}^2$$

Relaxation des aciers:

$$\Delta\sigma_{\text{relax}} = \max \left\{ \begin{array}{l} \frac{2,14 \rho_{1000}}{100} \times \frac{\sigma_{P_i} - 0,55 R_G}{0,25 R_G} \sigma_{P_i} \\ \frac{\rho_{3000} + 2,15}{100} \times \frac{\sigma_{P_i} - 0,55 R_G}{0,25 R_G} \sigma_{P_i} \end{array} \right.$$

$$\rho_{1000} = 3\%$$

$$\rho_{3000} = 3,5\%$$

$$R_G = 1850 \text{ kg/cm}^2$$

$$\text{avec } \sigma_{P_i} = \sigma_0 - \Delta\sigma_{\text{frott}} - \Delta\sigma_{\text{rec}} - \Delta\sigma_{\text{racc}}$$

$$\Delta\sigma_{\text{relax}} = \begin{cases} 220,95 \text{ kg/cm}^2 \\ 184,127 \text{ kg/cm}^2 \end{cases}$$



on a :  $\sigma_{p_i} = \sigma_0 - \sum \Delta\sigma_{\text{instantané}}$  avec  $\sigma_0 = 14060 \text{ Kg/cm}^2$

a la Section d'about :  $\sigma_{p_i} = 11602,5 \text{ Kg/cm}^2$

a la Section d'émergence du câble n°2 :  $\sigma_{p_i} = 10821,84 \text{ Kg/cm}^2$

a la Section d'émergence du câble n°1 :  $\sigma_{p_i} = 11300,30 \text{ Kg/cm}^2$

a la Section médiane :  $\sigma_{p_i} = 11947,54 \text{ Kg/cm}^2$

$\sigma_{p_i}^{\text{moy}} = 11418,045 \text{ Kg/cm}^2$  et on a aussi :  $\Delta\sigma_{\text{relax}} = 220,95 \text{ Kg/cm}^2$

l'Ip2 propose de prendre les pertes différées égales à :

$$\Delta\sigma_{\text{diff}} = \begin{cases} \Delta\sigma_{\text{ret}} + \Delta\sigma_{\text{fluage}} + \Delta\sigma_{\text{relax}} - \frac{\Delta\sigma_{\text{rel}} [\Delta\sigma_{\text{ret}} + \Delta\sigma_{\text{fluage}}]}{\sigma_{p_i} - 0,55 Rg} & \text{si } \Delta\sigma_{\text{ret}} + \Delta\sigma_{\text{fluage}} < \sigma_{p_i} - 0,55 Rg \\ \Delta\sigma_{\text{ret}} + \Delta\sigma_{\text{fluage}} & \text{sinon.} \end{cases}$$

on remarque que  $\Delta\sigma_{\text{ret}} + \Delta\sigma_{\text{fluage}} > \sigma_{p_i} - 0,55 Rg$  avec  $\Delta\sigma_{\text{ret}} + \Delta\sigma_{\text{fluage}} = 1575,613 \text{ Kg/cm}^2$   
 et  $\sigma_{p_i} - 0,55 Rg = 1243,045 \text{ Kg/cm}^2$

donc :  $\Delta\sigma_{\text{diff}} = \Delta\sigma_{\text{ret}} + \Delta\sigma_{\text{fluage}} = \underline{1575,613 \text{ Kg/cm}^2}$

# VERIFICATION DES CONTRAINTES NORMALES

## Différentes phases d'exécution :

les vérifications des contraintes se feront suivant les phases d'exécution ci-après.

### phase 1 :

on coule la poutre au sol et une fois le béton durcit on tire les câbles ③ et ④, la section résistante est la section de la poutre seule, les contraintes prises en considération sont celles engendrées par :

- le poids propre de la poutre
- la précontrainte des deux premiers câbles mis en tension.

### phase 2 :

les poutres sont mises en place et la dalle coulé mais encore fraîche non résistante les contraintes à prendre en compte sont :

- poids propre de la poutre, poids propre de la dalle et entretoise revenant à la poutre, la précontrainte résiduelle de la 1<sup>ère</sup> série de câble.

### phase 3 :

la dalle a durci et participe à la résistance, la deuxième série de câbles est tirée les contraintes prises en compte seront celles produites par :

- poids propre de la poutre, poids propre de la dalle et entretoise revenant à la poutre, précontrainte résiduelle de la première série de câble, précontrainte des deux câbles immergés mis en tension.

### phase 4 :

la superstructure est mise en place (trottoirs, garde corps ...), les contraintes prises en compte sont :

- poids propre de la poutre, poids propre de la dalle + entretoise revenant à la poutre,
- poids propre de la superstructure, précontraintes résiduelles des deux séries de câble

### phase 5 :

c'est une phase de vérification en service, on applique les surcharges qui engendrent les plus défavorables dans notre cas c'est le convoi exceptionnel  $C_0$ .

## Contrainte initiale de calcul :

la vérification se fera pour la section médiane.

$$\sigma_i = \sigma_0 - \Delta \sigma_{pr} - \Delta \sigma_{recu} - \Delta \sigma_{raccour} \quad \text{tout calcul fait pour la section médiane et pour tous les câbles on trouve.}$$

$$\sigma_i^{moy} = 12232,53 \text{ kg/cm}^2$$

Caractéristiques géométriques nettes de la section médiane :

Section	B [cm]	I [cm <sup>4</sup> ]	i <sup>2</sup> [cm <sup>2</sup> ]	V <sub>s</sub> [cm]	V <sub>i</sub> [cm]	e [cm]
poutre seule	4239	8515140,50	2008,69	54,880	75,120	-66,97
poutre + dalle	8619,15	17576114,96	2039,19	41,665	108,335	-100,185

## Vérification des contraintes :

phase 1 :  $\sigma_0 = 12232,53 \text{ kg/cm}^2$  pour chaque câble  $\Rightarrow N = 2 \times \sigma_0 \times w$

Donc l'effort N des 2 câbles d'about sera :  $N = 2 \times 12232,53 \times 9,73 = 238045,00 \text{ kg}$

les contraintes dues à N sont :

$$\text{Fibre supérieure : } \frac{N}{B} \left( 1 - \frac{e \times V_s}{i^2} \right) = \frac{238045,00}{4239} \left( 1 - \frac{66,97 \times 54,880}{2008,69} \right) = -46,6 \text{ kg/cm}^2$$

$$\text{Fibre inférieure : } \frac{N}{B} \left( 1 + \frac{e \times V_i}{i^2} \right) = \frac{238045,00}{4239} \left( 1 + \frac{66,97 \times 75,12}{2008,69} \right) = 196,8 \text{ kg/cm}^2$$

Contraintes dues aux charges :

$$\sigma = \frac{M \nu}{I} \Rightarrow \text{Fibre superieure : } \sigma_S = \frac{95,87 \times 54,88}{8515140,5} = 61,79 \text{ kg/cm}^2$$

$$\text{avec } M = \frac{q \cdot l^2}{8} \Rightarrow M = 95,87 \text{ tm ; } \text{Fibre inferieure : } \sigma_I = -\frac{95,87 \times 75,12}{8515140,5} = -84,57 \text{ kg/cm}^2$$

donc on aura comme ctes effectives :

$$\text{Fibre superieure : } \sigma_S = -46,6 + 61,79 = 15,19 \text{ kg/cm}^2$$

$$\text{Fibre inferieure : } \sigma_I = 196,8 - 84,57 = 112,23 \text{ kg/cm}^2.$$

d' la fin de cette phase on considère on considère qu'on a un tiers des pertes differenciées qui est consommé donc on aura :

$$\sigma' = \sigma - \frac{1}{3} \sigma_{diff} = 12232,53 - \frac{1}{3} 1575,613 = 11707,32 \text{ kg/cm}^2$$

$$N' = 11707,32 \times 2 \times 9,73 = 227824,55 \text{ kg}$$

$$\Rightarrow \text{Fibre superieure : } \sigma_{PS} = -44,59 \text{ kg/cm}^2$$

$$\text{Fibre inferieure : } \sigma_{PI} = 188,35 \text{ kg/cm}^2$$

les contraintes effectives seront :

$$\sigma_{FS} = 61,79 - 44,59 = 17,2 \text{ kg/cm}^2$$

$$\sigma_{FI} = -84,57 + 188,35 = 103,78 \text{ kg/cm}^2$$

Phase 2 :

les cables d'about vont encore subir une perte estimée à  $\frac{1}{3} \Delta \sigma_{diff}$ .

la contrainte sera :  $\sigma = 11707,32 - \frac{1}{3} 1575,613 = 11182,11 \text{ kg/cm}^2$

$$N = 11182,11 \times 2 \times 9,73 = 217603,97 \text{ kg/cm}^2$$

Fibre superieure :  $\sigma_{PS} = -42,59$  ,  $\sigma_{PI} = 179,90 \text{ kg/cm}^2$ .

le moment dû aux effets exterieures :  $M = 205,96 \times 10^5 \text{ kg cm}$ , les contraintes sont :

$$\sigma_S = 132,743 \text{ kg/cm}^2$$

$$\sigma_I = -181,690 \text{ kg/cm}^2$$

contraintes effectives :

$$\sigma_{FS} = 90,153 \text{ kg/cm}^2$$

$$\sigma_{FI} = -117,9 \text{ kg/cm}^2$$

Phase N°3

la dalle participe à la resistance : cable ① et ② ;  $\sigma_I = 12232,53 \text{ kg/cm}^2 \Rightarrow N = 238045,00 \text{ kg}$   
cable ③ et ④  $\sigma' = 11182,11 - \frac{1}{3} \times 1575,613 = 10656,90 \text{ kg/cm}^2 \Rightarrow N' = 207383,274 \text{ kg}$

$$F.S \rightarrow \sigma = -54,107 \text{ kg/cm}^2 ; F.I \rightarrow \sigma = 326,736 \text{ kg/cm}^2.$$

Contraintes produites par le poids propre de la poutre + poids de la dalle revenant à poutre + poids des entretoises lui revenant.

$$F.S \rightarrow \sigma = 48,82 \text{ kg/cm}^2 ; F.I \rightarrow \sigma = -126,91 \text{ kg/cm}^2.$$

les contraintes effectives seront :

$$\sigma_{F.S} = -5,287 \text{ kg/cm}^2 ; \sigma_{F.I} = 199,826 \text{ kg/cm}^2.$$

d' la fin de cette phase les cables ① et ② vont subir une perte de  $\frac{1}{3} \Delta \sigma_{diff}$ .

on trouve :  $\sigma = 11707,32 \text{ kg/cm}^2 \Rightarrow N = 227824,56 \text{ kg}$

donc  $N_T = 227824,56 + 207383,274 = 435207,83 \text{ kg} \Rightarrow \sigma_{P.F.S} = -52,86 \text{ kg/cm}^2$

$$\sigma_{P.F.I} = 319,234 \text{ kg/cm}^2$$



On aura pour contraintes effectives :

$$\sigma_{F.S} = -4,04 \text{ kg/cm}^2 \quad ; \quad \sigma_{F.I} = 192,408 \text{ kg/cm}^2.$$

phase 4 :

à cette phase là on aura mis en place la superstructure ( trottoirs, revêtement, glissière, garde-corps)

$M_G = 241,99 \text{ tm}$  , ce moment là engendre les contraintes suivantes :

$$\sigma_{G.S} = 57,36 \text{ kg/cm}^2 \quad ; \quad \sigma_{G.I} = -149,15 \text{ kg/cm}^2$$

la série ③ et ④ a subi toutes les pertes :  $N = 207383,274 \text{ Kg}$

la 2<sup>ème</sup> série va subir une perte estimée à  $\frac{2}{3} \sigma$  ;  $\sigma = 11707,32 - \frac{2}{3} 1575,613 = 10656,911 \text{ kg}$

$$\Rightarrow N = 207383,49 \text{ Kg}$$

donc l'effort total de precontrainte :  $N_T = 414766,98 \text{ Kg}$

les contraintes engendrées sont :

$$F.S \Rightarrow \sigma = -50,383 \text{ kg/cm}^2 \quad ; \quad F.I \Rightarrow \sigma_{P_2} = 304,247 \text{ kg/cm}^2$$

la valeur des contraintes effectives sera :

$$\sigma_{F.S} = 6,977 \text{ kg/cm}^2 \quad ; \quad \sigma_{F.I} = 155,097 \text{ kg/cm}^2.$$

phase 5 :

le convoi D est celui qui engendre le moment le plus défavorable à la section médiane

$$M_{G+Q} = 490,78 \text{ tm} \Rightarrow F.S \Rightarrow \sigma_S = 116,341 \text{ kg/cm}^2 \quad ; \quad F.I \Rightarrow \sigma_I = -302,550 \text{ kg/cm}^2$$

On aura pour valeur des contraintes effectives :

$$F.S \Rightarrow \sigma_{F.S} = 65,958 \text{ kg/cm}^2$$

$$F.I \Rightarrow \sigma_{F.I} = 1,742 \text{ kg/cm}^2$$

Conclusion : Toutes les contraintes effectives sont admissibles, ce qui place notre section dans la sécurité.

# VERIFICATION DES CONTRAINTES TANGENTIELLES

Dans une section quelconque le relevage des cables introduit deux composantes pour la force de precontrainte

$$N = \sum p \cos \alpha_i \quad \text{et} \quad V = \sum p \sin \alpha_i$$

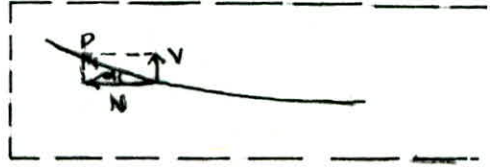
$N$  = Composante normale .

$V$  = composante tangentielle .

$p$  = force de precontrainte par cable .

$\alpha_i$  = angle de relevage .

pour cela il resulte un effort tranchant reduit :  $T_r = Q - \sum p \sin \alpha_i$   
avec  $Q$  = effort tranchant dû aux sollicitations extrêmes .



Contrainte de cisaillement :

la contrainte de cisaillement est donnée par la relation suivante :

$$\tau_b = \frac{T \cdot S}{b_0 I}$$

avec  $T$  = effort tranchant

$b_0$  = épaisseur nette de l'âme

$S$  = moment statique par rapport à l'axe qui passe par le c.d.g

$I$  = moment d'inertie

$$\bar{\tau} = \frac{T}{S}$$

Contrainte de cisaillement admissible :

la contrainte admissible de cisaillement  $\bar{\tau}$  est donnée par la formule de CHALOS - BETEILLE (IP1)

$$\bar{\tau}^2 = \frac{\bar{\sigma}' \cdot (\bar{\sigma}' - \bar{\sigma}_g) (\bar{\sigma}' + \bar{\sigma}_g)}{\bar{\sigma}'}$$

$\bar{\sigma}_g$  = contrainte au niveau du c.d.g de la section .

$\bar{\sigma}'$  et  $\bar{\sigma}$  sont respectivement les contraintes admissibles en compression et en traction définies dans l'IP1 .

$$\bar{\sigma}' = 0,42 \sigma_j' \quad \text{en service} \Rightarrow \bar{\sigma}' = 168 \text{ Kg/cm}^2$$

$$\bar{\sigma}' = 0,55 \sigma_j' \quad \text{en charge} \Rightarrow \bar{\sigma}' = 220 \text{ Kg/cm}^2$$

(  $j = 28$  jours )

Contrainte de rupture en traction :  $\sigma_{28}' = 31 \text{ Kg/cm}^2$

$$\bar{\sigma} = 0,42 \sigma_j' \quad \text{en service} \Rightarrow \bar{\sigma} = 13 \text{ Kg/cm}^2$$

$$\bar{\sigma} = 0,55 \sigma_j' \quad \text{en charge} \Rightarrow \bar{\sigma} = 17,05 \text{ Kg/cm}^2$$

on doit vérifier pour chaque phase que  $\tau < \bar{\tau}$

section d'about :

caracteristiques :

SECTION	B [cm <sup>2</sup> ]	I [cm <sup>4</sup> ]	$V_s$ [cm]	$V_i$ [cm]	$i^2$ [cm <sup>2</sup> ]	$e$ [cm]	$\sum \cos \alpha_i$	$\sum \sin \alpha_i$
Poutre seule	5415,58	9438308,44	56,68	73,32	1742,81	0,000	1,975	0,313
Poutre avec dalle	9795,58	20554448	46,87	103,13	2098,34	-29,17	1,975	0,313

contrainte initiale d'about :  $\sigma_i = \sigma_0 - \sum \Delta \sigma_{inst}$

$$\sigma_i = 14060 - 2197,5 - 260 = 11602,5 \text{ Kg/cm}^2$$

phase 1 :

Contrainte residuelle :  $\sigma_i' = 11602,5 - \frac{1}{3} \times 1575,6 = 11077,3 \text{ Kg/cm}^2$

$$N = p \sum \cos \alpha_i = 11077,3 \times 9,73 \times (1,975) = 213307,26 \text{ Kg}$$

$$V = p \sum \sin \alpha_i = 11077,3 \times 9,73 \times (0,313) = 33805,15 \text{ Kg}$$

$$T_r = T_0 - V = \frac{1,28 \times 24,5}{2} - 33,805 = -18,125 \text{ t}$$

$$b_0 = 32 - 6,6 = 25,4 \text{ cm}$$

$$S = 32 \times (73,32)^2 + 2 \times 6 \times 18 (73,32 - 9) + 2 \times 6 \times \frac{9}{2} (73,32 - 21) - 34,2 \times 36,503$$

$$\Rightarrow S = 101483,16 \text{ cm}^3$$

$$\bar{z} = 93,00 \text{ cm}; \text{ donc } \bar{\tau} = -\frac{18,125 \times 10^3}{25,4 \times 93} = -7,67 \text{ kg/cm}^2$$

calcul de  $\bar{\tau}$

contraintes par N :  $\sigma = \frac{N}{B} \left( 1 \pm \frac{e(V_2, V_1)}{I} \right)$  on trouve: F.S :  $\sigma = 39,35 \text{ kg/cm}^2$   
 F.I :  $\sigma = 39,35 \text{ kg/cm}^2$

donc  $\sigma_g = 39,35 \text{ kg/cm}^2$ ; donc  $\bar{\tau}^2 = 789,53 \text{ kg}^2/\text{cm}^4 \Rightarrow \bar{\tau} = 28,1 \text{ kg/cm}^2$  on a bien  $\tau < \bar{\tau}$

phase 2:

contrainte résiduelle:  $11077,3 - \frac{1}{3} \times 1575,6 = 10552,1 \text{ kg/cm}^2$

donc  $N = 102671,93 \times 1,975 = 202777,07 \text{ kg}$

$V = 102671,93 \times 0,313 = 32136,32 \text{ kg}$

$T_r = T_{\text{poutre}} + T_{\text{dalle}} - V = 15,68 + 13,91 - 32,136 = -2,5495 \text{ t}$

donc  $\tau = -\frac{2,5495}{25,3 \times 93} = -1,08 \text{ kg/cm}^2$

contrainte produite par N:

Fibre supérieure:  $\frac{202777,07}{5415,58} = 37,41 \text{ kg/cm}^2$

Fibre inférieure:  $\frac{202777,07}{5415,58} = 37,41 \text{ kg/cm}^2$

$\Rightarrow \sigma_g = 37,41 \text{ kg/cm}^2$

$\bar{\tau}^2 = \frac{17,05}{220} (220 - 37,41) (17,05 + 37,41) = 771,7 \text{ kg}^2/\text{cm}^4 \Rightarrow \bar{\tau} = 27,80 \text{ kg/cm}^2 > |\tau|$

phase 3:

section résistante = poutre + dalle.

contrainte résiduelle dans chaque câble d'about:  $10552,1 - \frac{1}{3} \times 1575,6 = 10026,9 \text{ kg/cm}^2$

l'effort de précontrainte par câble:

$10026,9 \times 9,73 = 97561,74 \text{ kg}$

$N = 97561,74 \times 1,975 = 192684,43 \text{ kg}$

$V = 97561,74 \times 0,313 = 30536,82 \text{ kg}$

$S = \frac{32}{2} \times (103,13)^2 + 2 \times 6 \times 18 (103,13 - 9) + \frac{2 \times 6 \times 9}{2} (103,13 - 21) - 34,2 \times 72,63 = 192455,94$

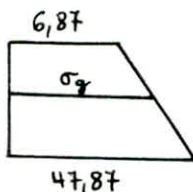
$\bar{z} = \frac{I}{S} = 106,8 \text{ cm}$

$T_r = 15,68 + 13,91 - 30,537 = -0,947 \text{ t} \Rightarrow \tau = -\frac{0,947 \times 10^3}{106,8 \times 25,4} = -0,35 \text{ kg/cm}^2$

contraintes engendrées par N:

Fibre supérieure:  $\frac{192684,43}{9795,58} \left( 1 - \frac{29,17 \times 46,87}{2098,34} \right) = 6,87 \text{ kg/cm}^2$

Fibre inférieure:  $\frac{192684,43}{9795,58} \left( 1 + \frac{29,17 \times 103,13}{2098,34} \right) = 47,87 \text{ kg/cm}^2$



$\sigma_g = 6,85 + \frac{46,87}{150} (47,87 - 6,85) = 19,67 \text{ kg/cm}^2$

$\bar{\tau}^2 = \frac{17,05}{220} (220 - 19,67) (17,05 + 19,67)$

$\bar{\tau} = 24,71 \text{ kg/cm}^2 > |\tau| = 0,35 \text{ kg/cm}^2$



phase 4 :

Toutes les pertes ont été consommées

$$N = 192684,43 \text{ Kg}$$

$$V = 30536,82 \text{ Kg}$$

$$T_r = T_{\text{poutre}} + T_{\text{dalle}} + T_{\text{superstructure}} - T_v = 48,79 - 30,537 = 18,253 \text{ t}$$

$$\tau = \frac{18,253 \times 10^3}{25,4 \times 106,8} = 6,73 \text{ Kg/cm}^2 \quad \text{Comme } \bar{\tau} = 24,71 \text{ Kg} \Rightarrow \tau < \bar{\tau}$$

phase 5 :

$$N = 192684,43 \text{ Kg} ; \quad V = 30536,82 \text{ Kg}$$

$$T_r = T_G + T_{\text{Surcharge}} - T_v \Rightarrow T_r = 78,11 - 30,537 = 47,53 \text{ t}$$

$$\text{donc } \tau = \frac{47,53}{25,4 \times 106,8} = 17,54 \text{ Kg/cm}^2$$

$$\bar{\tau}^2 = \frac{13}{168} (168 - 19,67)(13 + 19,67) \Rightarrow \bar{\tau} = 19,36 \text{ Kg/cm}^2 \Rightarrow \tau < \bar{\tau}$$

le même calcul va être mené pour les 2 autres sections dont les résultats sont regroupés dans les 2 tableaux suivants.

Section d'émergence du câble n° 1 :

	phase 1	phase 2	phase 3	phase 4	phase 5
$ \tau  \text{ [Kg/cm}^2\text{]}$	5,5	0,56	15,04	7,74	2,94
$\bar{\tau} \text{ [Kg/cm}^2\text{]}$	27,60	27,28	25,93	21,02	20,93

Section d'émergence du câble n° 2 :

	phase 1	phase 2	phase 3	phase 4	phase 5
$ \tau  \text{ [Kg/cm}^2\text{]}$	7,36	3,03	17,9	11,84	2,99
$\bar{\tau} \text{ [Kg/cm}^2\text{]}$	27,87	28,01	26,01	21,13	21,05

Ce qui nous place dans la sécurité vis à vis de l'effort tranchant car pour toutes les sections étudiées la condition:  $|\tau| < \bar{\tau}$  est satisfaite.

Ferraillage de la poutre :

armatures transversales: bien que l'état de contrainte en chaque section de la poutre est situé dans le domaine de la sécurité, il convient de prévoir des étriers dans l'âme qui suppriment les risques de ruines dus au retrait et aux reprises de bétonnage.

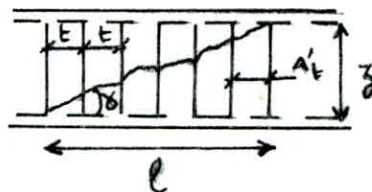
Ces armatures seront justifiées à partir de la théorie de RITTER-MÖRSCH en tenant compte d'une inclinaison  $\delta$  tel que :

$$\text{tg } 2\delta = \frac{2\tau}{\sigma}$$

Soit  $n$  le nombre de cadres de section  $A'_t$

On a :  $n = \frac{l}{t} = \frac{\delta}{t \text{tg } \delta}$  on doit avoir  $\frac{T_r}{n A'_t} \leq \bar{\sigma}'_{at}$

$$\bar{\sigma}'_{at} = \rho_a \sigma_{ent} \quad \text{avec } \rho'_a = \begin{cases} 2/5 & \text{si'il y a reprise de} \\ & \text{bétonnage.} \\ 1 - \frac{1}{3} \left( \frac{\tau}{\bar{\tau}} \right)^2 & \text{sinon} \end{cases}$$



Comme  $n = \frac{\bar{\sigma}}{t \cdot \text{tg} \gamma}$  donc on aura :  $\frac{T_r}{n A'_t} = \frac{T_r}{A'_t} \times \frac{t \text{tg} \gamma}{\bar{\sigma}} \leq \bar{\sigma}'_{at}$  d'où  $t \leq \frac{\bar{\sigma}'_{at} \times A'_t}{T_r} \times \frac{\bar{\sigma}}{\text{tg} \gamma}$

toutefois on doit avoir  $t \leq \bar{t}$

$$\text{avec : } t = \inf \begin{cases} h_t (1,25 - 0,95 \frac{\bar{\sigma}}{\bar{c}}) \\ b_0 (5 - 2,2 \frac{\bar{\sigma}}{\bar{c}}) \\ 4 b_0 \end{cases}$$

Section d'appui :

$$\bar{\sigma}_{en_t} = 4200 \text{ kg/cm}^2 ; A'_t = 2,26 \text{ cm}^2 (2T12) ; h_t = 130 \text{ cm}$$

$$\rho'_a = 1 - \frac{1}{3} \left( \frac{\bar{\sigma}}{\bar{c}} \right)^2 \text{ pas de reprise de bétonnage}$$

$$|\bar{c}| = 7,67 \text{ kg/cm}^2 \text{ et } \bar{c} = 28,1 \text{ kg/cm}^2 \Rightarrow \rho'_a = 0,975 \Rightarrow \bar{\sigma}'_{at} = 4095,7 \text{ kg/cm}^2$$

$$\text{tg} 28 = 0,3899 \Rightarrow \gamma = 10,651^\circ \Rightarrow \text{tg} \gamma = 0,188 \Rightarrow t \leq 175,5 \text{ cm}$$

$$\bar{t} = \inf \begin{cases} 82,84 \\ 94,23 \\ 101,6 \text{ cm} \end{cases}$$

pourcentage minimal :

$$\tilde{\omega}_t = 0,25 \frac{h_t}{h_t + 3 b_0} = 0,25 \times \frac{130}{130 + 3 \times 25,4} = 0,16\% \text{ ce qui vérifie que } 0,1\% < \tilde{\omega}_t < 0,2\%$$

$$\bar{t} = \frac{A'_t}{\tilde{\omega} b_0} = \frac{157 \times 100}{25,4 \times 0,16} = 38,63 \text{ cm}$$

on prend un espacement  $t = 25 \text{ cm}$ .

Section d'émergence du câble n°1 :

$$\bar{c} = 17,9 \text{ kg/cm}^2 ; \bar{c} = 26,07 \text{ kg/cm}^2 ; \bar{\sigma}_g = 28,8 \text{ kg/cm}^2 ; T_r = -46,90 \text{ t} ; \bar{z} = 103,13 \text{ cm}$$

$$\rho'_a = \left( 1 - \frac{1}{3} \times \left( \frac{17,9}{26,07} \right)^2 \right) = 0,843 \Rightarrow \bar{\sigma}'_{at} = 3540 \text{ kg/cm}^2 ; \text{tg} 28 = \frac{2 \times 17,9}{28,8} = 1,243$$

$$\gamma = 25,59^\circ \Rightarrow \text{tg} \gamma = 0,479 ; t \leq 30,7 \text{ cm} ; \bar{t} = \begin{cases} 77,7 \text{ cm} \\ 92,12 \text{ cm} \\ 102 \text{ cm} \end{cases}$$

et comme  $\tilde{\omega}_t = 0,16\%$  on prend  $t = 25 \text{ cm}$ .

Armatures longitudinales :

nous appliquons l'article N°18 de l'IP1 : le pourcentage d'armatures longitudinales pourra être fixé à la moitié du pourcentage d'armatures transversales.

$$\tilde{\omega}_p = 0,5 \tilde{\omega}_t = 0,5 \times 0,16\% = 0,08\%$$

la section minimale est alors :

$$A_{\min} = S_a \times \omega_p = \frac{32 \times 130}{100} \times 0,08 = 3,33 \text{ cm}^2 \Rightarrow 6T10$$

Cadre du Talon :

Section médiane

$$\frac{\tilde{\omega}_t}{t} \geq c \frac{\bar{\sigma}_{2g}}{\bar{\sigma}_{en}} \times 100 ; \frac{\tilde{\omega}_t}{t} \geq \frac{3,2 \times 31}{4200} \times 100 = 2,36 ;$$

$$t \leq \frac{\tilde{\omega}_t}{2,36} = 47,84 \text{ cm} \text{ d'où } t = 25 \text{ cm}$$

Section d'about :

$$c \geq 1,3 D \quad (D = \text{diamètre d'une gaine})$$

$$c \geq 1,3 \times 6,6 = 8,58 \text{ cm} \quad \text{d'où } c = 9 \text{ cm}$$

$$\frac{\tilde{\omega}_t}{t} \geq 9 \times \frac{31}{4200} \times 100 = 6,64 \Rightarrow t = \frac{\tilde{\omega}_t \times 100}{6,64} = 17 \text{ cm}$$

Nous prenons  $t = 15 \text{ cm}$ .



## VERIFICATION A LA RUPTURE

C'est une vérification que préconise l'IpI (page 44) afin de s'assurer que si les surcharges augmentent de 80% l'ouvrage ne perit pas.

Securité à la rupture en flexion :

Moment de rupture par les aciers :

$$M_{RA} = 0,9 h w R_g \quad \text{avec} \quad h = \text{hauteur utile}$$

$w = \text{section d'aciers}$

$$M_{RA} = 0,9 \times 141,85 \times 38,92 \times 18500$$

$R_g = \text{contrainte de rupture garantie}$

$$M_{RA} = 919,21 \text{ tm}$$

$M_{RA} = \text{moment de rupture de l'acier}$

$M_f = \text{moment de fissuration calculé avec une traction ultime : } 2\sigma_n = 2 \times 31 \times 62 \text{ kg/cm}^2$   
pour la fibre inférieure on prend :  $\sigma = \sigma_p + \sigma_n$  ; ( $\sigma_p = \text{contrainte due à la précontrainte}$ )

$$\sigma_p = 319,234 \text{ kg/cm}^2 ; \quad \sigma = 319,234 + 62 = 381,234 \text{ kg/cm}^2$$

$$M_f = \sigma \frac{I}{v_i} = 381,234 \times \frac{1757614,96}{108,335} = 61850857,16 \text{ kg/cm}^2 = 618,5 \text{ tm.}$$

$M_f < M_{RA} \Rightarrow \text{la condition à vérifier est : } M_G + 1,8 M_Q \leq 0,9 M_{RA}$

$$M_G + 1,8 M_Q = 689,812 \text{ tm}$$

$$0,9 M_{RA} = 827,289 \text{ tm}$$

$\Rightarrow M_G + 1,8 M_Q < 0,9 M_{RA}$ , la condition est vérifiée.

Securité par rapport au béton :

Condition à vérifier :  $M_G + 1,8 M_Q \leq 0,7 M_{RB}$

$$M_G = 241,99 \text{ tm} ; \quad M_Q = 248,79 \text{ tm}$$

$M_{RB} = \text{moment de rupture du béton} ; \quad M_{RB} = M_{RB1} + M_{RB2} \text{ avec :}$

$$M_{RB1} = 0,35 b_0 h^2 \sigma_n \quad (\text{relatif à l'âme})$$

$$M_{RB2} = \min \begin{cases} 0,8 (b - b_0) x h_0 \times \left(\frac{h - h_0}{2}\right) \sigma_n \\ 0,35 (b - b_0) x h^2 \times \sigma_n \end{cases} \quad (\text{relatif à l'hourdis})$$

$h = h_f - d' = 150 - 8,15 = 141,85 \text{ cm}$  (mi-travée) ;  $b = 219 \text{ cm}$  ;  $b_0 = 18 \text{ cm}$  ;  $\sigma_n' = 400 \text{ kg/cm}^2$

$$M_{RB1} = 507,06 \text{ tm} ; \quad M_{RB2} = 1696,12 \text{ tm} \Rightarrow M_{RB} = 2203,18 \text{ tm} \text{ et } 0,7 M_{RB} = 1542,22 \text{ tm}$$

$$M_G + 1,8 M_Q = 241,99 + 1,8 \times 248,79 = 689,812 \text{ tm} \text{ donc } M_G + 1,8 M_Q < 0,7 M_{RB}$$

Securité à la rupture par l'effort tranchant (section d'about) :

Compression des bielles (Ip1 art. 14)

$$\text{Condition de sécurité : } \sigma = \frac{2\tau}{\sin 2\alpha} \leq 0,5 \sigma_{28}'$$

l'effort tranchant réduit est :  $T_r = T_G + 1,8 T_Q - V$  ;  $T_G = 39,5 \text{ t}$  ;  $T_Q = 39,0 \text{ t}$  ;  $V = 30,53 \text{ t}$

on trouve :  $T_r = 79,181 \text{ t}$

$$\tau = \frac{T_r}{b_0 z} = \frac{79,181 \times 10^3}{25,4 \times 107,21} = 29,07 \text{ kg/cm}^2$$

$$\tan 2\alpha = \frac{2\tau}{\sigma_g} = \frac{2 \times 29,07}{19,67} = 2,956 ; \quad \alpha = 35,65 ; \quad \sin 2\alpha = 0,947 ; \quad \sigma = 61,39 \text{ kg/cm}^2$$

donc on a bien  $\sigma < 0,5 \sigma_{28}' = 200 \text{ kg/cm}^2$ .

Resistance des armatures transversales :

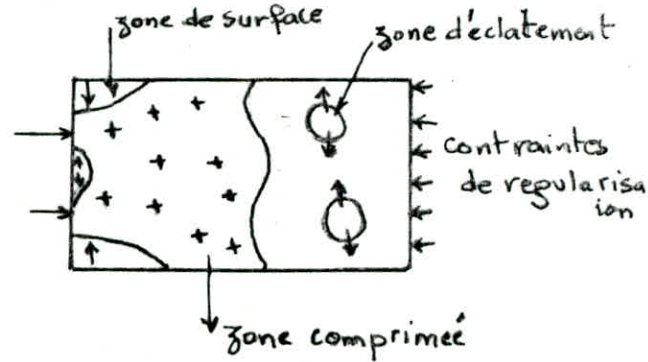
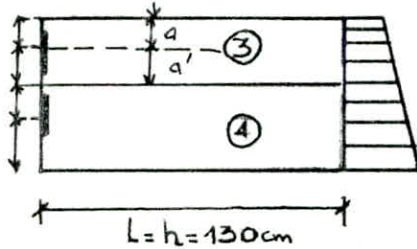
$$\text{la condition de sécurité est : } \sigma_a' = \frac{t \cdot T_r \cdot \tan \alpha}{A_t \cdot z} = \frac{14 \times 79181 \times 0,717}{1,57 \times 107,21} = 4722,070 \text{ kg/cm}^2$$

$$\sigma_a' \leq 1,2 \sigma_{enf} = 1,2 \times 4200 = 5040 \text{ kg/cm}^2 \text{ donc cela est vérifié avec } t = 14 \text{ cm}$$

# VERIFICATION DE LA ZONE D'ABOUT

Introduction : les fortes compressions appliquées localement au béton par les ancrages entraînent l'apparition de contraintes et de déformations importantes qui ne peuvent plus être justifiées selon les règles habituelles de la résistance des matériaux.

Détermination des efforts :



③ prisme associé à l'ancrage du câble ③

④ prisme associé à l'ancrage du câble ④

$a, a'$  : distances de l'ancrage aux bords du prisme qui lui est associé

$L$  : zone de régularisation des contraintes supposées égale à la hauteur de la poutre.

EFFORT de surface  $T_3$  et calcul des frettes :

la théorie de M. Guyon nous donne :

$$T_3 = \left[ 0,04 + 0,2 \left| \frac{a-a'}{a+a'} \right|^3 \right] \cdot F \quad \text{avec } F = \text{Force utile du câble ; } F=118,56t$$

On trouve :  $T_3 = 4,930t \Rightarrow A = \frac{T_3^{\max}}{\bar{\sigma}_a}$  avec  $\bar{\sigma}_a = \frac{2}{3} \times 2400 = 1600 \text{ kg/cm}^2$  (acier doux)  
 $A = 3,081 \text{ cm}^2$ .

Adoption de Frette verticale en  $\phi 10$  et une frette horizontale en  $\phi 10$  aussi

EFFORT d'éclatement ( $T_e$ ) :

designons par :  $a_1$  = largeur d'ancrage

$2a$  = largeur du prisme fictif avec  $a < a'$ , si  $a > a'$  on prend  $2a'$ ,  $K$  = coefficient de réduction ;  $F$  = force utile du câble ;  $S$  = surface du prisme fictif,  $p$  = contrainte moyenne d'éclatement ;  $\sigma_{y \max}$  = contrainte maximale d'éclatement.

posons :

$$\gamma = \frac{a_1}{2a} ; p = \frac{F}{S} ; \text{ on a : } \sigma_{y \max} = 0,65 p (1-\gamma) \quad [\text{en kg/cm}^2] \quad \text{et } K = 1 - \left( \frac{8}{\sigma_{y \max}} \right)^2$$

la valeur de l'effort d'éclatement est évalué approximativement à partir du règle du prisme symétrique (prisme fictif).

$$T_e = \frac{F}{3} (1-\gamma) K$$

On trouve  $T_e = 21,40t$  ; les armatures nécessaire pour reprendre cet effort :  $A = 13,4 \text{ cm}^2$   
 on prend 9  $\phi 14$ , et on prend aussi un pourcentage de 0,3% d'armatures pour reprendre la poussée au vide :  $A = 12,48 \text{ cm}^2 \Rightarrow 8 \text{ cadres } \phi 10$ .

Contrainte maximale sous l'ancrage :

$$\bar{\sigma}'_{\text{lim}} = \frac{1}{1,6} \sigma'_d K \quad \text{avec } K = 1 + \left( 3 - \frac{a_1}{b_1} - \frac{a_2}{b_2} \right) \sqrt{\left( 1 - \frac{a_1}{b_1} \right) \left( 1 - \frac{a_2}{b_2} \right)}$$

plaque d'ancrage :  $24 \times 24 \text{ [cm}^2\text{]}$

contrainte admissible de compression :  $\sigma' = \frac{1}{1,6} \times 400 \times K = 250K \text{ [kg/cm}^2\text{]}$

prisme ③ : on prend  $a_1 = a_2 = 24 \text{ cm}$  ;  $b_1 = 32 \text{ cm}$  ;  $b_2 = 50 \text{ cm}$ ,  $\Rightarrow K = 1,64$

$$\bar{\sigma}'_3 = 250 \times 1,64 = 410 \text{ kg/cm}^2 > \frac{F}{S} = \frac{118,56 \times 10^3}{418} = 283,63 \text{ kg/cm}^2$$

prisme ④ :  $b_1 = 32 \text{ cm}$ ,  $b_2 = 60 \text{ cm}$

$$K = 1,72 \Rightarrow \bar{\sigma}'_4 = 430 \text{ kg/cm}^2 > \frac{F}{S}$$

$a_1, a_2$  : dimensions du prisme  
 $b_1, b_2$  : dimensions de la section du prisme ayant même c.d.g que la plaque.



# CALCUL DES DEFORMATIONS

## Liberté des déformations :

la mise en précontrainte d'une pièce engendre des déformations : flèches, rotations d'appuis, raccourcissements.

Il est impératif que ces déformations puissent librement se produire sous peine de modifier les effets de la précontrainte et par conséquent l'état de contrainte résultant dans les diverses sections de la pièce.

## Flèches et contre-flèches :

1) flèche due au poids propre propre :

elle est à mi-travée donnée par la relation suivante :  $f_g = \frac{q_g l^4}{384 EI}$  avec  $q_g = 3,24 \text{ t/ml}$

$$E = \frac{1}{3} E_i = \frac{1}{3} 420.000 = 140.000 \text{ kg/cm}^2, \quad l = 24,50 \text{ m}$$

$$I = 17576114,96 \text{ cm}^4 \Rightarrow f_g = 6,17 \text{ cm}$$

## Flèche due à la précontrainte :

la contrainte dans les fils au milieu :

• Contrainte de mise en tension initiale :  $12232,53 \text{ kg/cm}^2$   
 • Contrainte en service :  $10656,91 \text{ kg/cm}^2$

la contrainte moyenne sera :

$$\sigma'_m = \frac{12232,53 + 10656,91}{2}$$

$$\sigma_m = 11444,72 \text{ kg/cm}^2$$

la précontrainte par câble :  $P = 11444,72 \times 9,73 = 111357,13 \text{ kg}$

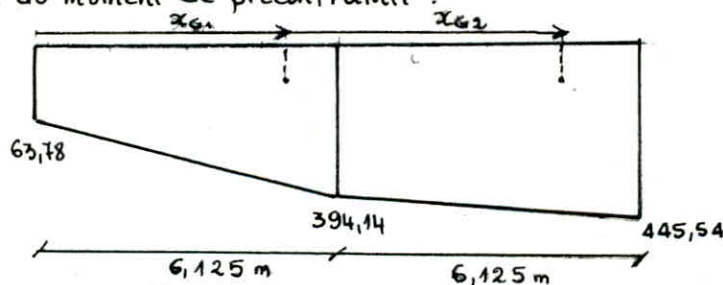
Section médiane :  $N = P \sum \cos \alpha_i = 111357,13 \times 4 = 445428,52 \text{ kg}$

Section au quart :  $N = P \sum \cos \alpha_i = 111357,13 \times 3,97 = 442867,30 \text{ kg}$

Section d'about :  $N = P \sum \cos \alpha_i = 111357,13 \times 1,975 = 219930,33 \text{ kg}$

Section	N(t)	e [m]	$M_p = N \cdot e$ [tm]
médiane	445,28	-1	-445,28
Quart	442,86	-0,89	-394,14
about	219,93	-0,29	-63,78

## Diagramme du moment de précontrainte :



$$x_{G_1} = 5,69 \text{ m}, \quad x_{G_2} = 10,81 \text{ m}$$

$$\text{aires des diagrammes : } A_1 = -1402,32 \text{ tm}^2; \quad A_2 = -2571,52 \text{ tm}^2$$

$$\text{moment statique : } S_{\Delta} = \sum x_{G_i} A_i; \quad S_{\Delta} = -35777,67 \text{ tm}^3$$

$$\text{la flèche due à la précontrainte est donnée : } f_p = \int_0^{L/2} \frac{M}{EI} x dx = \frac{1}{EI} \sum x_{G_i} A_i = \frac{-35777,67 \times 10^3 \times 10^6}{140.000 \times 17576114,96} =$$

$$f_p = -14,54 \text{ cm}$$

## Flèche de construction :

$$f_c = \frac{3}{4} (f_p - f_g) = \frac{3}{4} (14,54 - 6,17) = 6,27 \text{ cm}$$

## Flèche due aux surcharges :

la surcharge exceptionnelle est celle qui engendre un moment maximum à mi-travée,  $L/4$  donc automatiquement la flèche pour ce cas de surcharge est la plus défavorable.



Diagramme du moment dû à  $G_D$  :

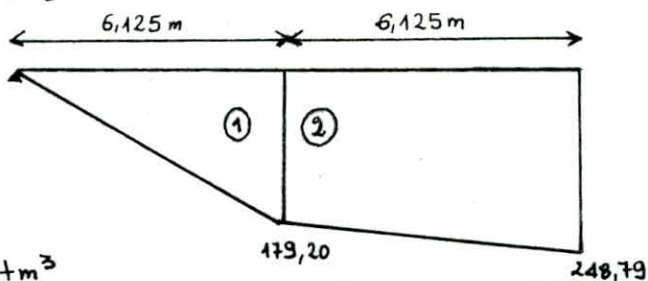
$$x_{G_1} = \frac{2}{3} \times 6,125 = 4,08 \text{ m}$$

$$x_{G_2} = 10,96 \text{ m}$$

$$A_1 = 548,8 \text{ tm}^2$$

$$A_2 = 1310,72 \text{ tm}^2$$

$$S_{\Delta} = \sum x_{G_i} A_i = 16604,6 \text{ tm}^3$$



la flèche est donnée par la relation suivante :  $f_Q = \frac{S_{\Delta}}{EI} = \frac{16604,6 \times 10^3 \times 10^6}{420.000 \times 17576114,9} = 2,25 \text{ cm}$ .

Flèche totale à mi-travée :

service à vide :  $f_1 = f_G + f_p + f_c = 6,17 - 14,54 + 6,27 = -2,1 \text{ cm}$ .

service en charge :  $f_2 = f_1 + f_Q = -2,1 + 2,25 = 0,15 \text{ cm}$ .

Rotation d'appui :

l'expression de la rotation est donnée par :  $\beta = \int_0^L \frac{M}{EI} x \, dx$

sous charge permanente :

$$\beta_G = \frac{q_G l^3}{24EI} = \frac{3,24 \times 10 \times (2450)^3}{24 \times 140000 \times 17576114,96} = 8,06 \times 10^{-3} \text{ rd}$$

sous la surcharge :

$$E = E_i = 420.000 \text{ kg/cm}^2 ; \int_0^L M \, dx = 2 (548,8 + 1310,72) = 3719,04 \text{ tm}^2$$

$$\beta_Q = \frac{1}{2EI} \int_0^L M \, dx = \frac{3719,04 \times 10^7}{2 \times 140.000 \times 17576114,96} = 0,0075 \text{ rd}$$

sous l'effort de précontrainte :

$$\int_0^L M \, dx = -2 (1402 + 2571,52) = -7947,8 \text{ tm}^2$$

$$\beta_p = \frac{1}{2EI} \int_0^L M \, dx \Rightarrow \beta_p = -0,016 \text{ rd}$$

Rotation totale :

service à vide :  $\beta = \beta_G + \beta_p = 8,06 \times 10^{-3} - 0,016 = -7,94 \times 10^{-3} \text{ rd}$

service en charge :  $\beta = \beta_G + \beta_p + \beta_Q = -7,94 \times 10^{-3} + 0,0075 = -4,4 \times 10^{-4} \text{ rd}$

Déplacement d'appui

déplacement dû à la rotation d'appui :

$$\Delta_{\beta} = \beta \cdot \frac{h_t}{2} ; \beta = \text{rotation d'appui} ; h_t = \text{hauteur de la poutre} \Rightarrow \Delta_{\beta} = -5,95 \text{ mm}$$

déplacement dû au fluage :

$$\Delta_f = \frac{L}{2} \frac{\sigma'_m}{E_r} \quad \text{on a } \sigma'_m = 143,4 \text{ kg/cm}^2 \Rightarrow \Delta_f = -0,025 \text{ m} = -25 \text{ mm}$$

Déplacement dû aux variations de température :

on prend une valeur moyenne :  $\Delta_t = \pm \frac{L}{10000} ; \Delta_t = \pm \frac{24,5 \times 10^3}{10000} = \pm 2,4 \text{ mm}$

Déplacement maximale :

les poutres sont préfabriquées et sont posées sur des appuis après un certain temps et après mise en tension :

$$\Delta_{\max} = \frac{2}{3} (\Delta_{\beta} + \Delta_r + \Delta_f) + \Delta_t = \frac{2}{3} (-5,95 - 4,9 - 25) - 2,4 = 26,3 \text{ mm}$$

p.s : le déplacement dû au retrait :

$$\Delta_r = -\epsilon_r \frac{L}{2} ; \epsilon = 4 \cdot 10^{-4} ; L = 24,5 \text{ m} \Rightarrow \Delta_r = -4,9 \text{ mm}$$

# JOINTS DE CHAUSSEE

RÔLE des joints : Les joints sont réalisés pour assurer la continuité de surface de circulation entre deux éléments d'un ouvrage en dépit de leurs déplacements relatifs dus à l'effet des écarts de température, aux retraites différenciés et aux rotations

choix du joint :

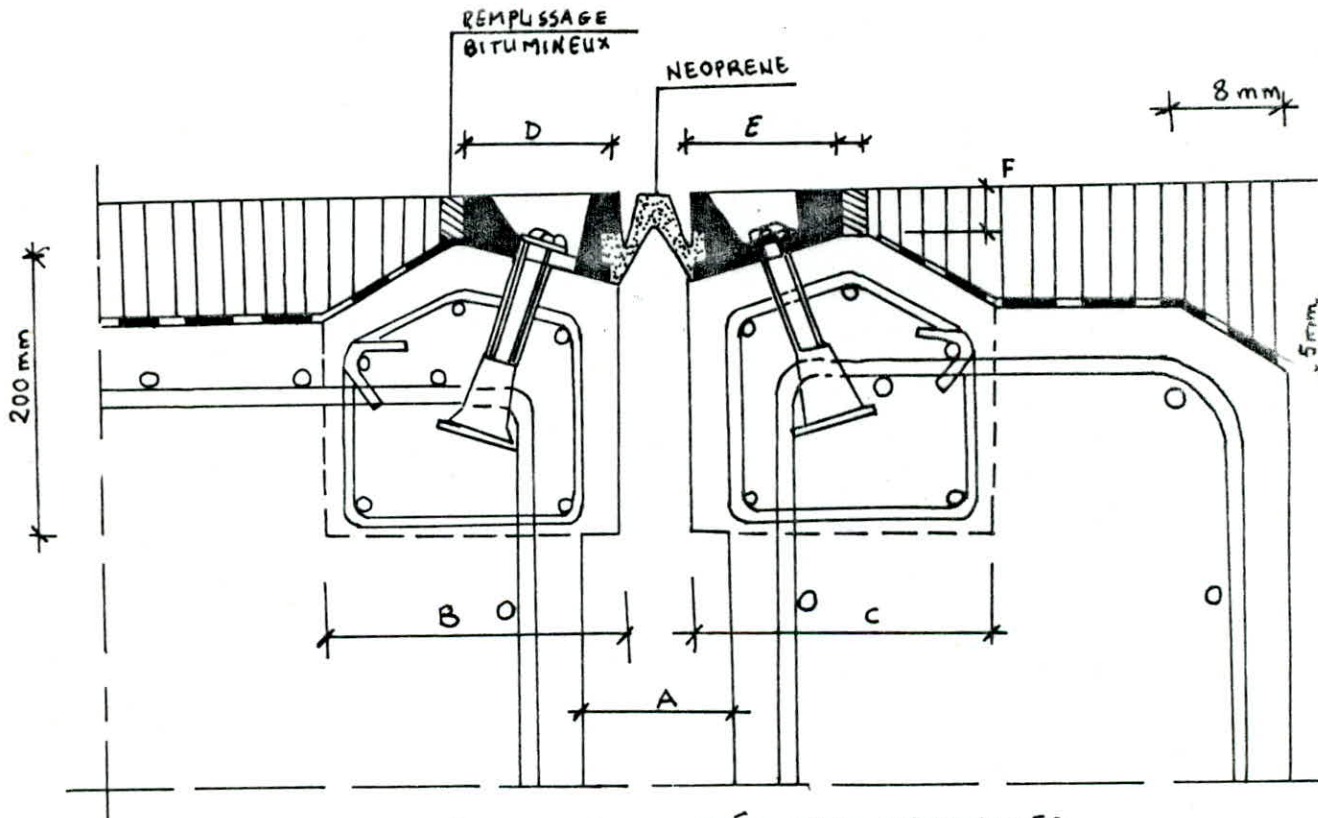
d'après le calcul des déformations, nous avons :

- Souffle max =  $\Delta_{max} = 26,3 \text{ mm}$

- Souffle min =  $\Delta_{min} = 2,4 \text{ mm}$

Nous choisissons des joints type MONOBLOC 50 système FREYSSINET INTERNATIONAL. Les caractéristiques de ces joints sont les suivantes :

A [mm]		B [mm]	C [mm]	D [mm]	E [mm]	F [mm]
min	max					
20	70	200	200	100	100	30



JOINT DE CHAUSSEE TYPE MONOBLOC 50

# ETUDE DES ENTRETOISES D'ABOUT

## Rôle des entretoises:

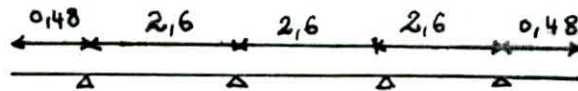
le rôle principal des entretoises est que une fois un appareil d'appui est rompu on doit automatiquement le changer et pour le faire il faut soulever la partie du tablier qu'il supporte, pour cela on utilise des vérins qui prennent appui sur les entretoises d'about.

les entretoises sont ancrées dans les poutres et assure une bonne sécurité vis-à-vis de la torsion pour celle-ci.

L'entretoise d'about se calcule comme une poutre continue dont les appuis sont les vérins.

## Disposition des vérins:

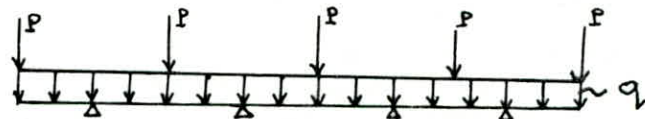
les vérins sont placés de manière à éviter l'effet de console aux extrémités des entretoises lors du soulèvement.



les vérins disponibles à l'entreprise sont du type SICET, de charge admissible de 100t.

## calcul des efforts:

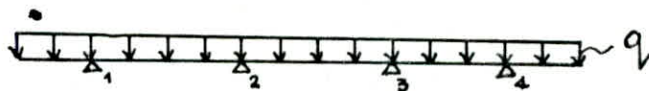
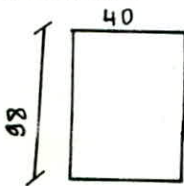
l'entretoise est soumise à son poids propre comme charge uniformément répartie et aussi à la moitié des charges du tablier qui sont transmises à l'entretoise par les poutres comme charges concentrées.



Sous l'effet de la charge uniforme

$$q = 0,4 \times 0,98 \times 2,5 = 0,98 \text{ t/ml}$$

section de l'entretoise:



On applique la relation des trois moments:

$$M_1 = M_4 = -\frac{q l^2}{2} = -\frac{0,98 \times 0,48^2}{2} = -0,113 \text{ tm}$$

$$\left. \begin{aligned} M_1 l + 4 M_2 l + M_3 l &= -\frac{6}{l} (\alpha_2 \alpha_2 + \alpha_3 \alpha_3) \\ M_2 l + 4 M_3 l + M_4 l &= -\frac{6}{l} (\alpha_3 \alpha_3 + \alpha_4 \alpha_4) \end{aligned} \right\} \Leftrightarrow \left. \begin{aligned} 4 M_2 + M_3 &= -3,199 \\ 4 M_3 + M_2 &= -3,199 \end{aligned} \right\} \rightarrow$$

$$M_2 = M_3 = -0,813 \text{ tm} \text{ et } R_1 = 1,706 \text{ t}; R_2 = 2,586 \text{ t}; R_3 = 2,586 \text{ t}; R_4 = 1,706 \text{ t}$$

charges concentrées:

chaque poutre transmet une charge concentrée de valeur:  $p = \frac{G}{2}$  où  $G$  = poids propre du tablier dans les entretoises d'about par travée.

$$p = 41,36 \text{ t}$$

on applique également la relation des 3 moments pour les appuis ② et ③ et les résultats sont:

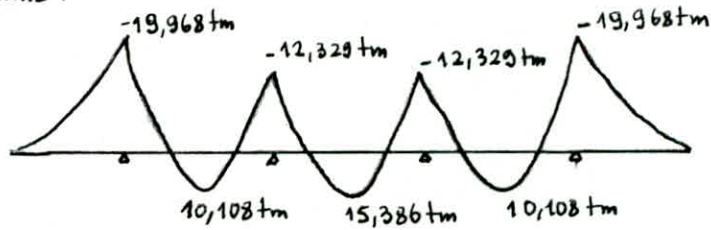
$$M_1 = M_4 = -19,855 \text{ tm} \text{ et } M_2 = M_3 = -12,116 \text{ tm}$$

$$R_1 = 58,5 \text{ t}; R_2 = 44,91 \text{ t}; R_3 = 44,91 \text{ t}; R_4 = 58,5 \text{ t}$$

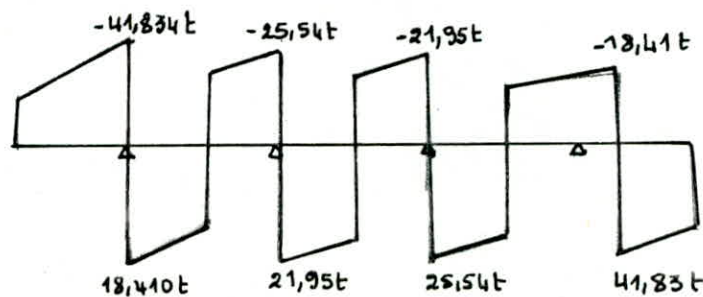


Une fois les efforts déterminés pour les deux cas de chargements on les cumule et les résultats sont les suivants :

moment flechissant :



Effort tranchant :



Ferraillage de l'entretoise :

moment en travée :  $M = 15,386 \text{ tm}$

$$\mu = \frac{15M}{\bar{\sigma}_a \times b \times h^2} = 0,023 \Rightarrow K = 60 \text{ et } \epsilon = 0,9384$$

$$\text{donc } A = \frac{M}{\bar{\sigma}_a \cdot \epsilon \cdot h} = 6,40 \text{ cm}^2 \Rightarrow 4T16 \quad (A = 8,04 \text{ cm}^2)$$

Verification à la fissuration :

$$\tilde{\omega}_f = \frac{A}{2db} = \frac{8,04}{2 \times 4 \times 40} = 0,03 \quad ; \quad \sigma_1 = K \frac{\eta}{\phi} \frac{\tilde{\omega}_f}{1 + 10 \tilde{\omega}_f} \text{ et } \sigma_2 = 2,14 \sqrt{K \frac{\eta}{\phi} \bar{\sigma}_b}$$

avec  $\eta = 1,6$  ;  $K = 10^6$  (fissuration préjudiciable) ;  $\bar{\sigma}_b = 7,5 \text{ bars}$  ;  $\phi = 16 \text{ mm}$   
on trouve :

$$\sigma_1 = 2008 \text{ Kg/cm}^2 \quad ; \quad \sigma_2 = 2078,46 \text{ Kg/cm}^2 \text{ on refait le calcul avec } \bar{\sigma}_a = \sigma_2$$

$$\bar{\sigma}_a = 2078,46 \text{ Kg/cm}^2 \text{ on trouve : } \mu = 0,0314 \Rightarrow K = 50,5 \quad ; \quad \epsilon = 0,9237 \Rightarrow A = 8,52 \text{ cm}^2$$

d'où  $A = 5T16$  ( $10,05 \text{ cm}^2$ )

moment sur appui :

$$M_{\max} = 19,968 \text{ tm} \quad ; \quad \mu = 0,030 \Rightarrow K = 50 \quad ; \quad \epsilon = 0,9231$$

$$A = 8,397 \text{ cm}^2 \text{ soit } 5T16 \quad (A = 10,05 \text{ cm}^2)$$

verification à la fissuration :

$$\omega_f = 0,026 \Rightarrow \sigma_1 = 2078,6 \text{ Kg/cm}^2 \quad ; \quad \sigma_2 = 2078,4 \text{ Kg/cm}^2 \Rightarrow \bar{\sigma}_a = 2078,6 \text{ Kg/cm}^2$$

on trouve :  $\mu = 0,043$  ;  $K = 42$  ;  $\epsilon = 0,9123$  ;  $A = 11,446 \text{ cm}^2$

$$\text{Soit } 6T16 \quad (A = 12,06 \text{ cm}^2)$$

Armatures transversales :

$$\text{contrainte de cisaillement maximale : } \tau_b = \frac{T_{\max}}{b \cdot z} = \frac{41,834 \times 10^3}{40 \times \frac{7}{8} \times 92} = 12,992 \text{ Kg/cm}^2$$

$$\text{et } \bar{\tau}_b = 3,5 \bar{\sigma}_b = 26,25 \text{ Kg/cm}^2 \text{ donc : } \tau_b < \bar{\tau}_b \text{ car au niveau de l'appui } \sigma_b' < \bar{\sigma}_b'$$

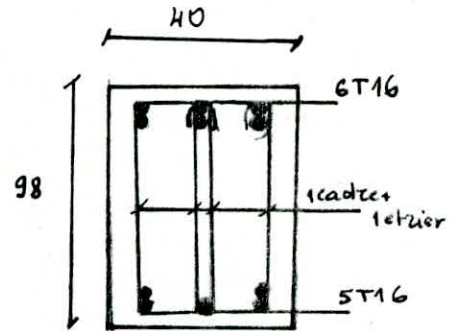
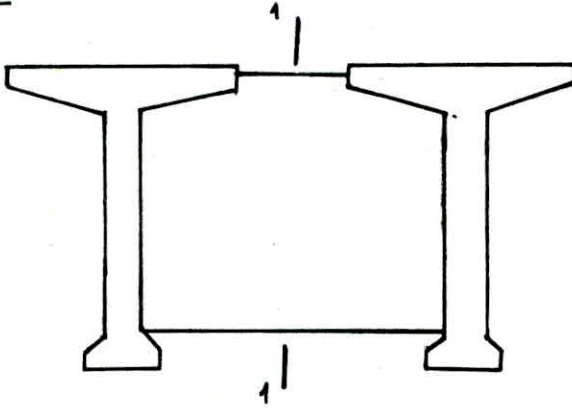
on choisit pour cela un cadre  $\phi 10$  et un étrier  $\phi 10$   
 les espacements des armatures droites

$$\text{espacement } t \leq \frac{A_t \cdot \bar{\sigma}_{at}}{T_{\max}} = \frac{3,14 \times \frac{7}{8} \times 92 \times 2800}{41,834 \times 10^3} = 20,93 \text{ cm}$$

$$\bar{t} = \max \left\{ 0,2 h; \left( 1 - 0,5 \frac{\sigma_b}{\sigma_b} \right) \right\} = 44 \text{ cm}$$

on choisit comme espacement  $t = 20 \text{ cm}$ .

Schémas:



Coupe 1-1

# DIMENSIONNEMENT DES APPAREILS

## D'APPUI

les appuis utilisés sont des appuis enrobés d'élastomère, dans ce type d'appui les toles de fretage sont complètement enrobés dans l'élastomère et l'aspect extérieur de l'appui est celui d'un bloc de caoutchouc ou de néoprène.

Le néoprène constituant les appareils d'appuis est peu compressible mais d'autre part il est très déformable par cisaillement (distorsion), ils permettent la dilatation ainsi que la torsion de la section d'appui dans toutes les directions.

charges sollicitant l'ensemble de l'ouvrage:

charges verticales:

culée:

$$y_1 = 1; y_2 = 0,939; y_3 = 0,755; y_4 = 0,571$$

$$y_5 = 0,51$$

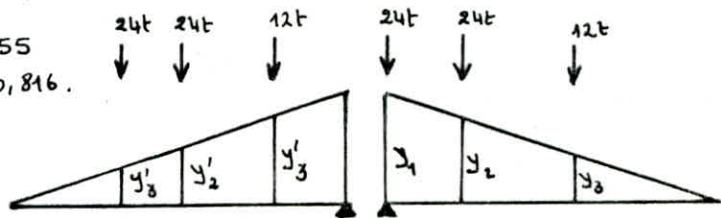
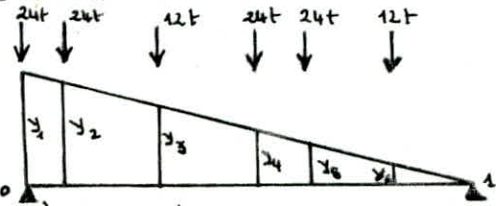
$$R_0 = 24(1 + 0,939 + 0,571 + 0,51) + 12(0,527 + 0,755) = 85,464 \text{ t}$$

pile:

$$y_1 = 1; y_2 = 0,939; y_3 = 0,755$$

$$y_4 = 0,571; y_5 = 0,633; y_6 = 0,816$$

$$R_0 = 70,28 \text{ t}$$



même procédé pour les autres chargements donts les résultats sont regroupés sur le tableau ci après:

charges appuis	G	A(l)	trottoir	Bc	M <sub>c120</sub>	C <sub>D</sub>	seisme verticale 0,07g
culée	229,56	108,13	5,70	85,46	96,03	148,86	± 16,07
Pile	459,12	216,26	11,39	70,28	104,73	190,22	± 32,14

accélération sismique:

$$E_v = 0,07$$

charges Horizontales:

vent: le vent souffle dans le sens normal à l'axe longitudinal du pont, il développe une pression  $p$  sur la surface exposée.

$$p = 0,25 \text{ t/m}^2 \Rightarrow \text{l'effort horizontal sera: } H_v = p \cdot L_p \cdot h \Rightarrow H_v = 49,96 \text{ t}$$

Freinage: les surcharges de chaussée A(l) et B<sub>c</sub> sont susceptibles de développer des réactions de freinage, la résultante sera supposée appliquée au centre de l'axe longitudinal du pont.

$$\text{effort de freinage développé par A(l)} = F_A = \frac{A}{20 + 0,0035 v} v \quad \text{avec } v = \text{surface chargée}$$

$$\text{donc: } A = 1216,29 \text{ kg/m}^2$$

$$\text{On trouve: } F_A = 10,13 \text{ t}$$

effort de freinage développé par B<sub>c</sub>: égale à 30t, poids d'un camion B<sub>c</sub>.

Seisme:

$E_H = 0,1$ ; coefficient d'accélération horizontal du seisme.

$$G = 18,075 \times 126,5 = 2286,57 \text{ t} \Rightarrow H_S = 0,1 \times 2286,57 = 228,65 \text{ t}$$

Variation linéaire du tablier:

Ce sont des déformations dues essentiellement au fluage, retrait et aux variations de température, des déformations qui ont un impact direct sur les appuis en créant des efforts horizontaux.



Retrait: on admet que 60% du retrait a lieu avant la mise en place des poutres prefabriquées.

$$\frac{\Delta l_r}{L_p} = -\frac{100-60}{100} \epsilon_r \Rightarrow -\Delta l_r = -40 \cdot \epsilon_r \times L_p = -40 \times 4 \cdot 10^{-4} \times 126,5$$

$$\Rightarrow \Delta l_r = -20,24 \text{ mm.}$$

fluage:

$$\frac{\Delta l_f}{L_p} = 3 \epsilon_i = \frac{3 \sigma'_m}{E_v} \Rightarrow \Delta l_f = \frac{3 \sigma'_m L_p}{E_v}$$

$$\Rightarrow \Delta l_f = 52,17 \text{ mm.}$$

avec  $E_v = 140\,000 \text{ kg/cm}^2$  (module de déformation lente du béton)  
 $\sigma'_m = 48,77 \text{ kg/cm}^2$  (contrainte au niveau de la fibre moyenne.)

température:

$$\Delta l_t = \pm \epsilon_{\Delta t} \times L_p \quad \epsilon_{\Delta t} \text{ est estimé à } 0,3\%$$

$$\text{d'où } \Delta l_t = \pm 0,0003 \times 126,5 \times 10^3 = -37,95 \text{ mm.}$$

total des variations linéaires dues au retrait, fluage, variations de température

$$\text{allongement: } \Delta l_{\max}^+ = 37,95 \text{ mm}$$

$$\text{Retrait: } \Delta l_{\max}^- = - (20,24 + 37,95 + 52,17) = -110,36 \text{ mm.}$$

Détermination des appareils d'appui:

Reaction d'appui:

$$\text{sous charge permanente} \dots \dots \dots 229,56 = 45,91 \text{ t}$$

$$\text{sous la surcharge } C_D \text{ (défavorable)} \dots \dots \dots 148,86 = 29,78 \text{ t}$$

Reaction maximale sous chaque appui:

$$R_{\max} = 45,91 + 29,78 = 74,97 \text{ t}$$

Reaction minimale sous chaque appui:

$$R_{\min} = 45,91 \text{ t}$$

choix des appareils d'appui:

pour les piles: 300/400/69 catalogue S.E.T.R.A

pour les cotés: 300/400/122

Ces appareils d'appui ont chacun une capacité de 100t et sont en élastomère frette.

Vérification des contraintes:

$$\sigma_{\max} = \frac{100 \times 10^3}{30 \times 40} = 83,33 \text{ kg/cm}^2 \quad \text{on doit avoir } \sigma_{\max} < \bar{\sigma}_m$$

$$\bar{\sigma}_m = \frac{74,97 \times 10^3}{30 \times 40} = 62,45 \text{ kg/cm}^2 > \sigma_{\max}$$

# REPARTITION DES EFFORTS

## HORIZONTALAUX

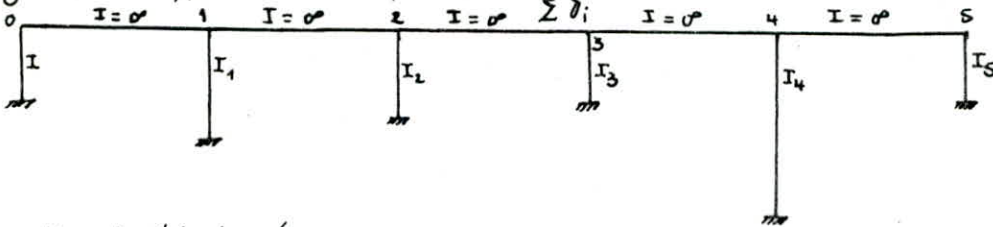
### Determination des rigidités :

Les efforts horizontaux seront répartis sur l'infrastructure en fonction de la rigidité des éléments la constituant. Le Tablier étant supposé infiniment rigide.

La déformation d'une pile ou d'une culée sous l'effet d'un effort horizontal unitaire est :

$$\sum \delta_i = \delta_1 + \delta_2 + \delta_3 \quad \text{avec :} \quad \begin{aligned} \delta_1 &= \text{déformation de l'élastomère} \\ \delta_2 &= \text{déformation des fûts de la pile ou de voiles de la culée} \\ \delta_3 &= \text{déformation de la fondation.} \end{aligned}$$

La rigidité d'un appui est donnée par :  $k = \frac{1}{\sum \delta_i}$



### Déformation de l'élastomère :

$$\delta_1 = \frac{T_r}{nGA} \quad \text{avec} \quad \begin{aligned} T_r &= \text{hauteur de l'élastomère} \\ G &= \text{module de cisaillement de l'élastomère (G = 10 kg/cm}^2\text{)} \\ A &= a \times b = 30 \times 40 = 1200 \text{ cm}^2 \text{ aire de l'élastomère.} \\ n &= \text{nombre d'appareils d'appui} \end{aligned}$$

Appareils d'appui au niveau de la culée :  $n=5$  ;  $T_r = 12,2 \text{ cm}$  ;  $\delta_{10} = \delta_{15} = 1,016 \text{ mm}$  .

Appareils d'appui au niveau de la pile :  $n=10$  ;  $T_r = 6,9 \text{ cm}$  ;  $\delta_{11} = \delta_{12} = \delta_{13} = \delta_{14} = 0,129 \text{ mm}$  .

### Déformation de la culée et de la pile :

les rigidités des voiles de la culée sont assez grande. Par ailleurs on admet que la déformation de la culée est nulle :  $\delta_{20} = \delta_{25} = 0$

la déformation d'un fût de la pile est :

$$\delta_{2i} = \frac{h_i^3}{3EI \times n} \quad \text{avec :} \quad \begin{aligned} n &= \text{nbre de fût} = 3 \\ E &= 21000 \sqrt{\sigma_{28}} = 363731 \text{ Kg/cm}^2 \\ I &= \text{Inertie d'un fût de la pile.} \\ E &= \text{module d'élasticité du béton.} \\ n &= \text{nbre de fût.} \end{aligned}$$

$h_1 = 16,145 \text{ m}$  ;  $h_2 = 14,018 \text{ m}$  ;  $h_3 = 10,118 \text{ m}$  ;  $h_4 = 19,518$  ;  $h_i = \text{hauteur de la pile.}$

on trouve :  $\delta_{21} = 0,516 \text{ mm}$  ;  $\delta_{22} = 0,333 \text{ mm}$  ;  $\delta_{23} = 0,127 \text{ mm}$  ;  $\delta_{24} = 0,913 \text{ mm}$

### Déformation de la fondation :

$$\delta(H=1) = \omega + \varphi h \quad \text{où} \quad \begin{aligned} \omega &: \text{déplacement en tête de pieu} \\ \varphi h &: \text{déplacement dû à la rotation de la fondation} \end{aligned}$$

Cette rotation et ce déplacement sont évalués à l'aide des Tableaux de HEINRICH-WERNER qui tiennent compte des caractéristiques du sol.

$$\text{on a : } EI\omega = \frac{\chi_\omega}{\lambda^2} M^* + \chi_{\omega p} \frac{P^*}{\lambda^3} \quad \text{et} \quad EI\varphi = \chi_{\varphi M} \frac{M^*}{\lambda} + \chi_{\varphi p} \frac{P^*}{\lambda^2}$$

Pour une fondation sur  $n$  pieux  $\Rightarrow$  pour chaque pieu :  $P^* = \frac{1}{n}$  et  $M^* = \frac{1 \cdot h}{n}$

$\lambda =$  paramètre dépendant du module de réaction du sol  $c_u$  et des caractéristiques de pieu :

$$\lambda = \frac{1}{\alpha} \quad \text{avec} \quad \alpha = \sqrt[4]{\frac{4EI}{c_u \cdot b}} \quad \alpha = \text{longueur élastique du pieu.} \quad b = \text{diamètre du pieu}$$

$c_u =$  module de réaction du sol

$I =$  moment d'inertie du pieu

$E =$  module de déformation

Instantané du béton.

Les tableaux de H. WERNER donnent :  $\chi_{\omega M^*}$ ,  $\chi_{\omega P^*}$ ,  $\chi_{\varphi M^*}$ ,  $\chi_{\varphi P^*}$  en fonction de  $\lambda l$  ( $l =$  longueur du pieu), de la variation de  $c_u$  dans le sol, du mode d'appui du pied du pieu.





deformation de la fondation de la pile :

On retient que pour une fondation reposant sur 2 files de pieux, la rotation en tête du pieu est considérée égale à 0 ( $\varphi = 0$ ) et  $p^* = \frac{1}{6} = 0,17 \text{ t}$ : effort tranchant en tête de pieu. le module de réaction du sol est estimé à  $\frac{6}{\lambda} = 6000 \text{ t/m}^3$ , la variation est supposée comme l'indique la figure ci-dessous.

En appliquant à notre cas :

$C_u = 60000 \text{ t/m}^3$ ;  $E = 3,64 \times 10^6 \text{ t/m}^2$ ,  $I = 0,102 \text{ m}^4$   
on trouve  $\alpha = 4,47 \text{ m} \rightarrow \lambda = 0,223 \text{ m}^{-1} \Rightarrow \lambda l = 3,122$   
avec  $l = 14 \text{ m}$ .

le Tableau de H. Wernner nous donne :  $\chi_{w_{M^*}} = -1,17$

$\chi_{w_{p^*}} = -1,52$ ;  $\chi_{\varphi_{M^*}} = 1,149$ ;  $\chi_{\varphi_{p^*}} = 1,17$ .

$$\Rightarrow EI\varphi = \chi_{\varphi_{M^*}} \frac{M^*}{\lambda} + \chi_{\varphi_{p^*}} \frac{p^*}{\lambda^2} = 0 \Rightarrow M^* = - \frac{\chi_{\varphi_{p^*}} p^*}{\chi_{\varphi_{M^*}} \lambda} \Rightarrow M^* = -0,60 \text{ tm}$$

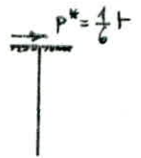
$$\text{et } EIw = \chi_{w_{M^*}} \frac{M^*}{\lambda^2} + \chi_{w_{p^*}} \frac{p^*}{\lambda^2} \Rightarrow w = 0,35 \times 10^{-5} \text{ m}$$



(ouvrage "Beton und Stahlbetonbau")

variation du module de réaction du sol le long du pieu.

$$\Rightarrow M^* = -0,60 \text{ tm}$$

Deformation de la fondation de la culée :

en tête de pieu l'effort tranchant est  $p^* = \frac{1}{8} = 0,125 \text{ t}$

$$\varphi = 0 \Rightarrow M^* = - \frac{\chi_{\varphi_{p^*}} p^*}{\chi_{\varphi_{M^*}} \lambda} = \frac{1,149 \times 0,125}{1,17 \times 0,223} = -0,714 \text{ tm}$$

et  $w = 3,8 \times 10^{-5} \text{ m}$ .

Répartition des efforts horizontaux aux piles et aux culées :

le pourcentage d'effort repris pour chaque appui est donné par l'expression suivante :

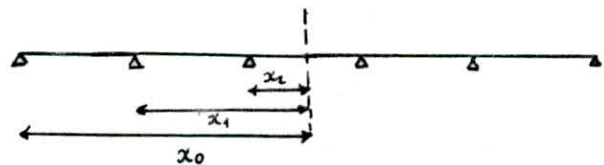
$$H_i \% = \frac{k_i}{\sum k_i} \quad \text{donc l'effort repris sera : } H_i = \frac{H \cdot k_i}{\sum k_i}$$

	abscisse $x \text{ [m]}$	élastiques $\delta_{2i} [10^{-5}]$	Pile, culée $\delta_{2i} [10^{-5}]$	Fondation $\delta_{3i} [10^{-2}]$	deformat. adh. $\frac{\delta_{2i}}{\delta_{3i}} [10^2]$	$k_i$	$H_i \%$	$k_i \cdot x_i$	Freinage $H_{fr} [t]$	Scisme $H_{scisme} [t]$
culée 0	0	101,6	0	3,8	105,4	0,0095	11,91	0	3,573	27,23
pile 1	25	29	51,6	0,35	80,95	0,0124	15,55	0,31	4,606	35,55
pile 2	50,5	29	33,3	0,35	62,65	0,0160	20,00	0,808	6,000	45,73
pile 3	76	29	12,7	0,35	42,05	0,024	30,11	1,824	9,033	68,85
pile 4	101,5	29	9,3	0,35	120,65	0,0083	10,41	0,842	3,123	23,80
culée 5	126,5	101,6	0	3,8	105,4	0,0095	11,91	1,202	3,573	27,23
					$\Sigma$	0,0797	100	4,986	30	228,66

Effort horizontal engendrés par la variation linéaire du Tablier :

la section du tablier qui ne subit aucun de déplacement est donné par cet abscisse :

$$x_0 = \frac{\sum k_i x_i}{\sum k_i} = \frac{4,98}{0,08} = 62,25 \text{ m}$$



la variation linéaire d'un point distant de  $x_i$  du centre de déplacement est :  $U_{Li} = \Delta L_{\max} \cdot \frac{x_i}{L}$   
avec  $\Delta L_{\max} = 110,36 \text{ mm}$  (variation linéaire maximale due à la température, au fluage et au retrait)

Cette variation linéaire engendre sur l'appui un effort horizontal :

$$H_{V_i} = \frac{n \cdot G \cdot U_L \cdot a \cdot b}{T_r}$$

$a, b, G, T_r$  caractéristiques des appareils d'appuis.

pour chaque pile :  $H_{V_{p1}} = 57,3 \text{ t}$ ;  $H_{V_{p2}} = 19,11$  ;  
pour chaque culée :  $H_{V_c} = 27,07 \text{ t}$ .

$n = \text{nbre d'appareils d'appuis}$ .



64  
VERIFICATION DES APPAREILS  
D'APPUI

1. Verification au cisaillement

1.1 - Sous variation lineaire :

Condition à verifier :  $\tau_{H_1} = G \tan \delta_1 \leq 0,5 G \Leftrightarrow \tan \delta_1 \leq 0,5$

pour la pile :  $U_L = 33,23 \text{ mm}$  ;  $T_r = 69 \text{ mm} \Rightarrow \tan \delta_1 = \frac{U_L}{T_r} = \frac{33,23}{69} = 0,48 < 0,5$

pour la culée :  $U_L = 55,05 \text{ mm}$  ;  $T_r = 122 \text{ mm} \Rightarrow \tan \delta_1 = 0,45 < 0,5$



1.2 Sous variation lineaire + freinage :

Condition à verifier :  $G \tan \delta_1 + \frac{H_{fr}}{nab} \leq 0,7 G \Leftrightarrow \tan \delta_1 + \frac{H_{fr}}{nabG} \leq 0,7$

pile :  $n = 10$  ;  $H_{fr} = 8,75 \text{ t}$  ;  $U_{L2} = 10,99 \text{ mm} \Rightarrow \tan \delta_1 + \frac{H_{fr}}{nabG} = \frac{10,99}{69} + \frac{8,75 \times 10^3}{10 \times 1200 \times 10} = 0,23 < 0,7$

culée :  $n = 5$  ;  $H_{fr} = 4,93 \text{ t}$  ;  $U_{L0} = 55,05 \text{ mm} \Rightarrow \tan \delta_1 + \frac{H_{fr}}{nabG} = \frac{55,05}{122} + \frac{4,93 \times 10^3}{5 \times 10 \times 1200} = 0,54 < 0,7$

1.3 sous variation lineaire + freinage + Seisme :

condition à verifier est :  $G \tan \delta_1 + \frac{H_{fr}}{2nab} + \frac{H_s}{2nab} \leq 1,3 G \Leftrightarrow \tan \delta_1 + \frac{H_{fr}}{2G \cdot n \cdot a \cdot b} + \frac{H_s}{2G \cdot n \cdot a \cdot b} \leq 1,3$

pile :  $H_s = 66,78 \text{ t} \Rightarrow \tan \delta_1 + \frac{H_{fr}}{2nabG} + \frac{H_s}{2nabG} = 0,8 < 1,3$

culée :  $H_s = 37,6 \text{ t} \Rightarrow \tan \delta_1 + \frac{H_{fr}}{2nabG} + \frac{H_s}{2nabG} = 0,81 < 1,3$

1.4 Sous charge verticale + charge horizontale + rotation d'appui :

condition à verifier :  $\tau = \tau_N + \tau_H + \tau_\alpha \leq 5 G$

$\tau_N = 1,5 \frac{\sigma_{max}}{\beta}$  (contrainte de cisaillement due à la charge verticale) ;  $\sigma_{max} = 62,45 \text{ kg/cm}^2$

$\beta = \frac{a \cdot b}{2t(a+b)}$  (coefficient de forme de l'appareil d'appui)

$t =$  epaisseur d'un feuillet élémentaire de l'elastomere ( $t = 10 \text{ mm}$ )  $\Rightarrow \beta = 8,57 \Rightarrow \tau_N = 10,93 \text{ kg/cm}^2$

$\tau_H = G \tan \delta_1 + \frac{H_{fr}}{2nab} + \frac{H_s}{2nab} = 8,1 \text{ kg/cm}^2$

$\tau_\alpha = \frac{1}{2} \frac{a^2}{t^2} \frac{\alpha_T + \alpha_0}{n} G$  avec  $\alpha_0 =$  rotation due aux imperfections de l'appareil d'appui et aux defauts d'execution :  $\alpha_0 = \frac{1}{100} \text{ rd}$

$\alpha_T =$  rotation d'appui en service :  $\alpha_T = 0,0066 \text{ rd}$

$n =$  nbre de feuillets d'elastomere par appareil d'appui :  $n = 9$

donc  $\tau_\alpha = \frac{1}{2} \left(\frac{40}{1}\right)^2 \cdot \frac{0,0066 + 0,01}{9} \times 10 = 14,75 \text{ kg/cm}^2$

$\tau = 10,93 + 8,1 + 14,75 = 33,79 \text{ kg/cm}^2 < 5G = 50 \text{ kg/cm}^2$

2. Condition de Non glissement :

la condition à verifier est :  $H \leq f \cdot N$

$f = 0,1 + \frac{6}{\sigma_{max}} + 0,15$  ;  $f$  : etant le coefficient de frottement total ;  $f = 0,346$

$N = R_{min} = 45,19 \text{ t}$

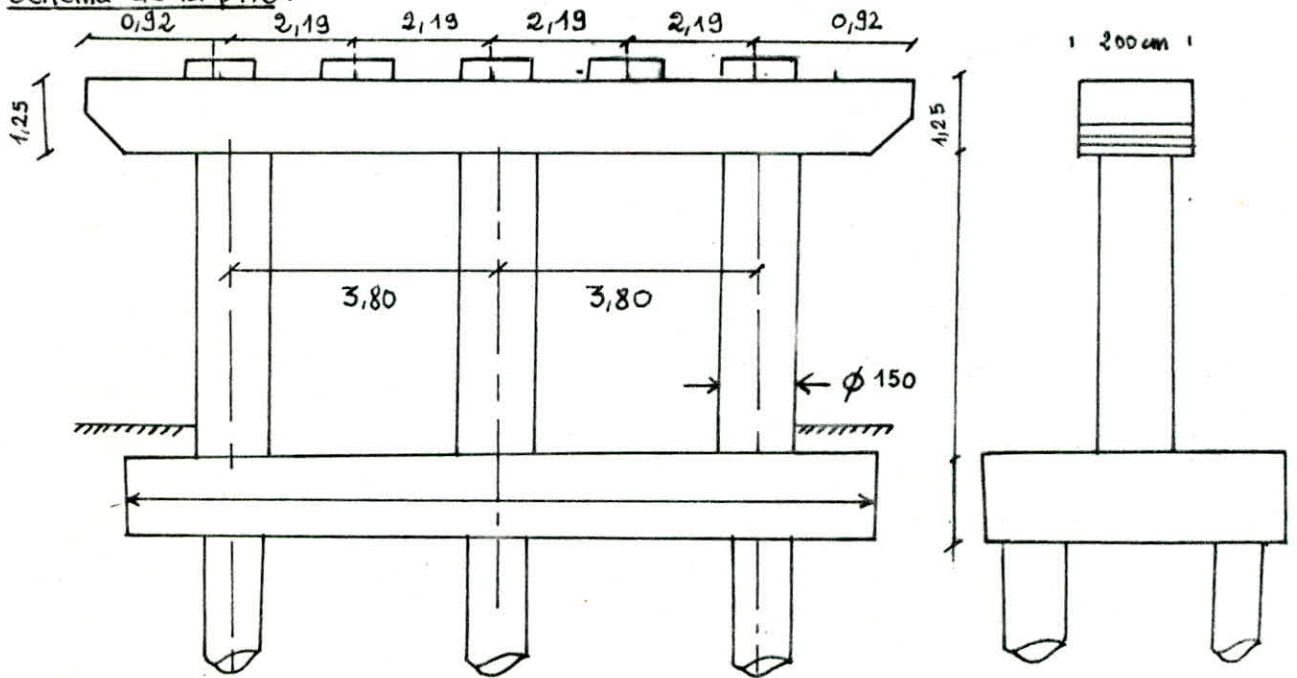
pour la culée :  $H = \frac{1}{10} [H_{fr} + H_s + H_{vl}] = \frac{1}{10} [4,93 + 37,6 + 27,07] = 13,92 \text{ t} < f \cdot N = 15,64 \text{ t}$

pour la pile :  $H = \frac{1}{10} [H_{fr} + H_s + H_{vl}] = \frac{1}{10} [8,75 + 66,78 + 57,8] = 13,33 < f \cdot N = 15,64 \text{ t}$

le choix est correct, toute les verifications sont satisfaites.

## ETUDE DE LA PILE

Schema de la pile:



Etude du chevêtre:

le chevêtre est conçu de manière à résister à son propre poids ainsi qu'aux surcharges provenant du tablier. Il repose sur trois appuis qui sont les fûts et pour cela il sera calculé comme une poutre continue reposant sur trois appuis.

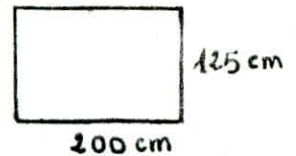
Son rôle principal est de répartir équitablement les efforts provenant du tablier vers les fûts et aux fondations.

Evaluation des efforts:

$$\text{poids propre du chevêtre : } q_G = 1,25 \times 2 \times 2,5 = 6,25 \text{ t/m}$$

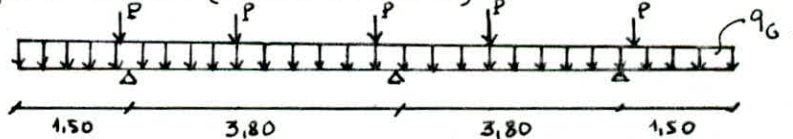
$$\text{poids propre du tablier dans chaque poutre : } \frac{459,12}{5} = 91,82 \text{ t}$$

$$\text{Surcharge revenant à la poutre : } \frac{216,26}{5} = 43,25$$

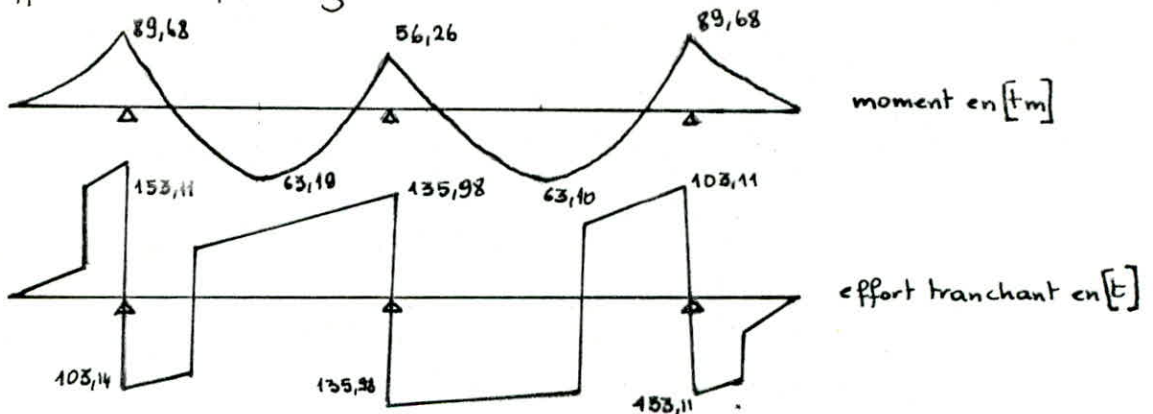


$$\text{Charge concentrée : } p = P_G + 1,2 P_S = 143,73 \text{ t}$$

Schema statique du chevêtre (condition normale):



après avoir appliqué la méthode des 3 moments pour la détermination de ceux-ci, ainsi que l'effort tranchant, les diagrammes obtenus sont :



En condition sismique : (combinaison du second genre: S:G+p+SI), on trouve  $s=141,53t$  qui est inférieure à la condition normale qui sera prise pour le ferrailage du chevetre:

moment maximum sur appui :  $M_{max} = 89,68 \text{ tm}$   
 moment maximum sur la travée :  $M_{max} = 63,19 \text{ tm}$   
 et  $T_{max} = -153,11 \text{ tm}$ .

Ferrailage:

methode de charon:

Armatures supérieures :  $M_{max} = 89,68 \text{ tm}$  (sur appui)  
 $h = 125 - 6 = 119 \text{ cm}$  ;  $\mu = \frac{15 M}{\bar{\sigma}_a b h^2} = \frac{15 \times 89,68 \times 10^5}{2800 \times 200 \times 119^2} = 0,017$

$\mu = 0,017 \rightarrow K = 72,0$  ;  $\varepsilon = 0,9425$  ce qui donnera une section d'acier :  $A = \frac{M}{\varepsilon h \bar{\sigma}_a}$

$A = 28,66 \text{ cm}^2$  on prend 9T20 comme armatures superieure.

verification a la fissuration :  $\sigma_1 = K \frac{\mu \tilde{\omega}_f}{\phi + 10 \tilde{\omega}_f}$  ;  $\sigma_2 = 2,4 \sqrt{\frac{n K \bar{\sigma}_b}{\phi}}$

$K = 10^6$  ;  $n = 1,6$  ;  $\tilde{\omega}_f = \frac{A}{b \phi} = 0,0109 \Rightarrow \sigma_1 = 787,36 \text{ kg/cm}^2$  ;  $\sigma_2 = 1859 \text{ kg/cm}^2$

$\bar{\sigma}_a = \min \left\{ \frac{2}{3} \sigma_{cn} ; \max(\sigma_1, \sigma_2) \right\} = 1859 \text{ kg/cm}^2$  ; la section d'acier sera calculée avec  $\bar{\sigma}_a = 1859 \text{ kg/cm}^2$

On trouve  $\mu = 0,0255 \rightarrow K = 57,0$  ;  $\varepsilon = 0,9306$  ;  $A = 43,56 \text{ cm}^2$  on prend 14T20 ( $n = 43,98 \text{ cm}^2$ )  
 les contraintes vis a vis du beton sont verifiees.

Armatures inferieures :  $M = 63,19 \text{ tm}$ .

$h = 125 - 5 = 120 \text{ cm} \rightarrow \mu = 0,0117 \rightarrow K = 88,5$  ;  $\varepsilon = 0,9517 \Rightarrow A = 19,76 \text{ cm}^2$  on prend 7T20  $\rightarrow A = 21,99 \text{ cm}^2$

Effort tranchant:

$T_{max} = 153,17 \text{ t}$

calcul de la contrainte de cisaillement :  $\tau_b = \frac{T}{b \cdot z} = \frac{153,17 \times 10^3}{200 \times \frac{7}{8} \times 119} = 7,35 \text{ kg/cm}^2$ .

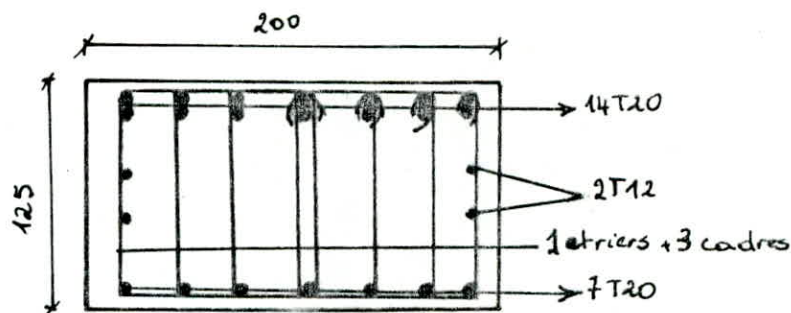
$\bar{\tau}_b = 3,5 \bar{\sigma}_b = 3,5 \times 7,5 = 26,25 \text{ kg/cm}^2 \Rightarrow \tau_b < \bar{\tau}_b$

on aura a calculer les armatures transversales:

$S_{at} = \max \left[ \left( 1 - \frac{\tau_b}{\bar{\tau}_b} \right) ; \frac{2}{3} \right] = 0,8995$  ;  $\sigma_{cn} = 4200 \text{ kg/cm}^2 \Rightarrow \bar{\sigma}_{at} = 3778 \text{ kg/cm}^2$

$\bar{t} = \min \left\{ 0,2h ; \left( 1 - 0,13 \frac{\tau_b}{\bar{\tau}_b} \right) h \right\} = 25,8 \text{ cm}$

on prend  $t = 25 \text{ cm}$ .





Etude des fûts :

les charges et surcharges du tablier sont transmises au chevêtre qui les répartie équitablement sur les fûts de la pile, sans pour cela omettre les charges horizontales provenant des effets du seisme; de la température, du freinage ainsi que le vent. Ces efforts provoquent un moment fléchissant et un effort tranchant à la base du fût.

Efforts à la base du fût :

CONDITION NORMALE	EFForts Horizontaux H [t]	EFForts Verticaux N [t]	d (m)	moments
Chevêtre		53,05		
Fûts		258,70		
poids propre du tablier		431,74		
Surcharge $C_D$		272,82		
Variation linéaire du Tablier	57,8		20,768	1200,39
Freinage	3,124		20,768	58,99
Vent	23,02		10,384	239,04

Combinaison du 1<sup>er</sup> genre :  $G + p + v + T$

$$(1) \begin{cases} N_{\min} = 743,9t \\ H = 80,82t \\ M = 1439,43tm \end{cases}$$

$$(2) \begin{cases} N_{\max} = 1016,31t \\ H = 57,8t \\ M = 1200,39tm \end{cases}$$

Efforts à la base de chaque fût :

$$\begin{cases} N'_{\min} = 247,83t \\ H' = 26,9t \\ M' = 479,81t \end{cases}$$

$$\begin{cases} N'_{\max} = 338,77t \\ H' = 19,26t \\ M' = 400,13tm \end{cases}$$

CONDITION SISMIQUE	H [t]	N [t]	d [m]	M <sub>0</sub> [tm]
Chevêtre : 53,05 $\begin{cases} 1,07 \\ 0,93 \end{cases}$		56,76 49,33		
Fûts : 258,70 $\begin{cases} 1,07 \\ 0,93 \end{cases}$		276,809 240,591		
Tablier : 431,74 $\begin{cases} 1,07 \\ 0,93 \end{cases}$		461,96 401,52		
Surcharge $C_D$		272,82		
Variation linéaire du tablier	57,8		20,768	1200,39
Freinage	3,124		20,768	58,99
Seisme : $[2,4 + 0,1(53,05 + 258,8)]$	55		16,94	931,70

Combinaison du second genre :  $G + p + SI + T$

$$\begin{cases} N_{\min} = 691,44t \\ H = 115,4t \\ M = 2186,07t \end{cases} \quad \begin{cases} N_{\max} = 1068,35t \\ H = 112,8t \\ M = 2132,09tm \end{cases}$$

→ efforts à la base de chaque fût :

$$\begin{cases} N'_{\min} = 230,5t \\ H' = 38,46t \\ M' = 728,69tm \end{cases} \quad \begin{cases} N'_{\max} = 356,11t \\ H' = 37,6t \\ M' = 710,7t \end{cases}$$

Ferraillage du fût :

chaque fût est sollicité en flexion composée, et la combinaison défavorable est la condition sismique qui la donne :

$$N^* = 230,5 \text{ t} ; H^* = 38,46 \text{ t} ; M^* = 728,69 \text{ tm}$$

$$e_0 = \frac{M^*}{N^*} = \frac{728,69}{230,5} = 3,16 \text{ m} > \frac{D}{8} = \frac{1,50}{8} = 0,187 \text{ m} \text{ donc la section est partiellement comprimée.}$$

$$e_0 > 0,375 D = 0,5625 \text{ m} \Rightarrow \delta = 0,6 \text{ (condition extrême)} \Rightarrow \bar{\sigma}'_{bfc} = 1,5 \bar{\sigma}'_b = 1,5 \times 184 = 276 \text{ kg/cm}^2$$

Flambement du fût :

pour nous placer dans le domaine de la sécurité, car il nous est très difficile de définir la nature des appuis aux extrémités on adopte pour la longueur  $l_c = \beta \cdot l_0$  une valeur  $\beta = 1,3$  où  $\beta$  est le facteur de flambement qui dépend de la nature des appuis aux extrémités des fûts, et  $l_c$  est la longueur de flambement.

$$l_0 = 19,518 \text{ m} \Rightarrow l_c = 1,3 \times 19,518 = 25,37 \text{ m}$$

$$\text{fût circulaire de diamètre } D = 1,50 \text{ m} \Rightarrow S = \frac{\pi D^2}{4} = 1,77 \text{ m}^2 ; I = \frac{\pi D^4}{64} = 0,248 \text{ m}^4$$

$$\text{le rayon de giration : } i = \sqrt{\frac{I}{A}} = 0,374 ; \lambda = \frac{l_c}{i} = 67,77$$

On a  $\lambda > 50$  et  $50 < \lambda \leq 150$ , le fût se calculera en flexion composée avec une excentricité  $f_c$  :

$$f_c = \frac{4\alpha}{3} (1 + \xi) \times 10^{-3} \times (\lambda - 50)^{3/2}, \text{ avec } \xi \text{ étant le rapport de l'effort normal de longue durée à l'effort normal maximal.}$$

$$\xi = 0,696 \Rightarrow f_c = 0,254 \text{ m} \text{ donc } e = 3,654 \text{ m} \Rightarrow M = N \cdot e = 230,5 \times 3,654 = 842,25 \text{ t}$$

$$r = 0,75 \text{ (rayon du fût)} ; d = 12 \text{ cm} ; \frac{d}{r} = 0,08$$

$$K_e = \frac{N \cdot r}{M} = 0,20 ; K_a = \frac{M}{r^2 \bar{\sigma}_a} = 0,05 \text{ après une double interpolation dans les tableaux en annexe de l'aide mémoire de B.A (DAVIDOVICI) section circulaires pleines}$$

et partiellement comprimées, on obtient :  $\tilde{\omega} \% = 2,984 ; K = 18,812 \Rightarrow A = \frac{\tilde{\omega} \cdot \pi r^2}{100} = 501,31 \text{ cm}^2$

$$\bar{\sigma}'_b = \frac{\bar{\sigma}_a}{K} = \frac{4000}{18,812} = 212,63 \text{ kg/cm}^2 < \bar{\sigma}'_b = 276 \text{ kg/cm}^2 ; \text{ on adopte une section de } 40 \text{ T } 40 \text{ dont } A = 502,4 \text{ cm}^2.$$

Vérification des contraintes :

$K = 18,812 \Rightarrow$  position de l'axe neutre, après interpolation on trouve :  $K_{y_1} = 0,409 ; K' = 12,012$   
pour cela  $y_1 = K_{y_1} \cdot \phi = 0,409 \times 150 = 61,32 \text{ cm} \Rightarrow \bar{\sigma}'_a = K' \bar{\sigma}'_b = 12,012 \times 212,63 = 2554,11 \text{ kg/cm}^2 < \bar{\sigma}'_a$

Vérification en condition normale :

$$\bar{\sigma}'_a = \frac{2}{3} \cdot 4000 = 2667 \text{ kg/cm}^2 ; \bar{\sigma}'_b = 184 \text{ kg/cm}^2 \text{ et } M^* = 421,72 \text{ tm} ; N^* = 247,83 \text{ t} \Rightarrow e_0 = 1,70 \text{ m}$$

$$\text{donc } e = e_0 + f_{2c} \text{ avec } f_{2c} = 0,254 \Rightarrow e = 1,94 \text{ m} \Rightarrow M = N \cdot e = 484,67 \text{ tm} ; K_e = \frac{N \cdot r}{M} = 0,65$$

$$\text{on trouve : } \tilde{\omega} \% = 2,84 \Rightarrow K_b = 0,7256 ; K = 13,6077 \text{ on trouve : } \bar{\sigma}'_b = \frac{1}{K_b} \cdot \frac{M}{r^3} = 158,33 \text{ kg/cm}^2 < \bar{\sigma}'_b$$

$$\text{et } \bar{\sigma}'_a = K \bar{\sigma}'_b = 2154,52 \text{ kg/cm}^2 < \bar{\sigma}'_a.$$

$$\text{après interpolation on trouve : } K' = 12,056 ; K_{y_1} = 0,4752 \Rightarrow y_1 = K_{y_1} \cdot \phi = 71,28 \text{ cm et } \bar{\sigma}'_a = K' \bar{\sigma}'_b$$

$$\bar{\sigma}'_a = 1908,826 \text{ kg/cm}^2 < \bar{\sigma}'_a.$$

Vérification d'un choc accidentel :

en considérant un choc latéral d'un tronç d'arbre ou bloc de cailloux qui engendrera une force latérale  $F = 10 \text{ t}$  située à  $1,5 \text{ m}$  de la base (lit de l'ovéd).

$$M_1 = 15 \text{ tm} \text{ et } T = 10 \text{ t}$$

Cet effet sera cumulé avec l'effet hydrodynamique de l'eau en moment de crue.

la force hydrodynamique de l'eau est donnée par la relation suivante :  $R = K S V^2$

avec  $V$  = vitesse du courant ;  $S$  = surface du maître-couple.

La valeur de  $K$  est de 80 (système MKS) pour une pile sans avant bec ; le rapport  $\sqrt{\frac{R'}{3}}$  n'est pas inférieur à 0,075 bars qd il s'agit de courant de crue.

$$\text{on prend } h = 2 \text{ m} ; S = \pi R h = 4,71 \text{ m}^2 ; V = 4 \text{ m/s} \Rightarrow R = 6,028 \text{ t} \Rightarrow M_2 = R \cdot h = \frac{2}{3} = 8,04 \text{ tm}$$

On cumule ensuite les efforts dus au choc et ceux dus à l'effet de l'eau.

on trouve :  $M^* = 23,04 \text{ tm}$  ;  $T^* = 16,028 \text{ t}$

l'effort normal à prendre en considération est celui due à la condition sismique.

$N^* = 230,5 \text{ t}$ .

D'où l'excentricité sera :  $e = \frac{M^*}{N^*} = \frac{23,04}{230,5} = 0,1 \text{ m}$  et  $\frac{D}{8} = \frac{1,50}{8} = 0,1875 \text{ m} \Rightarrow e < \frac{D}{8}$

Section entièrement comprimée.

On trouve pour contrainte :  $\sigma'_{b_1} = 37,40 \text{ kg/cm}^2$  ;  $\sigma'_{b_2} = 23,75 \text{ kg/cm}^2 \Rightarrow$  des contraintes sont vérifiées.

Ferrailage transversale :

$$\text{zone courante : } t \leq \begin{cases} t_1 = (100 \phi_t - 15 \phi_{L_{\max}}) \left( 2 - \frac{\sigma'_b}{\sigma'_{b_0}} \right) \\ t_2 = 15 \left( 2 - \frac{\sigma'_b}{\sigma'_{b_0}} \right) \phi_{L_{\min}} \end{cases}$$

On prendra des cerces de  $\phi 12 \Rightarrow \phi_t = 1,2 \text{ cm}$  ;  $\phi_{L_{\max}} = \phi_{L_{\min}} = 4,0 \text{ cm}$  ;  $\sigma'_b = 158,33 \text{ kg/cm}^2$

$\sigma'_{b_0} = 92 \text{ kg/cm}^2$ .

On aura pour l'espacement transversale :

$$t \leq \begin{cases} t_1 = (100 \times 1,2 - 15 \times 4) \left( 2 - \frac{158,334}{92} \right) = 25 \text{ cm} \\ t_2 = 15 \left( 2 - \frac{158,334}{92} \right) \times 4,00 = 16,73 \text{ cm} \end{cases}$$

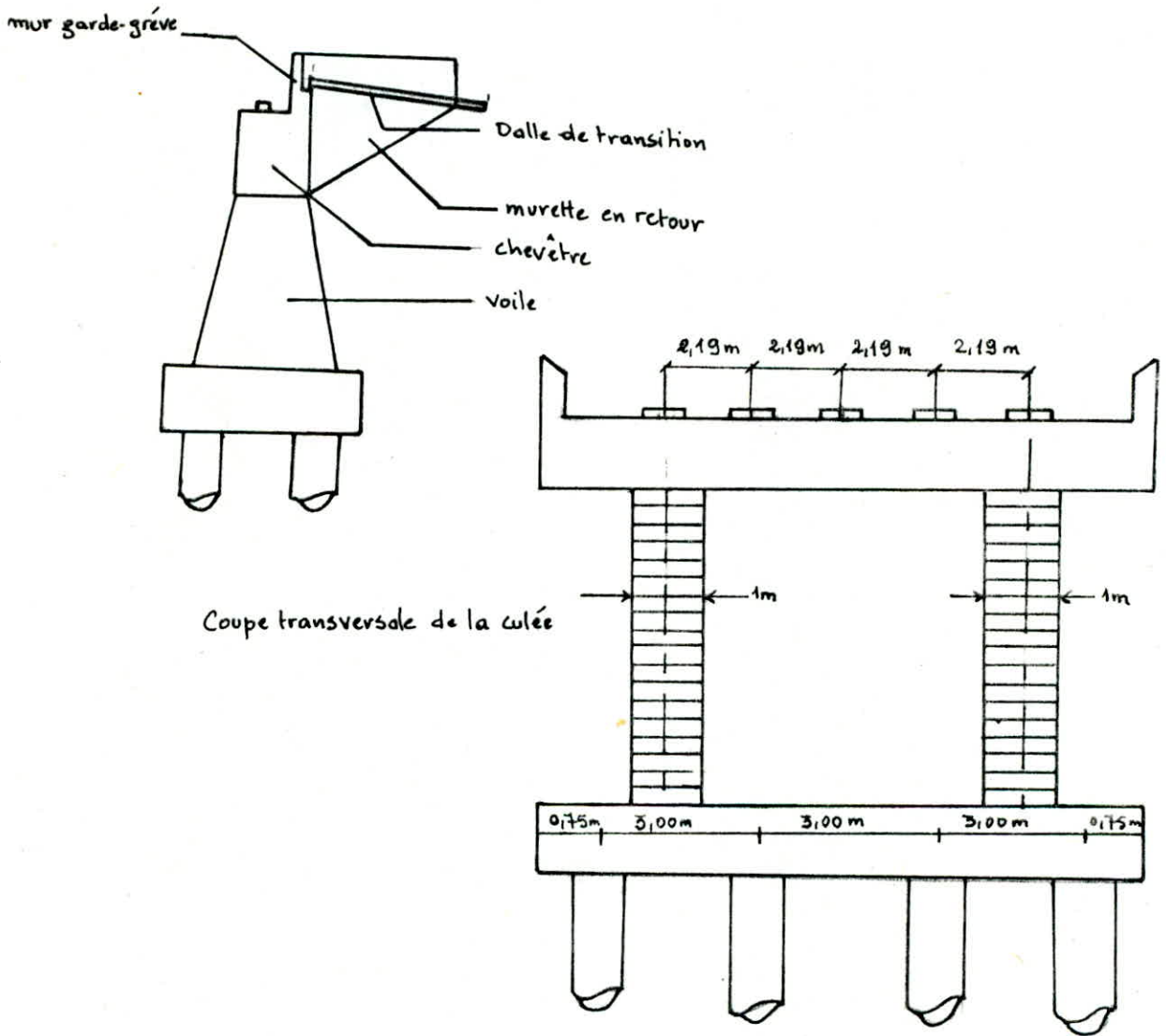
on prend comme espacement en zone courante :  $t = 15 \text{ cm}$  et en zone de recouvrement :  $t = 10 \text{ cm}$ .



70  
ETUDE DE LA CULÉE

Les culées représentent les appuis extrêmes du pont, elles permettent relier la chaussée au terrain au moyen de la dalle de transition les constituant.  
Elles sont aussi munies de murs en retours et murs gardes-grève qui sont destinés à retenir les remblais.  
Du l'importance des poussées existantes, le choix d'une culée enterrée est économique et sécuritaire.

schéma :



### Etude des éléments de la culée :

1. Mur garde grève : étant supposé encastré au niveau inférieure, son étude sera menée suivant les considérations du document S.E.T.R.A.

les efforts verticaux sont négligés car ils ne créent pas de moments à la base de la console.

Au nombre de trois, les forces à considérer sont les suivantes :

- 1- poussée des terres
  - 2- poussée d'une charge locale située en arrière du mur garde-grève.
  - 3- Force de freinage d'un essieu lourd du camion Bc.
4. Evaluation des efforts à la section d'encastrement du mur garde-grève :

- poussée des terres :

$$M_T = \frac{i \cdot \Delta \cdot h^3}{6}$$

avec  $\left\{ \begin{array}{l} i = \text{coefficient de poussée} \rightarrow i = 0,3 \\ \Delta = \text{pois volumique du remblai} \rightarrow \Delta = 2 \text{ t/m}^3 \\ h = \text{hauteur du garde-grève} \rightarrow h = 1,70 \text{ m} \end{array} \right.$

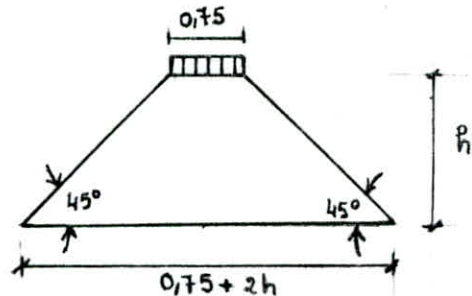
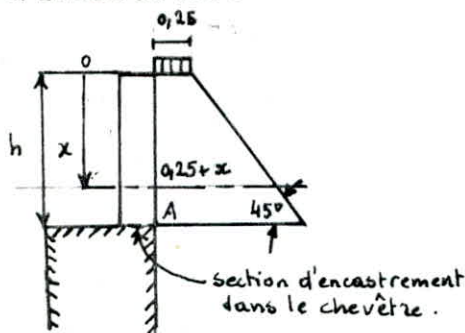
on trouve  $M_T = 0,49 \text{ t/ml}$

- poussée des charges locales :

il a été vérifié que la sollicitation totale due aux camions types Bc (poussée des charges locales + freinage) était plus défavorable pour le mur garde grève dans le domaine considéré ( $0,5 \text{ m} \leq h \leq 3 \text{ m}$ ) que d'autres charges sans freinage telle que tandem Bt, convois militaires, charges exceptionnelles. l'effet le plus défavorable est produit par 2 roues arrière de 6t de deux camions accolés placés de telle manière que les rectangles d'impact soient au contact de la face arrière du garde-grève.

les charges réelles, soit 2 roues de 6t distantes de 0,50 m, sont remplacées par une charge uniforme équivalente de 12t répartie sur un rectangle de  $0,25 \times 0,75 \text{ m}$  circonscrit aux carrés d'impact de chacune des roues.

On admet que la pression sur le rectangle d'impact ainsi défini se répartit à  $45^\circ$  latéralement et en arrière du mur.



l'expression du moment en A, à la profondeur h a pour expression générale :

$$M_p = \frac{12 K}{0,75 + 2h} \int_0^h \frac{h-x}{0,25+x} dx \text{ tm/ml} ; \text{ dans laquelle } K \text{ est un coefficient ayant pour valeur : } K = i \cdot \gamma \cdot \delta \cdot b_c$$

avec  $i = \text{coefficient de poussée (0,3)}$  ;  $\gamma = \text{coefficient de pondération (1,1)}$  ;  $\delta = \text{coefficient de majoration dynamique (1)}$  ;  $b_c = \text{coefficient de réduction pour pont de 1}^{er} \text{ classe, 2 voies chargées}$

on trouve  $M_p = 2,44 \text{ tm/ml}$

le moment à l'encastrement est :  $M_F = \frac{6h}{0,25+2h} \gamma$  avec  $\gamma = 1,2$  et  $h = 1,70 \text{ m} \rightarrow M_F = 3,1 \text{ tm/ml}$

le moment total :  $M = M_T + M_p + M_F = 0,49 + 2,44 + 3,1 = 6,03 \text{ tm/ml}$

le moment à l'encastrement dans le sens opposé est essentiellement dû au freinage mineur de la poussée des terres :  $M' = -3,2 \text{ tm/ml}$

### Ferraillage :

Ferraillage vertical :  $M = 6,03 \text{ tm/ml}$  on trouve :  $\mu = 0,048 \rightarrow K = 39,2$  ;  $E = 0,9077$

et  $A = 9,125 \text{ cm}^2/\text{ml}$  soit 9T12 espacés de 10cm et dans la face avant on trouve 5T12/ml espacés de 20cm.

Ferrailage horizontal:

pour  $1m \leq h \leq 2m$ , on peut prévoir des T10 tous les 15 cm.

Corbeau d'appui:

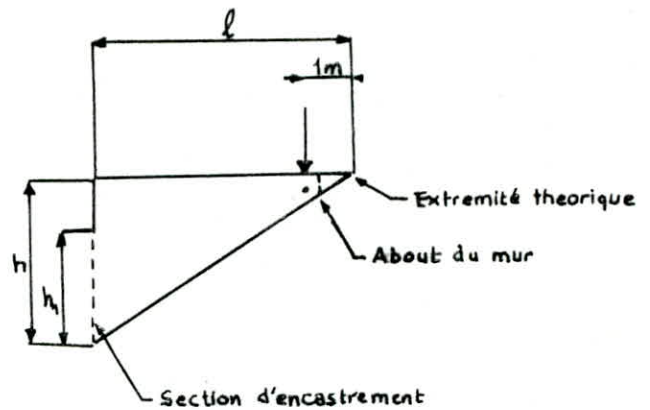
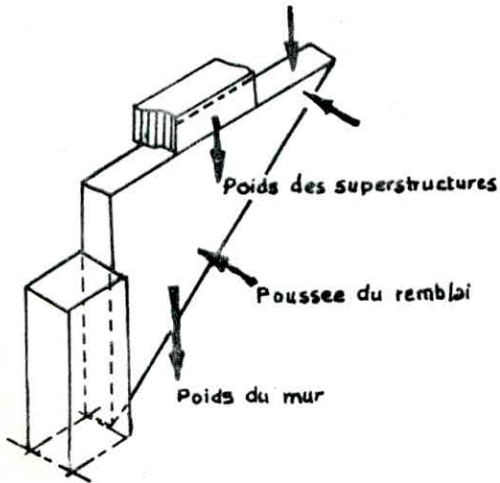
pour le ferrailage du corbeau d'appui de la dalle de transition, on adopte celui donné dans le bulletin S.F.T.R.A dont une coupe est représenté dans la planche.

Murette en retour:

Chaque mur en retour est soumis aux charges suivantes, qui peuvent être appliquées ensemble:

- poids propre, y compris superstructures :
- poussée horizontale répartie
- charges concentrées verticales

les schémas ci-dessous définissent les forces appliquées, ainsi que la géométrie du mur prise en compte pour le calcul.



l'évaluation des efforts se fera par rapport à la section d'encastrement.

charges verticales

l'effort tranchant à l'encastrement est :  $T_V = 2,5 \frac{\ell \cdot h_t}{2} e + 0,3 \ell + 4 = 10,45 t$  ( $\ell = 4m$ ;  $h_t = 2,50m$   
 $e = 0,3m$ )

et le moment d'axe horizontale à l'encastrement:

$$M_V = 2,5 \frac{\ell^2 \cdot h}{6} e + 0,3 \frac{\ell^2}{2} + 4 \times (\ell - 1) = 21,40 tm$$

charges horizontales:

l'effort tranchant à l'encastrement est :  $T_H = \left(\frac{h}{3} + 0,5\right) \cdot \frac{\ell \cdot h}{2} + 2 = 13,67 t$

moment d'axe verticale à l'encastrement :

$$M_H = \left(\frac{h_t}{3} + 0,5\right) \frac{\ell^2 h_t}{6} + 2(\ell - 1) = 21,56 tm$$

Ferrailage:

Axe verticale:  $M_H = 21,56 tm$

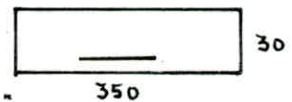
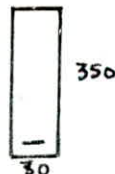
$$\mu = \frac{15 \times 21,56 \times 10^5}{2800 \times 350 \times 25^2} = 0,053 \Rightarrow E = 0,9038 \text{ et } K = 37$$

$$\sigma'_b = \frac{\sigma_a}{37} = 75,67 \text{ kg/cm}^2 < \bar{\sigma}'_b \quad \text{et} \quad A_H = \frac{21,56 \times 10^5}{0,9038 \times 25 \times 2800} = 34,07 \text{ cm}^2 \Rightarrow 11T20 (34,54 \text{ cm}^2)$$

Axe horizontale:  $M_V = 21,40 tm$ .

$$\mu = 0,003 ; E = 0,9697 ; K = 150 ; \text{ on trouve } A_V = 2,28 \text{ cm}^2 \text{ on prend } 2T14 (3,08 \text{ cm}^2)$$

les dispositions constructives sont présentées dans les planches.





Dalle de transition:

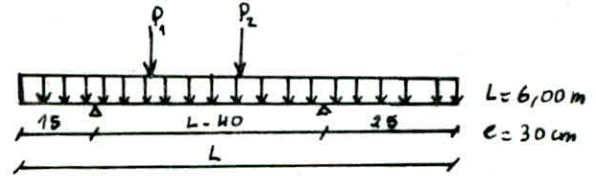
la dalle de transition assure la continuité entre la chaussée du pont et la chaussée du terrain. Elle est prévue aussi pour éviter le dénivellement qui peut se produire entre la chaussée du pont et la chaussée courante en cas de tassement du remblai. L'étude de la dalle de transition se fera en suivant les hypothèses de chargement exposées dans le bulletin S.E.T.R.A

charges et surcharges:

on considère une bande de 1 m de large  
charges permanentes

pois propre . . . . . 0,75 t/ml

revêtement . . . . . 0,176 t/ml



$$\text{donc } M_G = \frac{q_G \cdot l^2}{8} = \frac{0,926 \times 5,6^2}{8} = 3,63 \text{ tm/ml} \quad ; \quad T_G = q_G \frac{l}{2} = 0,926 \times \frac{5,6}{2} = 2,6 \text{ t/ml}$$

surcharges: le système Bt est le plus défavorable, les roues sont placées comme l'indique la figure (a). On admet que les roues de rangées  $P_1$  et  $P_2$  sont équivalentes chacune à une charge répartie de 5,5 t/ml, assimilable à un rouleau indéfini. La rangée  $P_1$  est affectée d'un coefficient de majoration dynamique égale à 2 pour tenir compte du choc d'un essieu. La charge équivalente à la rangée  $P_2$  se répartit entre les deux appuis de la dalle de transition et doit être affectée d'un coefficient de majoration dynamique qu'on peut estimer à 1,5.

$$P_1 = 2 \times 5,5 = 11 \text{ t} \quad ; \quad P_2 = 1,5 \times 5,5 = 8,25 \text{ t}$$

Calcul des efforts:

on utilise le théorème de BARRÉ pour déterminer le moment maximum et on trouve

$$M_{\max} = 22,69 \text{ tm/ml}$$

et pour l'effort tranchant c'est la section d'appui qui est dangereuse, on place  $P_1$  à la section d'appui et on trouve:  $T_{\max} = 16,75 \text{ t/ml}$

efforts maximaux:

$$M = M_G + M_S = 26,32 \text{ tm/ml}$$

$$T = T_G + T_S = 19,35 \text{ t/ml}$$

Ferraillage:

$$M = 26,32 \text{ tm/ml} \Rightarrow \mu = \frac{15 M}{\sigma_a \cdot b \cdot h^2} = \frac{15 \times 26,32 \times 10^5}{2800 \times 100 \times 27^2} = 0,193 \Rightarrow K = 15,8 \text{ et } E = 0,8371$$

$$\text{on trouve: } A = \frac{M}{\sigma_a \cdot E \cdot h} = \frac{26,32 \times 10^5}{2800 \times 0,8371 \times 27} = 41,60 \text{ cm}^2 \Rightarrow 14 \text{ T } 20 \quad (A = 43,96 \text{ cm}^2 \text{ espacés de } 8 \text{ cm})$$

dans l'autre sens on prend des armatures de répartition:  $A_r = \frac{A}{4} = 10,4 \text{ cm}^2 \Rightarrow 6 \text{ T } 16$   
espacées de 20 cm

Vérification au cisaillement:

$$\bar{\tau}_b = \frac{T}{b \times z} \leq 1,1 \bar{\sigma}_b = 8,8 \text{ kg/cm}^2$$

$$\tau = \frac{19,35 \times 10^3}{\frac{7}{3} \times 27 \times 100} = 8,2 \text{ kg/cm}^2 \Rightarrow \tau < \bar{\tau}_b$$

Chevêtre:

le chevêtre en plus de son poids propre est soumis aux efforts provenant du :

- mur garde-grève
- de la dalle de transition
- des murettes en retour
- du tablier lorsque les points d'appui ne sont pas disposés au droit des colonnes ou poteaux.
- des voisins pour soulever le Tablier.

Evaluation des charges :

poids propre :  $2 \times 2,5 \times 5 = 5,5$  avec 5 étant la surface du chevêtre y compris le garde-grève.

le coefficient 2 tient compte du poids moyen de la partie du tablier situé au droit du chevêtre au moment de la construction.

$$S = 1,80 \times 2 + 1,7 \times 0,55 = 4,54 \text{ m}^2$$

donc  $q_G = 22,68 \text{ t/ml}$ .

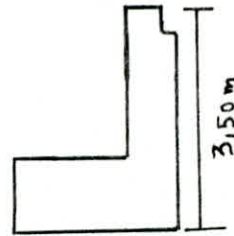
- surcharges transmises par le garde-grève.
- les charges verticales ne sont pas considérées.
- charges horizontales :

poussées des terres :  $H_p = \frac{1}{2} K_a \gamma h^2 = \frac{1}{2} \times 0,3 \times 2 \times (3,5)^2 = 3,68 \text{ t/ml}$

poussée de la charge localisée en arrière du mur garde-grève :

$$H_1 = \frac{12 K}{0,75 + 2h} = \frac{12 \times 0,3663}{0,75 + 2 \times 0,3663} = 2,96 \text{ t/ml}$$

Freinage :  $H_f = \frac{7,2}{0,25 + 2h} = 1,27 \text{ t/ml}$

Dalle de transition:

pour le calcul du chevêtre, on doit prendre en compte les effets locaux de la dalle de transition qui sont différents des efforts généraux pris en compte.

$$h_D = 0,30 \text{ m}; h_R = 0,08 \text{ m}$$

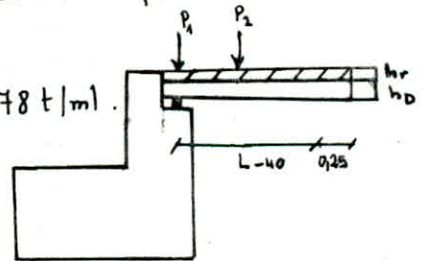
réaction de la charge permanente :

$$q_{G_2} = D(1,25 \times h_D + 1,1 \times h_R) = 6(1,25 \times 0,3 + 1,1 \times 0,08) = 2,78 \text{ t/ml}$$

réaction des charges  $B_c$  et  $B_t$  :

$$B_c : q'_{B_c} = 2 \times 5,5 + 1,5 \times 5,5 \times \frac{5,6 - 1,5}{5,6} = 17 \text{ t/ml}$$

$$B_t : q'_{B_t} = 2 \times 5,5 + 1,5 \times 5,5 \times \frac{5,6 - 1,35}{5,6} = 17,26 \text{ t/ml}$$



$B_t$  est plus défavorable ; on aura pour le total :  $q_2 = q_{G_2} + q'_{B_t} = 2,78 + 17,26 = 20,04 \text{ t/ml}$

murettes en retour :

les actions transmises par les murettes en retour au chevêtre sont très diverses et aléatoires. Les plus importantes sont dues à des charges variables concentrées appliquées aux murettes :

Verticalement  $F_V = 4 \text{ t}$

Horizontalement  $F_H = 2 \text{ t}$

poids propre d'une murette en retour :  $G = 5,25 \text{ t}$

Tablez:

les efforts provenant du tablier sont transmis sur le chevêtre par les poutres. Chaque poutre transmet une charge concentrée de  $p = 74,97 \text{ t}$

calcul des efforts:

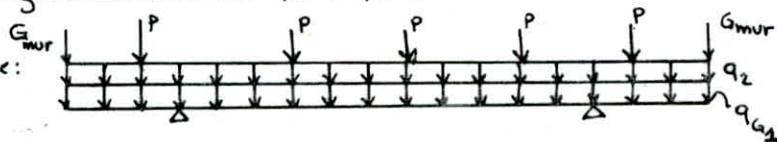
schéma statique du chevêtre:

$$G_{\text{mur}} = 5,25 \text{ t}$$

$$p = 74,97 \text{ t}$$

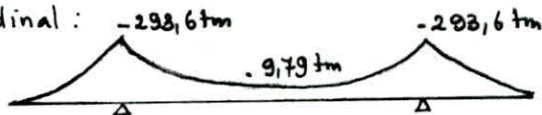
$$q_2 = 20,04 \text{ t/m}$$

$$q_1 = 22,63 \text{ t/m}$$

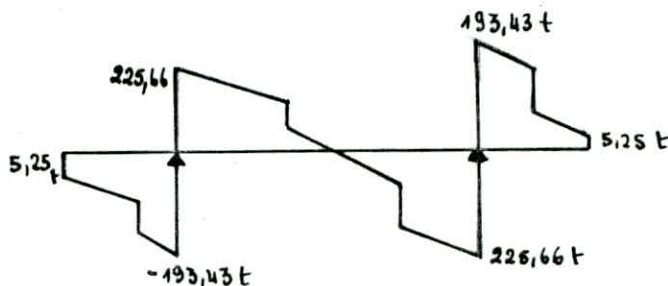


Diagrammes des efforts sollicitant le chevêtre:

moment flechissant longitudinal:  $-293,6 \text{ tm}$



Effort tranchant:



Ferraillage:

$$\mu = \frac{15 M}{\bar{\sigma}_q \cdot b \cdot h^2} = \frac{15 \times 293,66 \times 10^5}{2800 \times 200 \times 175^2} = 0,026 \Rightarrow \epsilon = 0,9324 ; K = 59$$

$$A = \frac{293,66 \times 10^5}{0,9324 \times 2800 \times 175} = 64,26 \text{ cm}^2$$

prise en compte de la torsion: les sections trouvées sont majorées de 15%

armatures supérieures:  $A = 1,15 \times 64,26 = 73,95 \text{ cm}^2$  soit 24T20 ( $A = 75,36 \text{ cm}^2$ )

armatures inférieures: on mettra des armatures de construction.

Effort tranchant:

$$T = 225,66 \text{ t} \Rightarrow \tau_b = 7,16 \text{ kg/cm}^2 < \bar{\tau}_b = 3,5 \bar{\sigma}_b$$

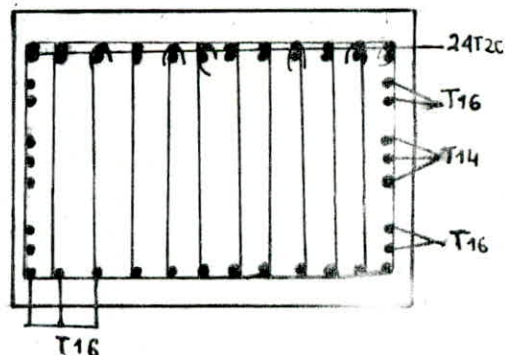
$$A_t = 6 \text{ cadres } \phi 10 \quad (A_t = 7,85 \text{ cm}^2)$$

$$\rho_{at} = 0,894 \text{ donc } \bar{\sigma}_{at} = \rho_{at} \cdot \bar{\sigma}_{en} = 3754,5 \text{ kg/cm}^2$$

$$t \leq \frac{A_t \cdot \bar{\sigma}_{at}}{T} = \frac{7,85 \times 7,85 \times 175 \times 3754,5}{225,66 \times 10^3} = 20 \text{ cm}$$

$$\bar{t} = \min \left\{ 0,2 \times 175 ; \left( 1 - \frac{0,3 \times 7,16}{7,5} \right) \times 175 \right\} = 35 \text{ cm}$$

On prend  $t = 20 \text{ cm}$  comme espacement.





### Etude des voiles de la culée:

les 2 voiles existants dans chaque culée transmettent les charges provenant du tablier à la fondation.

Sollicitation à prendre en compte:

- Actions verticales: Reactions du tablier, poids propre et surcharges routières.
- Actions Horizontales: variation linéaire, freinage, séisme et poussées de terres.
- poussée de terre: on prend en considération les poussées du remblai sur le mur garde-grève ainsi que sur le chevetze.

Condition normale:

$$H_n = \frac{1}{2} K_a \gamma H^2 l \quad \text{avec} \quad K_a = \frac{1 - \sin \varphi}{1 + \sin \varphi} = 0,33; \quad \varphi = 30^\circ; \quad \gamma = 2 \text{ t/m}^3, \quad H = 3,50 \text{ m}$$

$$l = 10,6 \text{ m}$$

On trouve:  $H_n = 43,28 \text{ t}$  et la distance d'application de cette poussée est:  $d = 5,00 + \frac{3,50}{3} = 6,167 \text{ m}$

Condition sismique:

$\varphi = 30^\circ, \alpha = 0, \delta = 0; \beta = 0$  et le coefficient de poussée  $K_a$  est donné par la relation suivante:

$$K_a = \frac{\cos^2(\varphi - \nu - \beta)}{\cos \nu \cdot \cos^2 \beta \cdot \cos(\delta + \beta + \nu) \left[ 1 + \sqrt{\frac{\sin(\varphi + \delta) \cdot \sin(\varphi - \nu - \alpha)}{\cos(\delta + \beta + \nu) \cos(\alpha - \beta)}} \right]^2}$$

avec  $\nu = \arctg\left(\frac{E_H}{1 \pm E_V}\right); E_H = 0,1$   
 $E_V = \pm 0,07$

On trouve  $K_a = 0,14$  et  $H_S = \frac{1}{2} K_a \gamma l \cdot H^2 \Rightarrow H_S = 51,94 \text{ t}$  et  $d = 6,167$

évaluation des efforts à la base de la culée:

condition normale:

	H [t]	R [t]	d [m]	M/o [tm]
Chevetze: $2,5 \times 1,8 \times 10,6 \times 2$		95,4		
Mur garde-grève + corbeau: $2,5 \times 0,55 \times 1,7 \times 10,6$		24,78	0,725	17,966
murettes en retour		13,86	2,3	31,878
dalle de transition $2,5 \frac{1}{2} \times 6 \times 0,3 \times 10$		22,50	0,85	19,125
poids propre du tablier		229,56	0,325	-74,607
voiles $2,5 \frac{1}{2} \times (2+4) \times 5 \times 1 \times 2$		75		0
Surcharges routières		148,86	0,325	-48,390
Poussée des terres	43,28		6,167	-266,893
variation linéaire du tablier	27,03		6,8	-184,076
Freinage	41,93		6,8	-33,524

Effort à la base de la culée: (combinaison du 1<sup>er</sup> genre).

$$N_{\min} = 461,1 \text{ t} \quad \text{et} \quad H = 76,276 \text{ t}$$

$$N_{\max} = 609,96 \text{ t} \quad \text{et} \quad H = 70,35 \text{ t} \quad ; \quad M = -554,923 \text{ tm}$$

$$M = -456,64 \text{ tm}$$

et à la base de chaque voile ces valeurs seront divisées par 2.

## Condition Sismique :

	H	R [t]	d [m]	M/o [tm]
chevêtre $\left\{ \begin{array}{l} 1,07 \\ 0,93 \end{array} \right.$	—	102,08 88,72	—	—
mur garde grève $\left\{ \begin{array}{l} 1,07 \\ 0,93 \end{array} \right.$	—	26,51 23,05	0,725	19,22 16,71
mur en retour $\left\{ \begin{array}{l} 1,07 \\ 0,93 \end{array} \right.$	—	14,83 12,89	2,3	34,11 29,65
dalle de transition $\left\{ \begin{array}{l} 1,07 \\ 0,93 \end{array} \right.$	—	24,07 20,92	0,85	20,46 17,77
poide propre du tablier $\left\{ \begin{array}{l} 1,07 \\ 0,93 \end{array} \right.$	—	245,63 213,49	0,325	-79,83 -69,38
Voiles $\left\{ \begin{array}{l} 1,07 \\ 0,93 \end{array} \right.$	—	80,25 69,75	—	—
Surcharge coutières: $C_D$	—	148,86	0,325	-48,38
poussées des terres	51,84	—	6,167	-320,296
Variation linéaire du tablier	27,07	—	6,8	-184,07
Freinage	4,93	—	6,8	-33,524
Seisme : $26 + 0,1 \times 231,54$	49,15	—	6,922	-340,22

à la base de chaque voile ; on aura :

$$(1) \quad \left\{ \begin{array}{l} N_{\min} = \frac{1}{2} \times 429,82 = 214,4 \text{ t} \\ H = \frac{133,09}{2} = 66,545 \text{ t} \\ M = \frac{883,35}{2} = 441,675 \text{ tm} \end{array} \right.$$

$$(2) \quad \left\{ \begin{array}{l} N_{\max} = \frac{642,23 \text{ t}}{2} = 321,115 \text{ t} \\ H = \frac{128,16 \text{ t}}{2} = 64,08 \text{ t} \\ M = \frac{932,56 \text{ tm}}{2} = 466,28 \text{ tm} \end{array} \right.$$

Ferraillage du voile :

c'est la section à la base du voile qui est la plus sollicitée

le ferraillage se fera avec la condition sismique qui est la plus défavorable.

$N_{\min} = 214,4 \text{ t}$  ;  $M = 441,675 \text{ tm} \Rightarrow \frac{M}{N} = 2,06 \text{ m}$  donc  $e_0 = 2,06 \text{ m} > \frac{h_t}{6} = \frac{200}{6} = 33,33 \text{ cm}$

la section est partiellement comprimée  
 $\phi \leq 20 \text{ mm}$  ;  $\bar{\sigma}_q = \bar{\sigma}_{en} = 4200 \text{ kg/cm}^2$  ;  $\bar{\sigma}'_b = 1,5(2\bar{\sigma}'_b) = 276 \text{ kg/cm}^2$  car  $e_0 > \frac{h_t}{2}$

on calculera la section avec un moment fictif et en flexion simple.  
 $M = N \times f$  avec  $f = e_0 + \frac{1}{2} h_t - d = 206 + \frac{1}{2} \times 200 - 5 = 301 \text{ cm} \Rightarrow M = 645,344 \text{ tm}$

et comme  $M_{rb} = \frac{1}{2} \bar{\sigma}'_b \cdot \bar{\alpha} \cdot \bar{\delta} \cdot b \bar{R}^2$  avec  
 $\bar{\alpha} = \frac{15 \bar{\sigma}'_b}{15 \bar{\sigma}'_b + \bar{\sigma}_q} = 0,496$  et  $\bar{\delta} = 1 - \frac{\bar{\alpha}}{3} = 0,834$

donc  $M_{rb} = 2172,42 \text{ tm} > M_{flexion} \Rightarrow A' = 0$

$$A = \frac{645,344 \times 10^5}{0,834 \times 4200 \times 195} = 94,48 \text{ cm}^2 \Rightarrow A = A - \frac{N}{\bar{\sigma}_a} = 94,48 - \frac{214,41 \times 10^3}{4200} = 43,43 \text{ cm}^2$$

Comme le moment peut agir dans les deux sens on arme symétriquement  $A = A' = 14 \text{ T}20$

Armatures transversales :

En condition normale, nous avons  $T = H = 38,138 \text{ t}$

$$\tau_b = \frac{T}{3 \cdot b} = \frac{38,138 \times 10^3}{\frac{7}{8} \times 195 \times 100} = 2,23 \text{ Kg/cm}^2 \quad \text{et} \quad \bar{\tau}_b = 3,5 \times \tau_b = 3,5 \times 2,23 = 7,805 \text{ Kg/cm}^2$$

la contrainte de cisaillement est vérifiée car  $\tau_b < \bar{\tau}_b$   
on prend comme armatures transversales des T12 ( $A_t = 2,26 \text{ cm}^2$ )

$$\bar{\sigma}_{at} = \rho_{at} \cdot \bar{\sigma}_{en_t} \quad \text{avec} \quad \rho_{at} = \max \left\{ \frac{2}{3}; \left( 1 - \frac{\tau_b}{9 \bar{\sigma}_b} \right) \right\} = 0,96 \Rightarrow \bar{\sigma}_{at} = 0,96 \times 4200 = 4032 \text{ Kg/cm}^2$$

$$\bar{E} = \min \left\{ 0,2 h; \left( 1 - 0,3 \frac{\tau_b}{\bar{\sigma}_b} \right) h \right\} = 39 \text{ cm}$$

$$t \leq \frac{A_t \times 3 \times \bar{\sigma}_{at}}{T} = 40,76 \text{ cm} \Rightarrow \text{on disposera les armatures selon les dispositions}$$

préconisées par le bulletin S.E.T.R.A soit :

mettre un cadre T12 tous les 15cm aux zones nodales, un cadre T12 ( $c = 25 \text{ cm}$ )  
on mettra aussi des armatures de peau tous les 30cm (T12).



## ETUDE DES FONDATIONS

Calcul des elements des fondations :

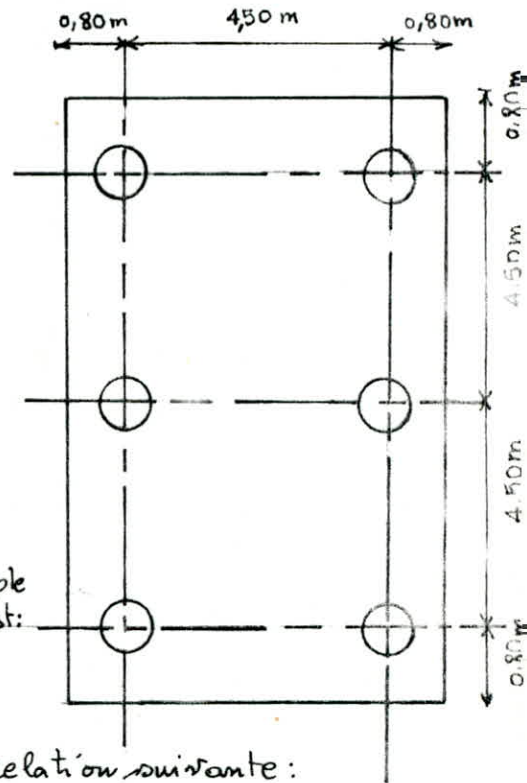
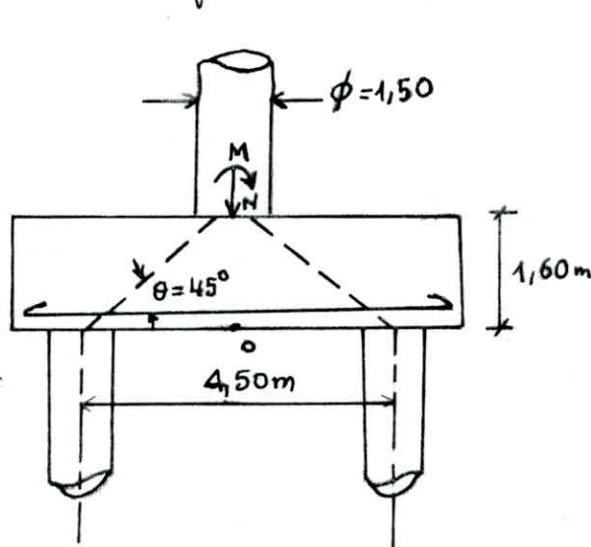
Semelle de liaison des pieux de la fondation de la pile :

la methode utilisee est celle exposee dans le bulletin S.E.T.R.A reference [10]

- la semelle etant un massif indeformable.

- epaisseur de la semelle :  $h_f = 1,50$

- la bielle forme un angle de  $45^\circ$  avec la base de la semelle.



La section d'armature transversale relative a un couple de pieux, determinee par la methode des bielles est :

$$A_1 = \frac{R_{\max} (l/2 - b/4)}{\bar{\sigma}_a h}$$

La hauteur de la semelle se determine a l'aide de la relation suivante :

$$h_f \geq 0,5 \left[ 3 \phi_{\text{pieu}} - \frac{\phi_{\text{POT}}}{2} \right] + 10 = 0,5 \left[ 3 \times 1,20 - \frac{1,50}{2} \right] + 10 = 152,5 \text{ cm}$$

on prend  $h_f = 160 \text{ cm}$

evaluation des efforts :

pois propre de la semelle :  $2,5 \times 10,6 \times 6,1 \times 1,60 = 258,64 \text{ t}$

surcharge du remblai sur la semelle :  $2 \times 1,5 \times \left[ 10,6 \times 6,1 - \frac{3\pi(1,5)^2}{4} \right] = 178 \text{ t}$

effort normale :

condition normale :  $N_T = 1016,31 + 258,64 + 178 = 1453 \text{ t}$

donc le nombre de pieux en considerant des pieux de capacite portante d'un pieux de  $300 \text{ t}$  :  $N = \frac{N_T}{300} = 4,81$  on prend 6 pieux pour avoir une repartition uniforme.

on a :

$$N^* = \frac{N_T}{3} = 481,67 \text{ t.}$$

$$M^* = \frac{M_T}{3} = \frac{1292,87}{3} = 430,95 \text{ tm.}$$

En condition sismique :

$$N_{\max} = \frac{1}{3} \left[ 1068,35 + 1,07 \times 258,64 + 178 \right] = 507,7 \text{ t.}$$

$$M_{\max} = \frac{1}{3} \times 2488,73 = 829,6 \text{ tm.}$$

En condition normale :  $R_{\max} = \frac{N}{2} + \frac{M}{3,6} = 360,95t$ ;  $R_{\min} = \frac{N}{2} - \frac{M}{3,6} = 121,126t$

En condition sismique :  $R_{\max} = \frac{N}{2} + \frac{M}{3,6} = 484,30t$ ;  $R_{\min} = \frac{N}{2} - \frac{M}{3,6} = 23,40t$

Ferraillage:

dans le sens transversal :

$$\text{Armatures inférieures : } A_1 = \frac{R_{\max}}{\bar{\sigma}_a} \times \frac{l/2 - b/4}{h} = \frac{360,54 \times 10^3}{2667 \times 150} \times \left( \frac{450}{2} - \frac{150}{4} \right) = 168,6 \text{ cm}^2$$

On choisit 21 T 32  $\Rightarrow A_1 = 168,84 \text{ cm}^2$

Ces armatures vont être placées dans des bandes axées sur les pieux, entre ces différentes bandes d'armatures on mettra des armatures de répartition.

$$A'_1 = \frac{1}{3} A_1 = 56,28 \text{ cm}^2 \text{ soit } 7 \text{ T } 32$$

Armatures supérieures : nous prendrons forfaitement  $A_{S1} = \frac{A_1}{5} = 33,77 \text{ cm}^2$

$$A'_{S1} = \frac{A_{S1}}{5} = 11,25 \text{ cm}^2$$

$$A_{S1} \rightarrow 17 \text{ T } 16 \quad (34,17 \text{ cm}^2)$$

$$A_{S2} \rightarrow 6 \text{ T } 16 \quad (12,06 \text{ cm}^2)$$

Vérification des contraintes en condition sismique :

$$R_{\max} = 484,30t ; \quad \bar{\sigma}_a = \frac{R_{\max} \left( \frac{l}{2} - \frac{b}{4} \right)}{A_1 \cdot h} = \frac{484,30 \left( \frac{450}{2} - \frac{150}{4} \right)}{168,84 \times 160} = 3361,40 \text{ Kg/cm}^2 < \bar{\sigma}_a$$

Armatures longitudinales :

Des armatures longitudinales  $A_2$  seront disposées dans le sens de la longueur de la semelle.

$$\text{Armatures inférieures : } A_2 = \frac{A_1}{3} = 56,28 \text{ cm}^2 \quad (18 \text{ T } 20).$$

$$\text{Armatures supérieures : } A'_{S2} = \frac{A_{S1}}{3} = 11,39 \text{ cm}^2 \quad (6 \text{ T } 16).$$

Ces armatures vont jouer le rôle d'armatures de répartition.

Vérification des contraintes de compression des bielles :

$$\text{Au niveau du poteau : } \sigma'_b = \frac{N}{B \sin^2 \theta} \leq 0,6 \sigma'_j$$

$$\sigma'_b = 338,77 \times \frac{10^3}{\pi \frac{(150)^2}{4} \times \sin^2 45} = 38,3 \text{ Kg/cm}^2 \quad \text{et } 0,6 \sigma'_j = 184 \text{ Kg/cm}^2 \Rightarrow \sigma'_b < 0,6 \sigma'_j$$

Au niveau du pieu :

$$\sigma'_{b1} = \frac{N}{2B_1 \sin^2 \theta} \leq 0,6 \sigma'_j \quad \text{donc } \sigma'_{b1} = \frac{381,87 \times 10^3}{2 \times 11309,73 \times \sin^2 45} = 33,7 \text{ Kg/cm}^2$$

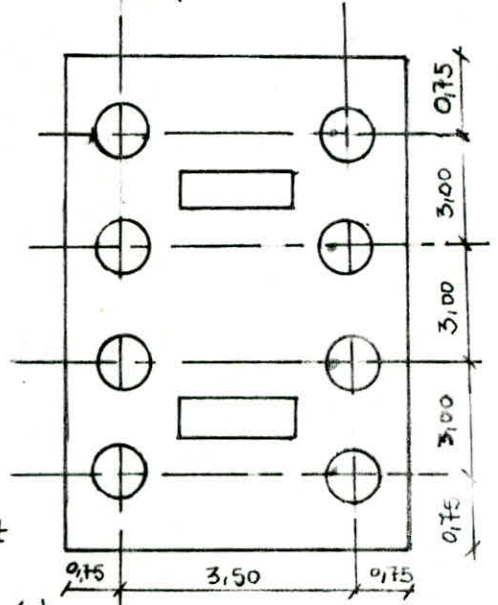
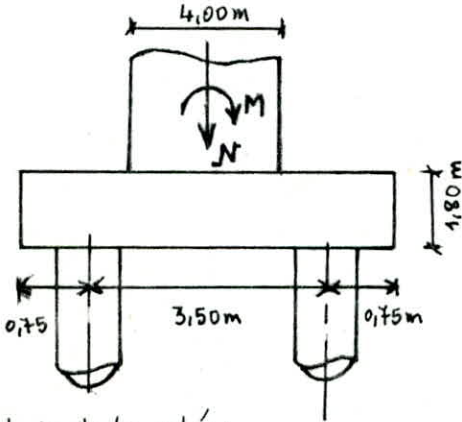
donc  $\sigma'_{b1} < 0,6 \sigma'_j$ .

Semelle de liaison des pieux sous culée :

on utilisera la méthode de la R.D.M.

Suivant la largeur :

le moment est calculé dans la section située à la distance  $\frac{a}{4}$  de l'axe du voile.



efforts à la base de la culée :

$$M_{\text{tot}} = 456,64 \text{ tm} ; N_{\text{total}} = 1222,35 \text{ t}$$

$$Q_{\text{max}} = \frac{N_{\text{tot}}}{8} + \frac{M}{4d} = \frac{1222,35}{8} + \frac{456,64}{4 \times 3,50} = 185,41 \text{ t}$$

$$M\left(\frac{a}{4}\right) = Q_{\text{max}} \left[ \frac{d}{2} - \frac{a}{4} \right] = 185,41 \times \left[ \frac{3,5}{2} - \frac{4}{4} \right] = 139,06 \text{ tm}$$

$$A = \frac{M}{\bar{\sigma}_a \cdot z} \text{ avec : } z = \frac{7}{8} h \Rightarrow z = \frac{7}{8} \times 170 = 148,75 \text{ cm on trouve : } A = 35,053 \text{ cm}^2$$

$\bar{\sigma}_a = 2667 \text{ Kg/cm}^2$  car  $\phi \geq 25 \text{ mm}$  soit 3T25.

Ces armatures seront disposées sur une largeur de  $(\phi + h_f) = 3,00$  axé sur chaque couple de pieux. Entre chaque couple de pieux, on mettra 3T25

suivant la longueur :

on considère la semelle comme une poutre appuyée sur les deux voiles et sollicitée par les réactions des pieux.

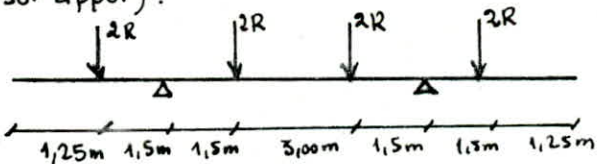
$$\text{Reaction d'appui : } R = \frac{N_{\text{tot}}}{8} = \frac{1222,5}{8} = 152,79 \text{ t} \Rightarrow 2R = 305,59 \text{ t}$$

$$M_0 = -305,59 \times 1,5 = -458,38 \text{ tm (sur appui).}$$

$$M_f = 916,785 \text{ tm}$$

Armatures supérieures :

$$A = \frac{M_0}{\bar{\sigma}_a \cdot z} = \frac{458,38 \times 10^5}{148,75 \times 2667} = 115,54 \text{ cm}^2$$



on choisit : 24T25 = 122,5 cm<sup>2</sup> avec  $e = 12,5 \text{ cm}$ .

Armatures en traversées :

$$A = \frac{M_f}{\bar{\sigma}_a \cdot z} = \frac{916,785 \times 10^5}{148,75 \times 2667} = 231,09 \text{ cm}^2 \text{ on choisit } 48\text{T}25 ; e = 25 \text{ cm.}$$



Vérification au non poinçonnement :

$$\tau = \frac{P}{b \times z} < \bar{\sigma}_b \quad \text{avec } b = h_s + \phi ; \phi = 1,20 \text{ m} ; h_s = 1,80 \text{ m} ; b = 3,00 \text{ m}$$

$$P = R_{\max} = Q_{\max} = 185,41 \text{ t} \Rightarrow \tau = \frac{185,41 \times 10^3}{3,00 \times 10^2 \times 148,75} = 4,15 \text{ kg/cm}^2 < \bar{\sigma}_b .$$

pour cela on est en sécurité vis à vis du poinçonnement .

CALCUL DES pieux sous cllée :Effort le long du pieu :

l'effort horizontal  $H$  ramené au centre de gravité de la fibre inférieure de la semelle, va se répartir sur les deux files de pieu. Chaque pieu est soumis à :  $H^* = \frac{H}{2}$  avec  $\eta = 8$ .

Les pieux étant considérés encastrés à la semelle rigide, ne subissant pas de rotation en tête ( $\varphi = 0$ ).

Pour cela le sol développe un moment flechissant (reaction).

$$M^* = - \frac{\chi_{\varphi H^*} H^*}{\chi_{\varphi M^*} \lambda}$$

Le mode de reaction du sol, le genre d'appui en pied de pieu,  $\lambda$  et les coefficients  $\chi_{\varphi H^*}$ ,  $\chi_{\varphi M^*}$ ,  $\chi_{w_{H^*}}$ ,  $\chi_{w_{M^*}}$  ont été déterminés dans le chapitre "répartition des efforts horizontaux".

Le moment flechissant selon la theorie de HEINRICH WERNER est :

$$M(x) = M^* \chi_{w_{M^*}}(x) + \frac{H^*}{\lambda} \chi_{w_{H^*}}(x)$$

Les coefficients  $\chi_{w_{H^*}}$ ,  $\chi_{w_{M^*}}$  sont donnés par les tables de WERNER en fonction de la profondeur pour le coefficient  $\lambda$  donné.

Application au projet :sous les sollicitations du 1<sup>er</sup> genre :

$H = 75,24 \text{ t}$  d'où l'effort horizontal en tête de pieu est :  $H^* = \frac{H}{2} = 37,62 \text{ t}$

$\lambda = 3,122$ , les tables de WERNER ont donnés :  $\chi_{\varphi_{H^*}}(x=0) = 1,17$ ;  $\chi_{\varphi_{M^*}} = 1,49$

Il s'ensuit un moment flechissant de reaction du sol :  $M^* = - \frac{\chi_{\varphi_{H^*}}(0) H^*}{\chi_{\varphi_{M^*}} \lambda} = -33,12 \text{ tm}$

donc :  $M(x) = 42,170 \chi_{w_{H^*}}(x) - 33,12 \chi_{w_{M^*}}(x) \text{ [tm]}$

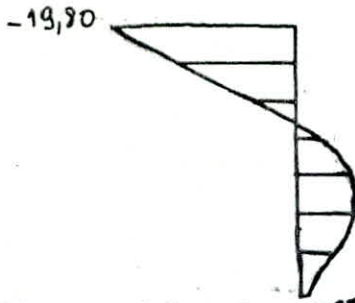
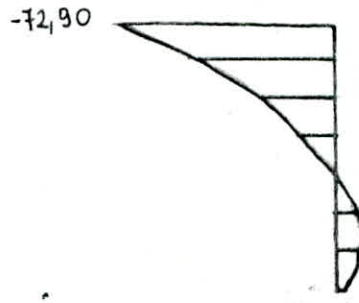
Sous les sollicitations du 2<sup>eme</sup> genre :

$H' = 191,41 \text{ t}$ ;  $N' = 1067 \text{ t}$ ;  $M = 1402,21 \text{ tm}$ .

$H^* = 23,92 \text{ t}$

on aura l'expression du moment le long du pieu :  $M(x) = 107,26 \chi_{w_{H^*}}(x) - 107,26 \chi_{w_{M^*}}(x)$   
les resultats sont recapitulés dans le tableau ci-dessous :

x	0,1 l	0,2 l	0,3 l	0,4 l	0,5 l	0,6 l	0,7 l	0,8 l
$\chi_{w_{H^*}}$	0,3	0,45	0,52	0,50	0,40	0,30	0,19	0,05
$\chi_{w_{M^*}}$	0,98	0,90	0,75	0,60	0,40	0,25	0,13	0,009
mt flechissant 1 <sup>er</sup> genre	-19,80	-10,83	-2,91	1,213	3,62	4,371	3,706	+1,87
mt flechissant 2 <sup>eme</sup> genre	-72,90	-48,26	-24,67	-10,72	0	5,363	6,430	+4,39

Solllicitation 1<sup>er</sup> genreSolllicitation du 2<sup>eme</sup> genreFERRAILLAGE du pieu:Armatures longitudinales

la section en tête de pieu est nettement plus sollicitée que les autres pour les sollicitations du second genre. Cette section sera ferrillée sous les efforts dus aux sollicitations du 1<sup>er</sup> genre à savoir  $M = 19,80 \text{ tm}$ ;  $N = F_{\min} = 62,8 \text{ t}$ .

Le ferrailage obtenu sera généralisé aux autres pieux. Ensuite on procédera à la vérification de la section d'acier obtenue aux efforts en condition sismique.

les sections seront ferrillées avec les tables exposées dans l'aide mémoire de B.A "DAVIDOVICCI" établies pour les sections circulaires pleines soumises à la flexion composée.

Sous les sollicitations du 1<sup>er</sup> genre.

$M = 19,80 \text{ tm}$ ;  $N_{\min} = 47,53 \text{ t}$ ;  $r = \text{rayon du pieu} = \frac{1,20}{2} = 0,60 \text{ m}$ ;  $d = 0,06 \text{ m}$   
 $e = \frac{M}{N} = 0,41 \text{ m} > 0,15 = \frac{r}{4} \Rightarrow$  la section est partiellement comprimée.

$$K_e = \frac{N \cdot r}{M} = \frac{47,53 \times 0,60}{19,80} = 1,44$$

$$K_a = \frac{M}{r^3 \cdot \bar{\sigma}_a} = \frac{19,80 \times 10^5}{60^3 \times 2800} = 0,003$$

le pourcentage trouvé est inférieur au pourcentage minimale donné par le D.T.U d'avoir  $\omega\% = 0,5\% \Rightarrow A = 56,52 \text{ cm}^2$  soit 18T20.

Vérification des contraintes:

$$K_e = \frac{N \cdot r}{M} = 1,44$$

$$\omega\% = 0,5\%$$

$$K_b = 0,49$$

$$K = 12,98$$

$$\Rightarrow \begin{cases} \sigma'_b = \frac{M}{K_b \cdot r^3} = \frac{19,80 \times 10^5}{0,49 \times 60^3} = 18,70 \text{ kg/cm}^2 < \bar{\sigma}'_b \\ \sigma'_a = K \sigma'_b = 242,82 \text{ kg/cm}^2 < \bar{\sigma}'_a \end{cases}$$

Vérification aux sollicitations du 2<sup>eme</sup> genre:

Efforts:  $N' = 33,22 \text{ t}$

$M' = 72,90 \text{ tm}$ ;  $\omega\% = 0,5\%$ .

$$K_e = \frac{N' \cdot r}{M'} = \frac{33,22 \times 60 \times 10^3}{72,90 \times 10^5} = 0,27$$

$$K_b = 0,39$$

$$K = 35,44$$

$$\Rightarrow \begin{cases} \frac{M}{r^3 K_b} = \frac{72,90 \times 10^5}{60^3 \times 0,39} = 86,54 \text{ kg/cm}^2 \\ \sigma'_a = K \sigma'_b = 3066,92 \text{ kg/cm}^2 < \bar{\sigma}'_a \end{cases}$$

Le ferrailage calculé ci-dessus est maintenu, car les contraintes vis à vis du béton et de l'acier sont vérifiées.



Armatures transversales :

on choisira :

en zone de recouvrement : 1 spirale  $\phi 12$  tous les 10 cm

en zone courante : 1 spirale  $\phi 12$  tous les 15 cm

sous forme de cerces hélicoïdales .

## BIBLIOGRAPHIE

- ① BARÉS R., MASSONNET ch.  
"Le calcul des grillages de poutres et dalles orthotopes"  
DUNOD, 1966
- ② DREUX G.  
"Pratique du béton précontraint"  
Eyrolles, 1979
- ③ LACROIX R., FUENTES A.  
"le projet du béton précontraint"  
Eyrolles, 1981
- ④ MINISTÈRE DES travaux publics  
"cahier de prescriptions communes"
- ⑤ MINISTÈRE DE Transport (paris)  
"Instructions provisoires N°1 et N°2 sur l'emploi du b.p."
- ⑥ DAVIDOVICI V.  
"Béton Armé", collection "Aide memoire"  
DUNOD, 1979
- ⑦ BELAZOUGUI  
"CALCUL DES DALLES et planchers"
- ⑧ SETRA (Service d'études techniques des routes et autoroutes [FRANCE])  
"Appuis des Tabliers pp 73, 1.3.2 Calculs complémentaires, ferraillage type"
- ⑨ WERNER H.  
"BETON und stahl/betonbau"  
H.S.F. Bauaktiengesellschaft, MÜNCHEN 1970.

